

АЗЭРБАЙЧАН ССР ЕЛМЛЭР АКАДЕМИЈАСЫ
АКАДЕМИЯ НАУК АЗЕРБАЙДЖАНСКОЙ ССР

МЭРҮЗЭЛЭР ДОКЛАДЫ

ТОМ XXII ЧИЛД

2

АЗЭРБАЙЧАН ССР ЕЛМЛЭР АКАДЕМИЈАСЫ НЭШРИЈАТЫ
ИЗДАТЕЛЬСТВО АКАДЕМИИ НАУК АЗЕРБАЙДЖАНСКОЙ ССР
Бакы—1966—Баку

АЗЭРБАЙЧАН ССР ЕЛМЛЭР АКАДЕМИЈАСЫ
АКАДЕМИЯ НАУК АЗЕРБАЙДЖАНСКОЙ ССР

МӨРҮЗӘЛӘР
ДОКЛАДЫ

ТОМ XXII ЧИЛД

№ 2



АЗЭРБАЙЧАН ССР ЕЛМЛЭР АКАДЕМИЈАСЫ НӘШРИЈАТЫ
ИЗДАТЕЛЬСТВО АКАДЕМИИ НАУК АЗЕРБАЙДЖАНСКОЙ ССР
БАКЫ—1966—БАКУ

ТЕОРЕТИЧЕСКАЯ ФИЗИКА

Ю. М. СЕИДОВ, М. Е. ЭМИРОВ

К ТЕОРИИ АНТИФЕРРОМАГНЕТИЗМА

(Представлено академиком АН Азербайджанской ССР З. И. Халиловым).

В работе [1] изучалось влияние взаимодействия ядерного спина со спином связанных электронов. Было показано, что однородный ($k=0$) антиферромагнитный резонанс имеет место даже при отсутствии кристаллографической анизотропии. В настоящей работе исследуется влияние диполь-дипольного взаимодействия между атомными спинами при наличии сверхтонкого ядерного взаимодействия на закон дисперсии спиновых волн для $k \neq 0$.

Гамильтониан нашей системы можно записать в виде

$$H = \sum J_{hh'} \vec{S}_{h_1} \vec{S}_{h_2} + \sum D_{hh'} [\vec{S}_{h_1} \vec{S}_{h_2} - (\vec{S}_{h_1} \vec{n}_{h_1 h_2}) (\vec{S}_{h_2} \vec{n}_{h_1 h_2})] \\ + \sum A_{hn} \vec{S}_h \vec{I}_N - \mu H \sum S_h^z \quad (1)$$

Здесь первый член описывает обменное взаимодействие, второй — магнитное диполь-дипольное взаимодействие, третий — взаимодействие электронного спина с ядром, последний — зеемановскую энергию. $J_{hh'}$, $D_{hh'}$, A_{hn} — известные коэффициенты обменного, диполь-дипольного и спин-ядерного взаимодействий; $n_{hh'}$ — единичный вектор, направленный по $R_{hh'}$; S — спин атома, I — спин ядра, остальные обозначения общепринятые.

Перепишем оператор (1) в более удобном виде.

$$H = \sum_{fg} \frac{1}{2} \left[J_{fg} + D_{fg} \left(1 - \frac{3}{2} n_{fg}^- n_{fg}^+ \right) \right] S_f^+ S_g^+ - \\ - \frac{3}{2} D_{fg} (n_{fg}^-)^2 S_f^+ S_g^- + \frac{1}{2} \sum_{ll'} D_{ll'} \left(1 - \frac{3}{2} n_{ll'}^- n_{ll'}^+ \right) S_l^+ S_{l'}^- - \\ - \frac{3}{2} \sum_{ll'} D_{ll'} (n_{ll'}^-)^2 S_l^+ S_{l'}^+ - \frac{3}{2} \sum_{gg'} D_{gg'} (n_{gg'}^-)^2 S_g^- S_{g'}^- + \text{з.с.} -$$



49020

РЕДАКЦИОННАЯ КОЛЛЕГИЯ: З. И. Халилов (главный редактор), Ш. А. Азизбеков, В. Р. Волобуев, Д. М. Гусейнов, И. А. Гусейнов, М. А. Дадашзаде (зам. главного редактора), М. А. Далин, Ч. М. Джуварлы, С. М. Кулиев, М. Ф. Нагиев (зам. главного редактора), М. А. Топчибашев, Г. Г. Зейналов (ответственный секретарь).

Адрес: г. Баку, Коммунистическая, 10. Редакция «Докладов Академии наук Азербайджанской ССР».

$$-\sum_{fg} \left[J_{fg} + D_{fg}(1-3n_{fg}^z n_{fg}^z) S_f^z S_g^z + \sum_{ff'} D_{ff'}(1-3n_{ff'}^z n_{ff'}^z) S_f^z S_{f'}^z - \sum_{Ain} A_{in} S_i^z J_N^z - \mu H \left(\sum_f S_f^z - \sum_g S_g^z \right) \right] \quad (2)$$

$$S^\pm = S_x \pm iS_y,$$

$$ff' = (ff') \text{ или } (gg').$$

где

Для этого гамильтониана пишем обычным образом соответствующие функции Грина [2], Фурье компонентов которых удовлетворяют следующей системе уравнений:

$$\begin{vmatrix} E-A_1 & z_1 & -\beta & z_{12} \\ -z_1^* & E+A_1 & -z_{12}^* & \beta \\ \beta & -z_{12} & E+A_2 & -z_1 \\ z_{12}^* & -\beta & z_1^* & E-A_2 \end{vmatrix} \times \begin{vmatrix} \langle S_f^+ | S_{f_1}^- \rangle_{E,K} \\ \langle S_f^- | S_{f_1}^+ \rangle_{E,K} \\ \langle S_g^+ | S_{f_1}^- \rangle_{E,K} \\ \langle S_g^- | S_{f_1}^+ \rangle_{E,K} \end{vmatrix} = \begin{vmatrix} \langle S^z \rangle \frac{1}{\pi} \\ 0 \\ 0 \\ 0 \end{vmatrix} \quad (3)$$

$$\text{где } A_{1,2} = \sum_g [J_{fg} + D_{fg}(1-3n_{fg}^z n_{fg}^z)] \langle S^z \rangle - \sum_f D_{ff'}(1-3n_{ff'}^z n_{ff'}^z) (2 + e^{-i(\vec{R}_f - \vec{R}_{f'}) \vec{K}}) \langle S^z \rangle + \sum A/z \pm \mu H$$

$$\beta = \sum_g \left[J_{fg} - \frac{1}{2} D_{fg}(1-3n_{fg}^z n_g^z) e^{i(\vec{R}_g - \vec{R}_f) \vec{K}} \langle S^z \rangle \right] \quad (4)$$

$$z=3 \sum_{ff'} D_{ff'} (n_{ff'}^+)^2 e^{-i(\vec{R}_f - \vec{R}_g) \vec{K}} \langle S^z \rangle$$

$$z_{12} = \frac{3}{2} \sum_f D_{fg} (n_{fg}^+)^2 e^{-i(\vec{R}_f - \vec{R}_g) \vec{K}} \langle S^z \rangle$$

Приравняв определитель системы уравнений (3) нулю, вычислив дипольные суммы, входящие в (4), следуя работе [3], получаем биквадратное уравнение для определения энергетического спектра

$$E^4 - 2(a^2 - \beta^2 + \mu^2 H^2) E^2 + (a^2 - \beta^2 - \mu^2 H^2)^2 - 4z^2(a - \beta)^2 = 0, \quad (5)$$

$$\text{где } a = nJ \langle S_z \rangle + 2\pi\mu M \sin^2 \theta_k + A \langle f' \rangle$$

$$\beta = J \langle S_z \rangle \sum_h e^{-i\vec{R}_h \vec{K}} + 2\pi\mu M \sin^2 \theta_k$$

$$z = 2\pi\mu M \sin^2 \theta_k \quad (6)$$

n — число ближайших соседей,

θ_k — угол между направлением распространения спиновых волн и нап-

равлением намагниченности в основном состоянии. Для малых значений, квазимпульса k закон дисперсии имеет следующий вид:

$$E_{1,2} = \{ [2nJ \langle S_z \rangle (A \langle f' \rangle + J \langle S_z \rangle a^2 k^2)]^{1/2} \pm H \} \times \left(1 + \frac{\pi\mu M \sin^2 \theta_k}{nJ \langle S_z \rangle} \right) \quad (7)$$

Как видно из формулы (7), закон дисперсии при $A \neq 0$ для $k \neq 0$ анизотропен, т. е. энергия спиновых волн зависит от направления их распространения относительно оси намагничивания. При $H=0$ в зависимости от направления распространения энергия спиновых волн принимает значения, заключенные между двумя кривыми, соответствующими $\theta=0$ и $\theta=\pi/2$. При $H \neq 0$ каждая из этих кривых расщепляется на две. Полученные результаты представляют интерес в задачах, связанных с нелинейным резонансом, в антиферромагнетиках с очень малой кристаллографической анизотропией.

ЛИТЕРАТУРА

- Сайдов Ю. М. ФММ, 15, 32, 1963, 2. Зубарев Д. И. УФН, 71, 71, 1960.
- Holstein T. and Primakov N. Physicar Review, 58, 1098, 1940.

Институт физики

Поступило 25. I 1965

Ю. М. Сайдов, М. Б. Эмиров

Антиферромагнетлэр иэзэрийжесинэ даир

ХУЛАСЭ

Мэгалэдээ антиферромагнетлэрин енержи спектри һесабланмышдыр. Дипол-дипол гарышылыглы тэсириндэн өлавэ нүвэ магнит моменти илэ ионун магнит моменти арасындакы гарышылыглы тэсир дээ иэзэрэ алынышдыр.

Несаблама Грин техникасы илэ апаралмышдыр.

МАТЕМАТИКА

С. Я. ЯКУБОВ

РАЗРЕШИМОСТЬ ЗАДАЧИ КОШИ ДЛЯ ДИФФЕРЕНЦИАЛЬНЫХ УРАВНЕНИЙ ВЫСШИХ ПОРЯДКОВ В БАНАХОВОМ ПРОСТРАНСТВЕ С ПЕРЕМЕННЫМИ ОПЕРАТОРАМИ, ИМЕЮЩИМИ НЕПОСТОЯННУЮ ОБЛАСТЬ ОПРЕДЕЛЕНИЯ.

(Представлено академиком АН Азербайджанской ССР З. И. Халиловым)

В статье исследуется задача Коши для уравнения

$$\frac{d^n u(t)}{dt^n} + A_1(t) \frac{d^{n-1} u(t)}{dt^{n-1}} + \dots + A_n(t) u(t) = f(t, u(t), \dots, \frac{d^{n-1} u(t)}{dt^{n-1}}) \quad (1)$$

с начальными условиями

$$u^{(i)}(0) = u_i \quad (i=0, n-1), \quad (2)$$

где $u(t)$ — искомая функция со значениями в банаховом пространстве E , $A_i(t)$ — оператор, действующий в E .

Решением АЗК (абстрактная задача Коши) для (1)–(2) будем называть $(n-1)$ -раз непрерывно дифференцируемую на $[0, T]$, n -раз непрерывно дифференцируемую на $(0, T]$ функцию $u(t)$, удовлетворяющую при каждом $t \in (0, T]$ уравнению (1), начальным условиям (2) и обладающую, кроме того, тем свойством, что функции $A_i(t) \frac{d^{n-i} u(t)}{dt^{n-i}}$ ($i = \overline{2, n}$) непрерывны на $[0, T]$, а функция $A_1(t) \frac{d^{n-1} u(t)}{dt^{n-1}}$ непрерывна на $(0, T]$ и интегрируема по Бохнеру на $(0, T]$.

АЗК для (1)–(2) исследована в статьях [1, 2] при $n=2$, а в статье [3] при любом n в предположении, что оператор $A_1(t)$ имеет постоянную область определения. Оказывается, метод приведения уравнения высшего порядка к системе, примененный нами в [3], позволяет исследовать АЗК для (1)–(2) и для того случая, когда область определения $A_1(t)$ переменна, область определения $A_1^{\frac{1}{2}}(t)$ — постоянна.

1. Рассмотрим линейное уравнение

$$\frac{d^n u(t)}{dt^n} + A_1(t) \frac{d^{n-1} u(t)}{dt^{n-1}} + \dots + A_n(t) u(t) = f(t) \quad (3)$$

Теорема 1. Пусть выполнены следующие условия:

1°. Замкнутый линейный оператор $A_1(t)$ ($t \in [0, T]$) действует в E , имеет всюду плотную область определения $D(A_1(t))$ и выполняется оценка*

* Операторы, удовлетворяющие (4), называются сильно позитивными и для них определены любые дробные степени (4).

$\|R(\lambda, -A_1(t))\| \leq C[|\lambda| + 1]^{-1}$

(4)

при всех $\lambda \in \text{Re}\lambda > 0$;

2°. Оператор $A_1^{\frac{1}{2}}(t)$ имеет не зависящую от t область определения $D(A_1^{\frac{1}{2}}(t)) = D(A_1^{\frac{1}{2}})$; оператор-функция $A_1^{\frac{1}{2}}(t)A_1^{-\frac{1}{2}}(0)$ имеет сильно непрерывную производную, причем оператор-функции $\frac{d}{dt} \left[A_1^{\frac{1}{2}}(t)A_1^{-\frac{1}{2}}(0) \right]$ и $A_1^{\frac{1}{2}}(t)A_1^{-\frac{1}{2}}(0)$ ($i = 2, n$) удовлетворяют какому-нибудь условию Гельдера на $[0, T]$;

3°. $u_i \in D(A_1^{\frac{1}{2}})$ ($i = 0, n-2$), $u_{n-1} \in D(A_1^{\frac{1}{2}}(0))$ при некотором $\alpha > 0$;

4°. Вектор-функция $f(t)$ удовлетворяет какому-нибудь условию Гельдера на $[0, T]$.

Тогда АЗК для (3)–(2) имеет единственное решение на $[0, T]$.
Доказательство: При помощи замены

$$\begin{cases} V_i(t) = A_1^{\frac{1}{2}}(0)u^{(i-1)}(t) & (i = \overline{1, n-2}) \\ V_{n-1}(t) = A_1^{\frac{1}{2}}(t)u^{(n-2)}(t) + A_1^{-\frac{1}{2}}(t)u^{(n-1)}(t) \\ V_n(t) = u^{(n-1)}(t), \end{cases}$$

АЗК для (3)–(2) в пространстве E сводится к эквивалентной АЗК для системы уравнений первого порядка

$$\begin{aligned} V'_1(t) &= V_{i+1}(t) \quad (i = \overline{1, n-3}), \\ V'_{n-2}(t) &= A_1^{\frac{1}{2}}(0)A_1^{-\frac{1}{2}}(t)V_{n-1}(t) - A_1^{\frac{1}{2}}(0)A_1^{-1}(t)V_n(t), \\ V'_{n-1}(t) &= -A_1^{-\frac{1}{2}}(t)A_n(t)A_1^{-\frac{1}{2}}(0)V_1(t) + \dots \\ &+ \dots [-A_1^{-\frac{1}{2}}(t)A_2(t)A_1^{-\frac{1}{2}}(t) + A_1^{\frac{1}{2}}(t)A_1^{-\frac{1}{2}}(t)]V_{n-1}(t) + \\ &+ [A_1^{-\frac{1}{2}}(t)A_2(t)A_1^{-1}(t) - A_1^{\frac{1}{2}}(t)A_1^{-1}(t) - \\ &- A_1^{-\frac{1}{2}}(t)A_{n-1}(t)A_1^{-\frac{1}{2}}(t)]V_n(t) + f(t), \\ V'_n(t) &= -A_n(t)A_1^{-\frac{1}{2}}(0)V_1(t) + \dots + A_2(t)A_1^{-1}(t)V_n(t) - \\ &- A_1(t)V_n(t) + f(t), \end{aligned} \quad (5)$$

$$V_1(0) = A_1^{\frac{1}{2}}(0)u_{i-1} \quad (i = \overline{1, n-2})$$

$$V_{n-1}(0) = A_1^{\frac{1}{2}}(0)u_{n-2} + A_1^{-\frac{1}{2}}(0)u_{n-1}$$

$$V_n(0) = u_{n-1}$$

в топологическом произведении $E^n = E \times E \times \dots \times E$. В E^n задачу (5) можно записать в виде

$$\begin{cases} \frac{dV}{dt} + A_1(t)V(t) = A_2(t)V(t) + F(t), \\ V(0) = V_0, \end{cases} \quad (6)$$

где

$$V = \begin{pmatrix} V_1 \\ \vdots \\ V_n \end{pmatrix}, F(t) = \begin{pmatrix} 0 \\ \vdots \\ f(t) \\ f(t) \end{pmatrix}, V_0 = \begin{pmatrix} A_1^{-\frac{1}{2}}(0)u_0 \\ A_1^{-\frac{1}{2}}(0)u_{n-2} + A_1^{-\frac{1}{2}}(0)u_{n-1} \\ \vdots \\ u_{n-1} \end{pmatrix}$$

$$A_1(t) = \begin{pmatrix} I & & & \\ & \ddots & & \\ & & I & \\ & & & A_1(t) \end{pmatrix}$$

и

$$A_2(t) = \begin{pmatrix} I & & & & & \\ 0 & I & 0 & & & \\ -A_1^{-\frac{1}{2}}(t)A_n(t)A_1^{-\frac{1}{2}}(0) & -A_1^{-\frac{1}{2}}(0) & \ddots & & & \\ \vdots & \vdots & \ddots & \ddots & & \\ -A_n(t)A_1^{-\frac{1}{2}}(0) & \ddots & & & & \end{pmatrix}.$$

Применим теорему 3 статьи [5] к АЗК для (6). В силу условия 1° оператор $A_1(t)$ ($t \in [0, T]$) действует в E^n , имеет всюду плотную область определения $E \times \dots \times E \times D(A_1(t))$, кроме того, при всех λ с $\operatorname{Re}\lambda \geq 0$

$$\|R(\lambda, -A_1(t))\| \leq C[|\lambda| + 1]^{-1}.$$

Так как оператор-функция $A_1^{-\frac{1}{2}}(t)A_1^{-\frac{1}{2}}(0)$ сильно непрерывно дифференцируема, то она удовлетворяет условию Липшица, откуда, ввиду

$$A_1^{-\frac{1}{2}}(t)A_1^{-\frac{1}{2}}(0) = \begin{pmatrix} I & & & & & \\ & \ddots & & & & \\ & & I & & & \\ & & & A_1^{-\frac{1}{2}}(t)A_1^{-\frac{1}{2}}(0) & & \\ & & & & \ddots & \\ & & & & & \ddots \end{pmatrix}$$

Вытекает, что оператор-функция $A_1^{-\frac{1}{2}}(t)A_1^{-\frac{1}{2}}(0)$ также удовлетворяет условию Липшица. С другой стороны, в силу условия 2° оператор $A_1^{-\frac{1}{2}}(t)$ имеет не зависящую от t , всюду плотную область определения $E \times \dots \times E \times D(A^{\frac{1}{2}})$. Также проверяются другие условия теоремы 3 [5].

2. Рассмотрим нелинейное уравнение

$$\frac{d^n u(t)}{dt^n} + A(t) \frac{d^{n-1} u(t)}{dt^{n-1}} = f(t, u(t), \dots, \frac{d^{n-1} u(t)}{dt^{n-1}}) \quad (7)$$

Теорема 2. Пусть выполнены следующие условия:

1°. Замкнутый линейный оператор $A(t)$ ($t \in [0, T]$) действует в E , имеет всюду плотную область определения $D(A(t))$ и выполняется оценка

$$\|R(\lambda, -A(t))\| \leq C[|\lambda| + 1]^{-1}$$

при всех λ с $\operatorname{Re}\lambda \geq 0$;

2°. Оператор $A^{\frac{1}{2}}(t)$ имеет не зависящую от t область определения $D(A^{\frac{1}{2}}(t)) = D(A^{\frac{1}{2}})$; оператор-функция $A^{\frac{1}{2}}(t)A^{-\frac{1}{2}}(0)$ сильно непрерывно дифференцируема и производная от $A^{\frac{1}{2}}(t)A^{-\frac{1}{2}}(0)$ удовлетворяет какому-нибудь условию Гельдера на $[0, T]$;

3°. $u_i \in D(A^{\frac{1}{2}})$ ($i = \overline{0, n-2}$), $u_{n-1} \in D(A^\alpha(0))$ при некотором $\alpha > 0$;

4°. При любых $0 \leq t, \tau \leq T$, $V_i, W_i \in S(A^{\frac{1}{2}}(0)u_{i-1}, R)$ ($i = 1, n-1$), $V_n, W_n \in S(u_{n-1}, R)$, где R — некоторое число, и при некотором δ имеем место неравенство

$$\|f(t, A^{-\frac{1}{2}}(0)V_1, \dots, A^{-\frac{1}{2}}(0)V_{n-1}, V_n) - f(\tau, A^{-\frac{1}{2}}(0)W_1, \dots, A^{-\frac{1}{2}}(0)W_{n-1}, W_n)\| \leq C \left[|\tau - t|^{\delta} + \sum_{i=1}^n \|V_i - W_i\| \right].$$

Тогда, АЗК для (7)–(2) имеет единственное решение, определенное на некотором отрезке $[0, t_0] \subset [0, T]$, которое может быть найдено методом последовательных приближений.

Доказательство. При помощи замены

$$\begin{cases} V_i(t) = A^{\frac{1}{2}}(0)u^{(i-1)}(t) \\ V_{n-1}(t) = A^{\frac{1}{2}}(t)u^{(n-2)}(t) + A^{-\frac{1}{2}}(t)u^{(n-1)}(t) \\ V_n(t) = u^{(n-1)}(t) \end{cases}$$

АЗК для (7)–(2) в пространстве E сводится к эквивалентной АЗК для уравнения первого порядка

$$\begin{cases} \frac{dV}{dt} + A(t)V(t) = F(t, V(t)) \\ V(0) = V_0 \end{cases}$$

в пространстве E^n , где

$$V = \begin{pmatrix} V_1 \\ \vdots \\ V_n \end{pmatrix}, V_0 = \begin{pmatrix} A^{\frac{1}{2}}(0)u_0 \\ \vdots \\ A^{\frac{1}{2}}(0)u_{n-2} + A^{-\frac{1}{2}}(0)u_{n-1} \\ u_{n-1} \end{pmatrix}, A(t) = \begin{pmatrix} I & & & & & \\ & \ddots & & & & \\ & & I & & & \\ & & & A(t) & & \\ & & & & \ddots & \\ & & & & & \ddots \end{pmatrix}$$

$$F(t, V) = \begin{cases} V_1 + V_2 \\ V_{n-2} + A^{\frac{1}{2}}(0)A^{-\frac{1}{2}}(0)V_{n-1} - A^{\frac{1}{2}}(0)A^{-1}(t)V_n \\ V_{n-1} + A_t^{\frac{1}{2}}(t)A^{-\frac{1}{2}}(t)V_{n-1} - [A_t^{\frac{1}{2}}(t)A^{-1}(t) + \\ + A^{-\frac{1}{2}}(t)A_t^{\frac{1}{2}}(t)A^{-\frac{1}{2}}(t)]V_n + \\ + f(t, A^{-\frac{1}{2}}(0)V_1, \dots, A^{-\frac{1}{2}}(t)V_{n-1} - A^{-1}(t)V_n, V_n) \\ f(t, A^{-\frac{1}{2}}(0)V_1, \dots, A^{-\frac{1}{2}}(0)V_{n-1} - A^{-1}(t)V_n, V_n) \end{cases}$$

Далее, применяя теорему 3 [5], доказываем сформулированный результат.

Замечание. Если $u_{n-1} \in D(A(0))$, то найденные в теоремах 1 и 2 решения удовлетворяют уравнениям соответственно (3) и (7) и при $t=0$.

ЛИТЕРАТУРА

1. Соболевский П. Е. ДАН СССР, 1962, № 4, 146.
2. Соболевский П. Е. Уч. зап. АГУ, серия физмат., 1962, № 3. 3. Якубов С. Я. ДАН СССР, 156, 1964, № 5. 4. Красносельский М. А., Соболевский П. Е. ДАН СССР, 129, 1959, № 3. 5. Соболевский П. Е. ДАН СССР, 138, 1961, № 1.

Институт математики и механики

Поступило 26. II 1965

С. І. Якубов

Банах фәзасында гејри-сабит дәжишмә
областына малик олан дәжишән оператордан асылы
јүксәк тәртиб дифференциал тәнликләр үчүн:
Коши мәсәләсинин һәлли

ХУЛАСЭ

Мәгәләдә (1)–(2) мәсәләси тәдгиг олунур, бурада $u(t)$ гијметләри E банах фәзасынан олан вектор-функция, $A_1(t)E$ фәзасында тә'сир өдән операторларды. [1–3] мәгәләләрindә (1)–(2) мәсәләси $A_1(t)$ операторунун тә'жин области сабит олдугда ёjrәнилмишdir.

Мәгәләдә $A_1^2(t)$ операторунун тә'жин области сабит олдугда (1)–(2) мәсәләси ёjrәнилir.

Г. Б. АБДУЛЛАЕВ, Я. Н. НАСИРОВ, Т. Г. ОСМАНОВ

ВЛИЯНИЕ ЧАСТИЧНОГО ЗАМЕЩЕНИЯ ОЛОВА НА Si, Ge и Pb НА ЭЛЕКТРИЧЕСКИЕ И ТЕПЛОВЫЕ СВОЙСТВА SnTe

SnTe известен как соединение, образующееся нарушением стехиометрии—вакансиями из-под олова со структурой типа NaCl. В теллуриде олова, как показывают исследования различных авторов [1–3], обнаруживается аномалия в концентрированных и температурных зависимостях термоэдс.

Вместо монотонного уменьшения с увеличением концентрации носителей тока, как бывает обычно, термоэдс теллурида олова (при комнатной температуре) увеличивается от $5 \frac{\text{мкв}}{\text{°К}}$ при $2 \cdot 10^{20} \text{ см}^{-3}$ до

максимума $-32 \frac{\text{мкв}}{\text{°К}}$ при 10^{21} см^{-3} [2]. Температурная зависимость термоэдс резко отличается от зависимости для случая обычной однозонной модели. Для объяснения указанных аномалий применяется модель двухвалентной зоны [3]. Щель между зонами, как показывают наши исследования, изменяется с изменением концентрации „дефектов“ в SnTe.

Из литературы известно, что примеси не приводят к заметному изменению концентрации носителей тока в аналогичном соединении GeTe [4], что и нужно ожидать на SnTe.

Настоящая работа посвящена исследованию влияния частичного замещения Sn кремнием, германием и свинцом на аномалии и физические свойства теллурида олова.

Исследования проводились на однофазных и однородных образцах твердых растворов состава $[SnTe]_{1-x}-[SiTe]_x$, $[SnTe]_{1-x}-[GeTe]_x$ и $[SnTe]_{1-x}-[PbTe]_x$ при значениях $x=0,02 \div 0,08$. Соотношения компонент взяты в молярных процентах. Дальнейшие увеличения содержания Si, Ge и Pb в твердых растворах не представляли, в данном случае, особого интереса в связи с тем, что при $x \geq 0,10$ аномальное поведение параметров в Sn Te не наблюдается, имеем дело с обычным твердым раствором.

Зависимости термоэдс (α) от состава при комнатной температуре показывают, что во всех трех замещениях обнаруживается максимум при $x=0,02$ (рис. 1). Затем, с увеличением содержания Si, Ge и Pb в твердых растворах α растет и при $x \geq 0,1$ приобретает значение,

которое соответствует твердому раствору соответствующей системы. Такая же закономерность обнаруживается в зависимостях концентрации носителей тока (n) от состава при комнатной температуре (рис. 2).

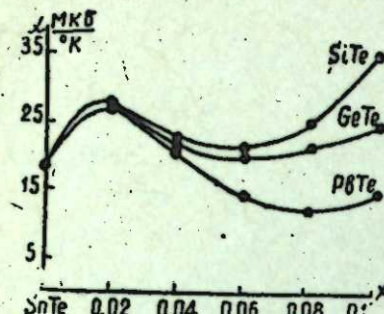


Рис. 1. Зависимость термоЭДС от состава.

электропроводности от состава при комнатной температуре не обнаруживаются.

В зависимостях теплопроводности решетки от состава при комнатной температуре при значениях $x=0,02$ обнаруживается аномальный экстремум (рис. 3). Замещения кремнием и германием обнаруживают максимум, а замещения свинцом минимум κ_p .

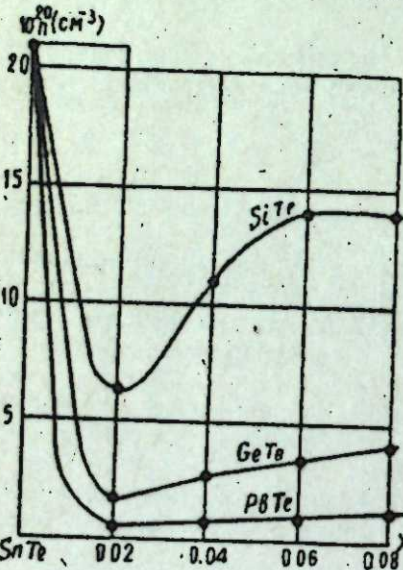


Рис. 2. Зависимость концентрации носителей тока от состава.

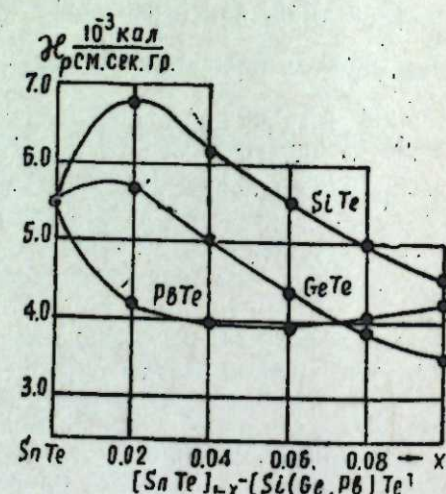


Рис. 3. Зависимость решеточной теплопроводности от состава.

Авторы предполагают, что при частичном замещении олова кремнием и германием и свинцом (в интервале $x=0,02 \div 0,08$) происходит одновременно как заполнение "вакансий" из-под олова, так и образования твердого раствора типа $A^{IV}B^{VI} - A^{IV}B^{VI}$. При значениях $x < 0,02$ варьирующим является, в основном, процесс заполнения "вакансий", а при $0,02 < x < 0,10$ образование твердого раствора, приводящего к увеличению концентрации "дефектов". Максимумы κ_p при замещении олова кремнием и германием можно объяснить "заличиванием" решетки SnTe, приводящим к уменьшению теплового сопротивления

решетки. Поведение κ_p при замещении Sn свинцом, по-видимому, связано с большой массой и ионным радиусом последнего, что может вызывать искажения решетки SnTe, увеличивая при этом сопротивление ее.

ЛИТЕРАТУРА

1. Allagier R. S. Houston B. B., Rept Internat. Conf. Phys. Semiconductors Exeter, 1962*, London, Inst. Phys. and Chem. Soc. 1962, 172.
2. Sagar A., Miller R. C., Rept Internat. Conf. Phys. Semiconductors, Exeter 1962*. London, Inst. Phys. and Chem. Soc. 1962, 653.
3. Brebrick R. F., Strauss A. J. Phys. Rev. 131, 2, №1, 104, 1963.
4. Lubell M. S., Mazelsky R. J. Electrochemical Soc. v.10 № 6, 1963, 520.

Институт физики

Поступило 19.XI 1965

Н. Б. Абдулаев, Ж. Н. Насиров, Т. К. Османов

SnTe бирләшмәсендә галајын Si, Ge өз Pb илә өвәз едилмәсеннин онун слектрик вә истилил касселәрнә тә'сири

ХУЛАСЭ

Әдәбијатдан мәлүмдур ки, SnTe бирләшмәсендә термоЭДС-нин (α) истилилдән вә јүкдашыјычыларын сыйхлығынан (n) асылылығы (—) аномал һал тәшкил едир ки, бу да онун валент золагының мүрәккәбәлији илә изаһ олуңур. Адәтән n бөјүдүкчә α монотон азалмалы олдуруға на尔да, SnTe-да бу хүсусијәт тәшкил едир. Отаг температуру шәраитинде $n=2 \cdot 10^{20} \text{ см}^{-3}$ гијметинде $\alpha=5 \frac{\text{МКВ}}{\text{°К}}$ олуб кетдикчә артыр,

$n=2 \cdot 10^{21} \text{ см}^{-3}$ мақсимум гијмет ($\alpha=32 \frac{\text{МКВ}}{\text{°К}}$) алыр вә соңра исә n артдыгча азалыр.

Өлчүләр $[\text{SnTe}]_{1-x} - [(\text{Si}, \text{Ge}, \text{Pb})\text{Te}]_x$ системләрниң тәркибләре $x=0,02 \div 0,08$ олан берк мәhlул нүмнәләрниң анарылышы дыры. Эвәз-едици атомун чәкиси артдыгча јүкдашыјычыларын сыйхлығы (n) азалыр, белә ки, әкәр галајы Si илә өвәз етдиңдә $n=6,3 \cdot 10^{20} \text{ см}^{-3}$ олурса, гургушунла өвәз етдиңдә $6 \cdot 10^{19} \text{ см}^{-3}$ -а гәдәр азалыр. Ейни заманда јүкдашыјычыларын јүрүклүјү дә он дәфәләрлә артыр. Галајы Si вә Ge илә өвәз етдиңдә гәфәсин истилил кечирмәси артыр, амма Pb илә өвәз етдиңдә азалыр.

Еңтимал олуңур ки, өвәз етмәдә ($x=0,02 \div 0,08$) ейни заманда SnTe гәфәсендәки бош јерләрни тутулмасы вә hэм дә берк мәhlулун әмәлә кәлмәсі илә әлагәдар олараг йени "дефектләрн" яранмасы баш верир.

ТЕХНИЧЕСКАЯ ФИЗИКА

К. М. ЧАЛЬЯН

РАСЧЕТ РАСПРЕДЕЛЕНИЯ НАПРЯЖЕННОСТИ МАГНИТНОГО ПОЛЯ И ПЛОТНОСТИ ТОКА В ТОКОПРОВОДЕ ПРЯМОУГОЛЬНОГО СЕЧЕНИЯ

(Представлено академиком АН Азербайджанской ССР Ч. М. Джусварлы)

Распределение плотности тока по сечению токопроводов прямоугольного профиля исследовалось методами, применимыми лишь для токопроводов прямоугольного профиля [1, 2].

Нами был разработан метод расчета распределения напряженности магнитного поля и плотности тока по сечениям токопроводов с учетом взаимного влияния, основанный на последовательных приближениях [3, 4]. Этот метод носит общий характер и может быть применен для токопроводов произвольного профиля. В настоящей работе показывается возможность применения указанного метода для расчета распределения напряженности магнитного поля и плотности тока по сечению уединенного провода прямоугольного профиля.

Рассмотрим провод прямоугольного профиля с током J . Направим ось x вдоль стороны OA прямоугольника, ось y — вдоль OB . Ось z — параллельна оси провода (рисунок). Последний принимается достаточно длинным и обратный провод удален настолько, что не влияет на распределение тока. Вначале полагаем, что внешнее поле определяется так, как если бы ток J был сосредоточен на оси провода в центре проводника $M(x_m, y_m)$. Комплексный потенциал поля линейного тока J на сторонах прямоугольника равен

$$W = -\frac{2i}{c} J \ln(z^* - z_m)$$

$$(z_m = x_m + iy_m),$$

где z^* — комплексная координата точки, в которой ищется комплексный потенциал. Напряженность магнитного поля на сторонах

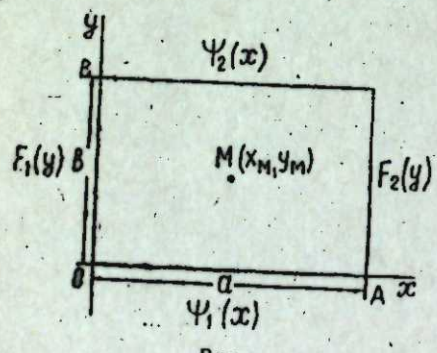


Рис.

прямоугольника определяется по формулам:

$$F_1^{(1)}(y) = F_1^{\text{Re}} + iF_1^{\text{Im}} = -\frac{2J}{c} \frac{y - \frac{b}{2}}{\left(\frac{a}{2}\right)^2 + \left(y - \frac{b}{2}\right)^2},$$

$$-\frac{i}{c} \frac{2J}{\left(\frac{a}{2}\right)^2 + \left(y - \frac{b}{2}\right)^2} \frac{\frac{a}{2}}{2}, \quad (1)$$

$$F_2^{(1)}(y) = F_1^{\text{Re}} - iF_1^{\text{Im}} = -\frac{2J}{c} \frac{y - \frac{b}{2}}{\left(\frac{a}{2}\right)^2 + \left(y - \frac{b}{2}\right)^2} +$$

$$+ i \frac{2J}{c} \frac{\frac{a}{2}}{\left(\frac{a}{2}\right)^2 + \left(y - \frac{b}{2}\right)^2}, \quad (2)$$

$$\psi_1^{(1)}(x) = \psi_1^{\text{Re}} + i\psi_1^{\text{Im}} = \frac{2J}{c} \frac{\frac{b}{2}}{\left(x - \frac{a}{2}\right)^2 + \left(\frac{b}{2}\right)^2} +$$

$$+ i \frac{2J}{c} \frac{x - \frac{a}{2}}{\left(x - \frac{a}{2}\right)^2 + \left(\frac{b}{2}\right)^2}, \quad (3)$$

$$\psi_2^{(1)}(x) = -\psi_1^{\text{Re}} + i\psi_1^{\text{Im}} = -\frac{2J}{c} \frac{\frac{b}{2}}{\left(x - \frac{a}{2}\right)^2 + \left(\frac{b}{2}\right)^2} +$$

$$+ i \frac{2J}{c} \frac{x - \frac{a}{2}}{\left(x - \frac{a}{2}\right)^2 + \left(\frac{b}{2}\right)^2}, \quad (4)$$

Используя найденные выражения (1—4) в качестве граничных значений в соответствии с [3, 4] составляем внутреннюю задачу Дирихле: внутри проводника напряженность поля $h^{(1)}(x, y)$ удовлетворяет уравнению

$$\frac{\partial^2 h}{\partial x^2} + \frac{\partial^2 h}{\partial y^2} = \kappa^2 h \quad (5)$$

$$\left(\kappa^2 = \frac{4\pi}{c^2} j \omega \sigma \right),$$

а на границе проводника

$$(h^{(1)})_{x=0} = F_1^{(1)}(y), \quad (h^{(1)})_{x=a} = F_2^{(1)}(y), \quad (h^{(1)})_{y=0} = \psi_1^{(1)}(x), \quad (h^{(1)})_{y=b} = \psi_2^{(1)}(x).$$

Требуется определить $h^{(1)}(x, y)$ внутри проводника. Решаем поставленную задачу методом, приведенным в [5]. Будем искать разложение решения в ряд вида

$$h^{(1)} = \sum_{m=1}^{\infty} h_m^{(1)} \sin \frac{m\pi x}{a} \quad 0 < x < a, \quad 0 \leq y \leq b \quad (6)$$

Получающееся при этом дифференциальное уравнение для коэффициента Фурье имеет вид

$$\frac{\partial^2 h_m^{(1)}}{\partial y^2} - \alpha_m^2 h_m^{(1)} = \frac{2m\pi}{a^2} [(-1)^m F_2^{(1)}(y) - F_1^{(1)}(y)], \quad (7)$$

где $\alpha_m = \sqrt{\left(\frac{m\pi}{a}\right)^2 + \frac{4\pi^2 j \omega \sigma}{c^2}} \quad (m = 1, 2, 3, \dots, \infty),$

а граничные условия

$$(h_m^{(1)})_{y=0} = \frac{2}{a} \int_0^a \psi_1^{(1)}(\tau) \sin \frac{m\pi\tau}{a} d\tau \quad (8)$$

$$(h_m^{(1)})_{y=b} = \frac{2}{a} \int_0^a \psi_2^{(1)}(\tau) \sin \frac{m\pi\tau}{a} d\tau$$

Так как величина $\alpha_m \neq 0$, то общий интеграл уравнения (7) имеет вид

$$h_m^{(1)} = A_m sh \alpha_m y + B_m ch \alpha_m y + \frac{1}{\alpha_m} \int_0^y \frac{2m\pi}{a^2} [(-1)^m F_2(\tau) - F_1(\tau)] sh \alpha_m (y-\tau) d\tau \quad (9)$$

Определяя произвольные постоянные A_m, B_m из граничных условий (8), находим выражения для коэффициентов Фурье $h_m^{(1)}$. Далее, следуя [5], улучшим сходимость полученного ряда (6) и получаем:

$$\begin{aligned} h^{(1)}(x, y) &= F_1^{(1)}(y) \left(1 - \frac{x}{a}\right) + F_2^{(1)}(y) \frac{x}{a} + \\ &+ \sum_{m=1}^{\infty} \left\{ \frac{2 sh \alpha_m y}{a sh \alpha_m b} \int_0^a \psi_2^{(1)}(\tau) \sin \frac{m\pi\tau}{a} d\tau - \right. \\ &- \frac{2}{a} \frac{sh \alpha_m (y-b)}{sh \alpha_m b} \int_0^a \psi_1^{(1)}(\tau) \sin \frac{m\pi\tau}{a} d\tau - \\ &- \frac{2m\pi}{a^2} \frac{(-1)^m sh \alpha_m y}{a_m sh \alpha_m b} \int_0^b F_2^{(1)}(\tau) sh \alpha_m (b-\tau) d\tau + \end{aligned}$$

$$\begin{aligned} &+ \frac{2m\pi}{a^2} \frac{sh \alpha_m y}{a_m sh \alpha_m b} \int_0^b F_1^{(1)}(\tau) sh \alpha_m (b-\tau) d\tau + \\ &+ \frac{2m\pi (-1)^m}{a^2 \alpha_m} \int_0^y F_2(\tau) sh \alpha_m (y-\tau) d\tau - \\ &- \frac{2m\pi}{a^2 \alpha_m} \int_0^y F_1^{(1)}(\tau) sh \alpha_m (y-\tau) d\tau - \\ &\left. - \frac{2}{m\pi} F_1^{(1)}(y) - \frac{2}{m\pi} (-1)^{m-1} F_2^{(1)}(y) \right\} \sin \frac{m\pi x}{a} \end{aligned}$$

Первое уравнение Максвелла позволяет получить соответствующее распределение плотности тока $\delta^{(1)}(x, y)$:

$$\begin{aligned} \delta^{(1)} &= \frac{J}{\pi} \left(\frac{a}{2} \right)^2 \frac{1}{\left[\left(y - \frac{b}{2} \right)^2 + \left(\frac{a}{2} \right)^2 \right]^2} + \\ &+ J \sum_{m=1}^{\infty} \left\{ \frac{sh \alpha_{2m} y + sh \alpha_{2m} (b-y)}{sh \alpha_{2m} b} \frac{2m}{a^2} \int_0^a \left(\tau - \frac{a}{2} \right) \sin \frac{2m\pi\tau}{a} d\tau - \right. \\ &- \frac{(2m)^2 \pi}{\alpha_m} \frac{sh \alpha_{2m} y}{sh \alpha_{2m} b} \int_0^b \frac{sh \alpha_{2m} (b-\tau) d\tau}{\left(\tau - \frac{b}{2} \right)^2 + \left(\frac{a}{2} \right)^2} + \\ &+ \frac{(2m)^2 \pi}{\alpha_m} \frac{sh \alpha_{2m} (y-\tau) d\tau}{\left(\tau - \frac{b}{2} \right)^2 + \left(\frac{a}{2} \right)^2} + \\ &\left. + \frac{1}{\pi} \frac{1}{\left(y - \frac{b}{2} \right)^2 + \left(\frac{a}{2} \right)^2} \right\} \cos \frac{2m\pi x}{a} + \\ &+ J \sum_{m=1}^{\infty} \left\{ \frac{ch \alpha_{2m-1} y + ch \alpha_{2m-1} (b-y)}{sh \alpha_{2m-1} b} \frac{\alpha_{2m-1}}{2\pi} \frac{b}{a} \times \right. \\ &\times \int_0^a \frac{\sin \frac{(2m-1)\pi\tau}{a} d\tau}{\left(\tau - \frac{a}{2} \right)^2 + \left(\frac{b}{2} \right)^2} - \\ &\left. \text{Ч9020} \right\} \end{aligned}$$

$$\begin{aligned}
& - \frac{2(2m-1)}{a^2} \frac{ch \alpha_{2m-1} y}{sh \alpha_{2m-1} b} \int_0^b \frac{\left(\tau - \frac{b}{2}\right) sh \alpha_{2m-1} (b-\tau) d\tau}{\left(\tau - \frac{b}{2}\right)^2 + \left(\frac{a}{2}\right)^2} - \\
& - \frac{2(2m-1)}{a^2} \int_0^y \frac{\left(\tau - \frac{b}{2}\right) ch \alpha_{2m-1} (y-\tau) d\tau}{\left(\tau - \frac{b}{2}\right)^2 + \left(\frac{a}{2}\right)^2} + \\
& + \frac{2}{2m-1} \frac{1}{\pi^2} \frac{\left(y - \frac{b}{2}\right)^2 - \left(\frac{a}{2}\right)^2}{\left[\left(y - \frac{b}{2}\right)^2 + \left(\frac{a}{2}\right)^2\right]^2} \sin \frac{(2m-1)\pi x}{a}
\end{aligned}$$

Принимая $h^{(1)}(x, y)$ и $\delta^{(1)}(x, y)$ за первое приближение и применяя метод последовательных приближений [3, 4] окончательно получаем:

$$\begin{aligned}
\delta(x, y) = & \sum_{n=1}^{\infty} \int_0^a \int_0^b \delta_z^{(n-1)}(\xi, \eta) \left\{ \left[\frac{1}{2\pi a} \left(\frac{\xi}{\xi^2 + (y-\eta)^2} + \frac{a-\xi}{(a-\xi)^2 + (y-\eta)^2} \right) \right. \right. \\
& \left. \left. - \frac{1}{2\pi} \frac{(y-\eta)^2 - \xi^2}{[(y-\eta)^2 + \xi^2]^2} + \frac{x}{2\pi a} \left(\frac{(y-\eta^2) - \xi^2}{[(y-\eta)^2 + \xi^2]^2} - \frac{(y-\eta)^2 - (a-\xi)^2}{[(y-\xi)^2 + (a-\xi)^2]^2} \right) \right] + \right. \\
& + \sum_{m=1}^{\infty} \left[\frac{m}{a^2} \frac{sh \alpha_m y}{sh \alpha_m b} \int_0^a \frac{\tau - \xi}{(\tau - \xi)^2 + (b - \eta)^2} \sin \frac{m\pi \tau}{a} d\tau + \right. \\
& + \frac{m}{a^2} \frac{sh \alpha_m (b - y)}{sh \alpha_m b} \int_0^a \frac{\tau - \xi}{(\tau - \xi)^2 + (b - \eta)^2} \sin \frac{m\pi \tau}{a} d\tau - \\
& - \frac{\pi}{a^3} \frac{m^2}{\alpha_m} \frac{sh \alpha_m y}{sh \alpha_m b} \int_0^b \left((-1)^m \frac{a - \xi}{(a - \xi)^2 + (\tau - \eta)^2} + \right. \\
& \left. + \frac{\xi}{\xi^2 + (\tau - \eta)^2} \right) sh \alpha_m (b - \tau) d\tau + \frac{\pi}{a^3} \frac{m^2}{\alpha_m} \times \\
& \times \int_0^y \left((-1)^m \frac{a - \xi}{(a - \xi)^2 + (\tau - \eta)^2} + \frac{\xi}{\xi^2 + (\tau - \eta)^2} \right) sh \alpha_m (y - \tau) d\tau + \\
& + \left. \frac{1}{\pi a} \left(\frac{\xi}{\xi^2 + (y - \eta)^2} - (-1)^{m-1} \frac{a - \xi}{(a - \xi)^2 + (y - \eta)^2} \right) \right] \cos \frac{m\pi x}{a} +
\end{aligned}$$

$$\begin{aligned}
& + \left[\frac{\alpha_m}{\pi a} \frac{ch \alpha_m y}{sh \alpha_m b} \int_0^a \frac{b - \eta}{(\tau - \xi)^2 + (b - \eta)^2} \sin \frac{m\pi \tau}{a} d\tau + \right. \\
& + \frac{\alpha_m}{\pi a} \frac{ch \alpha_m (b - y)}{sh \alpha_m b} \int_0^a \frac{\eta}{(\tau - \xi)^2 + \xi^2} \sin \frac{m\pi \tau}{a} d\tau + \\
& + \frac{m}{a^2} \frac{ch \alpha_m y}{sh \alpha_m b} \int_0^b \left(-(-1)^m \frac{\tau - \eta}{(a - \xi)^2 + (\tau - \eta)^2} + \right. \\
& \left. + \frac{\tau - \eta}{\xi^2 + (\tau - \eta)^2} \right) sh \alpha_m (b - \tau) d\tau - \frac{m}{a^2} \int_0^y \left(-(-1)^m \frac{\tau - \eta}{(a - \xi)^2 + (\tau - \eta)^2} + \right. \\
& \left. + \frac{\tau - \eta}{\xi^2 + (\tau - \eta)^2} \right) ch \alpha_m (y - \tau) d\tau + \frac{1}{\pi^2 m} \left(\frac{(y - \eta)^2 - \xi^2}{[(y - \eta)^2 + \xi^2]^2} + \right. \\
& \left. + (-1)^{m-1} \frac{(y - \eta)^2 - (a - \xi)^2}{[(y - \eta)^2 + (a - \xi)^2]^2} \right) \sin \frac{m\pi x}{a} \right] d\xi' d\eta
\end{aligned}$$

ЛИТЕРАТУРА

- Алехин В. М. Поверхностный эффект в проводе прямоугольного сечения. Научные труды Новочеркасского Политехнического ин-та, т. 26, 1955.
- Купалян С. Д. Поверхностный эффект в шине прямоугольного сечения. Сб. «Некоторые вопросы теоретической электротехники», МАИ им. С. Орджоникидзе, вып. 66, Офоронгиз, 1956.
- Миронович Э. А., Чальян К. М. Расчет методом последовательных приближений распределения тока в токопроводах с учетом эффекта близости. Изв. АН СССР, ОТН, «Энергетика и транспорт», № 3, 1963.
- Чальян К. М. Распределение переменного тока по сечениям произвольного числа цилиндрических параллельных проводников. Изв. АН СССР, «Энергетика и транспорт» № 4, 1964.
- Грибер Г. А. Избранные вопросы математической теории электрических и магнитных явлений. Изд. АН СССР, 1948.

Институт энергетики

Поступило 5.VII.1965

К. М. Чальян

Дүзбучаглы ен кәсикли нагилдә магнит саңә кәркинилијинин
вә чәрәјан сыйлығынын һесабланымасы

Д. УЛАСӘ

Бундан габагы мәгаләләрдә даирәви ен кәсикли нагилләрдә магнит саңә кәркинилијинин вә чәрәјан сыйлығынын гарышылыгы тә'сирини иәзәрә алышымасы шәртилә најланымасы һалы үчүн ардычыл жаҳынлашма илә һесаблама үсулу, ишләнилиб назырланымышыр. Бу үсүл үмуми хара ктөр дашымғла дүзбучаглы нагил һалы үчүн дә тәтбиғедилә биләр.

Тәгдим едилән мәгаләдә бу үсүлүн тәкләнишиш, дүзбучаглы ен кәсијә малик нагилдә магнит саңә кәркинилијинин вә чәрәјан сыйлығынын һесабланымасына тәтбиғ олуна билмәси шәрһ едилир.

ТЕПЛОПРОВОДНОСТЬ

М. Я. БАШИРОВ

**ЭКСПЕРИМЕНТАЛЬНЫЕ ИССЛЕДОВАНИЯ
ТЕПЛОПРОВОДНОСТИ ДВОЙНЫХ И ТРОЙНЫХ ЖИДКИХ
СМЕСЕЙ В ЗАВИСИМОСТИ ОТ КОНЦЕНТРАЦИИ
И ТЕМПЕРАТУРЫ**

(Представлено академиком АН Азербайджанской ССР М. Ф. Нагиевым)

За последнее время в связи с разработкой проблемы растворов сильно возрос интерес к изучению молекулярно-тепловых свойств бинарных и тройных жидким смесей.

Для создания теории жидкого состояния вообще и теории растворов в частности изучение физических свойств растворов, включая их теплопроводность, имеет большое значение. Однако сведения о теплопроводности растворов, за исключением работ [1, 2], в литературе почти отсутствуют. Поэтому изучение теплопроводности двойных и тройных жидким смесей является целесообразным.

Для исследования теплопроводности жидкостей применяются методы, основанные на закономерностях стационарного температурного поля [3, 4, 5, 6], а в последнее время применяются также и методы регулярного теплового режима [7, 8, 9].

Для исследования теплопроводности бинарных и тройных жидким смесей нами был использован метод регулярного теплового режима, разработанный Г. М. Кондратьевым [10].

В качестве прибора для определения коэффициента теплопроводности был применен шаровой бикалориметр [11].

В лаборатории регулярного теплового режима АПИ им. В. И. Ленина под руководством проф. А. К. Абас-заде для исследования теплопроводности нефтепродуктов и жидкостей применялся шаровой бикалориметр [6, 7].

Сущность рассматриваемого метода дана в монографии Г. М. Кондратьева [10].

Расчетная формула для вычисления теплопроводности имеет следующий вид:

$$\lambda = \frac{k \cdot m \cdot \Phi}{B}$$

где m — темп охлаждения или нагревания, Φ — постоянное ядро, δ — зазор, k — коэффициент форма, B — критериальная величина.

Точность определения теплопроводности в методе шарового бикалориметра зависит от точности определения темпа охлаждения.

Если во время опыта температура в термостате не меняется $t = \text{const}$, $\tau \rightarrow \infty$, темп охлаждения определяется следующей формулой:

$$m = \frac{\ln N_1 - \ln N_2}{\tau_2 - \tau_1}$$

В нашей установке в течение опыта температура в термостате измерялась не более чем $\pm 0,05^\circ\text{C}$, т. е. $\Delta t < 0,05^\circ\text{C}$. Поэтому для определения m применялась следующая формула, учитывающая изменение температуры.

$$m = \frac{1}{\tau_2 - \tau_1} 2,305 [\log \theta_1 - \log \theta_2 \pm \Delta t]$$

Были исследованы следующие растворы:

а) бинарные системы: толуол—бензол, бензол—акетон, толуол—акетон;

в) тройные системы: бензол—толуол—акетон.

Результаты измерения теплопроводности этих систем во многом зависят от чистоты компонентов. Поэтому мы большое внимание уделяли чистоте исследуемых жидкостей.

Из этих систем бензол и толуол имели марку „Х. Ч.“ Ацетон очищался путем трехкратной перегонки.

Чистота этих жидкостей нами оценивалась по плотности и по показателю преломления.

Плотность жидкостей определялась капиллярным пикнометром.

Показатель преломления измерялся рефрактометром Аббе.

В табл. 1 приводятся данные плотности и показателя преломления указанных выше жидкостей.

Таблица 1

Вещество	Плотность		Показатель преломления, n	
	$\rho \left(\frac{g}{cm^3} \right)$	эксперим.	в литерат.	эксперим.
Бензол	0,8791	0,8790	1,5025	1,5012
Толуол	0,8662	0,8660	1,4963	1,4973
Ацетон	1,7920	0,7911	1,3608	1,3608

Двойные и тройные системы мы приготовили по весовым концентрациям.

Теплопроводности исследовались в зависимости от концентрации и температуры.

Учитывая летучесть ацетона в этих системах, температурный интервал в наших измерениях был от 15 до 45°C .

Погрешность измерения теплопроводности методом шарового бикалориметра оценивается в 2,5–3%.

Результаты измерений даны в табл. 2, 3, 4 и рис. 1, 2, 3, 4.

Из табл. 2, 3, 4 видно, что теплопроводность в системе бензол—толуол—акетон увеличивается с увеличением концентрации ацетона.

Это объясняется тем, что при перемешивании двух или трех жидких систем вид межмолекулярного взаимодействия изменится, т. к.

теперь около каждой молекулы 1-й компоненты будут находиться не только молекулы 1-й компоненты, но молекулы 2-й компоненты и наоборот.

Таблица 2

Бензол, %	Толуол, %	Ацетон, %	Темп. охлаждения,	Теплопроводность,
			$m \cdot 10^3 \left(\frac{1}{\text{сек}} \right)$	$K \cdot 10^3 \left(\frac{\text{кал}}{\text{см} \cdot \text{сек} \cdot \text{град}} \right)$
20	80	0	474	332
20	60	20	499,7	350
20	40	40	508,5	356
20	20	60	538	377
20	0	80	551	386

Таблица 3

Бензол, %	Толуол, %	Ацетон, %	Темп. охлаждения,	Теплопроводность,
			$m \cdot 10^3 \left(\frac{1}{\text{сек}} \right)$	$K \cdot 10^3 \left(\frac{\text{кал}}{\text{см} \cdot \text{сек} \cdot \text{град}} \right)$
0	80	20	496,7	347,6
20	60	20	499,7	350
40	40	20	505,5	354
60	20	20	518,3	363
80	0	20	521	365

Таблица 4

Бензол, %	Толуол, %	Ацетон, %	Темп. охлаждения,	Теплопроводность,
			$m \cdot 10^3 \left(\frac{1}{\text{сек}} \right)$	$K \cdot 10^3 \left(\frac{\text{кал}}{\text{см} \cdot \text{сек} \cdot \text{град}} \right)$
0	20	80	541,3	379
20	20	60	558,1	377
40	20	40	524	367
60	20	20	518,3	363
80	20	0	500	350

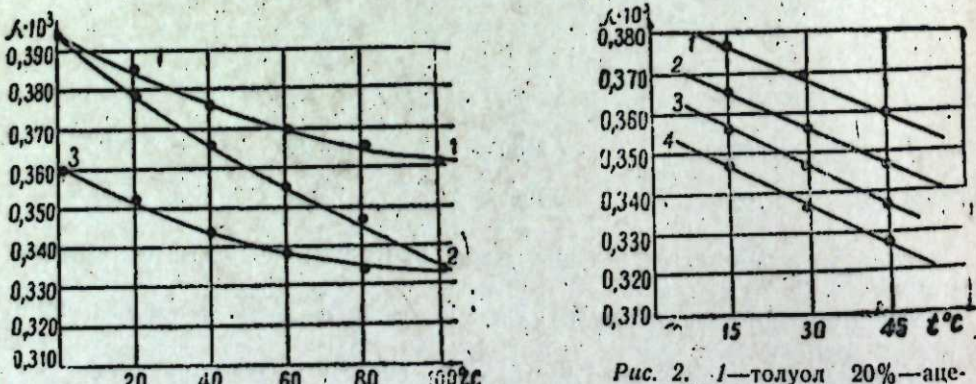


Рис. 1. 1—ацетон — бензол; 2—ацетон — толуол; 3—толуол — бензол

Если мы рассматриваем тройную систему, тогда около каждой молекулы 1-й компоненты будут находиться молекулы 2-й и 3-й компоненты и наоборот, в связи с чем энергия взаимодействия между молекулами системы изменится.

Изменение теплопроводности указанных систем в зависимости от концентрации связано с межмолекулярными взаимодействиями. Так как в системе бензол — толуол наблюдается увеличение концентрации бензола, а в системах ацетон — бензол, толуол — ацетон — бензол, толуол — ацетон увеличение концентрации ацетона увеличивает энергию взаимодействия между молекулами этих систем, то в результате увеличивается теплопроводность соответствующих систем.

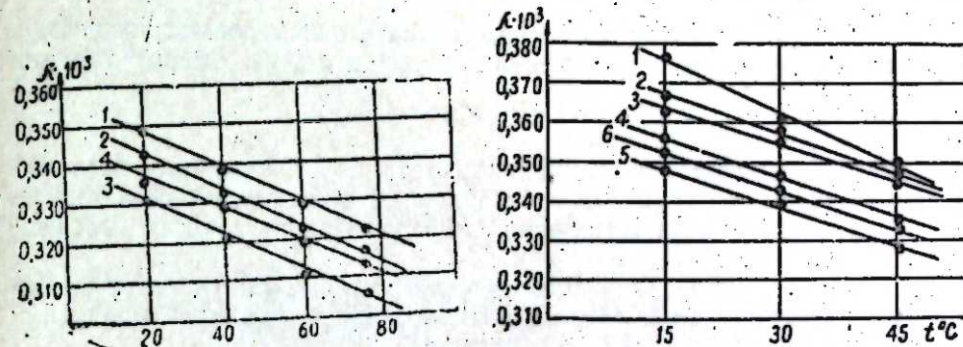


Рис. 3. 1—бензол 80% — толуол 20%; 2—бензол 60% — толуол 40%; 3—бензол 20% — толуол 80%; 4—бензол 40% — толуол 60%.

Рис. 4. 1—бензол 20% — ацетон 60% — толуол 20%; 2—бензол 40% — ацетон 40% — толуол 20%; 3—бензол 60% — ацетон 20% — толуол 20%; 4—бензол 20% — ацетон 40% — толуол 40%; 5—бензол 20% — ацетон 20% — толуол — 60%; 6—бензол 40% — толуол 40% — ацетон 20%.

Выводы

1. Зависимость теплопроводности изученных систем от концентрации имеет вид, представленный на рис. 1.
2. Теплопроводность в системе бензол — толуол увеличивается с увеличением концентрации бензола.
3. Теплопроводность в системе бензол — ацетон и ацетон — толуол увеличивается соответственно с увеличением концентрации ацетона.
4. Теплопроводность в системе бензол — толуол — ацетона увеличивается с увеличением концентрации ацетона.
5. Изменение теплопроводности этих систем в зависимости от температуры подчиняется общему закону, т. е. по мере увеличения температуры значение теплопроводности уменьшается (рис. 2, 3, 4).

$$\lambda_t = \lambda_{15} - a(t-15),$$

где a — для системы бензол — толуол равна $4,8 \cdot 10^7 \frac{\text{кал}}{\text{см} \cdot \text{сек} \cdot \text{град}^2}$

a — для системы ацетон — толуол и бензол — ацетона равна

$$6,2 \cdot 10^7 \frac{\text{кал}}{\text{см} \cdot \text{сек} \cdot \text{град}^2}$$

a — для системы бензол — толуол — ацетона равна

$$7,1 \cdot 10^{-7} \frac{\text{кал}}{\text{см} \cdot \text{сек} \cdot \text{град}^2};$$

За руководство и внимание к данной работе приношу глубокую благодарность доктору физико-математических наук проф. А. К. Абас-заде.

ЛИТЕРАТУРА

1. Фронтасьев В. П. Жур. физ. хим., № 1, 1946.
2. Филиппов А. П. и Новоселова А. С. Вестник МГУ, № 3, 1955.
3. Абас-заде А. К. ДАН СССР, т. III, 1947.
4. Абас-заде А. К. ДАН СССР, № 13, 1951.
5. Цедерберг Н. В.

Теплоэнергетика, № 2, 1957. 6. Рамазанзаде М. Г. и Осипова В. А., ДАН Азерб. ССР*, № 4, 1954. 7. Геллер З. И. и Растворгусев Ю. Л. Сб. трудов Грозненск. нефтяного ин-та, 20, 1958. 8. Абас-заде А. К. и Мустафаев Р. А., Азерб. нефтяное хозяйство*, № 2, 1960. 9. Абас-заде А. К. и Гылманов А. А., Азерб. нефтяное хозяйство*, № 1, 1964. 10. Кондратьев Г. М. Регуляризация тепловой режим, Гостехиздат, 1954. 11. Кондратьев Г. М., Изв. АН СССР*, № 4.

АПИ им. Ленина

Поступило 26. VI 1965

М. Я. Бәширов

Бә'зи икигат вә үчгат маје гарышыгларының истилекчирмә әмсалының концентрасија вә температурдан асылы олараг тәдгиги

ХУЛАСЭ

Маје гарышыгларының истилек параметрләри, о чумләдән истилекчирмә әмсалы, бә'зи ишләр мүстәсна олмаг шәртилә, өјрәнилмәмишdir. Лакин гејд олунан мәсәләнин бөјүк нәзәри вә тәчрүби әһәмијәти вардыр.

Тәдгим олунан мәгаләдә ашағыда адлары чәкилән маје гарышыгларының истилекчирмә әмсалы концентрасија вә температурдан асылы олараг өјрәнилмишdir.

а) икигат гарышыглар: бензол—толуол, бензол—асетон, асетон—толуол;

б) үчгат гарышыг: бензол—толуол—асетон.

Көстәрилән гарышыгларының истилекчирмә әмсалы Г. М. Кондратьевин "Мүнәзәм истилек режими нәзәријәсүнин" күрәви бикалориметр методу vasitəsilə 15—80°C температур интервалында өјрәнилмишdir.

Тәдгигат көстәриләндири ки, истәр икигат, истәрсә дә үчгат маје гарышыгларының истилекчирмә әмсаллары температурин артмасы илә (көстәрилән интервалда) хәтти ганунла азалыр.

Икигат гарышыгларда уңғун олараг бензолун вә асетонун концентрасијасының артмасы илә системин истилекчирмә әмсалы артыр.

Үчгат гарышыгда асетонун концентрасијасының артмасы илә гарышыгының истилекчирмә әмсалы артыр.

АЗӘРБАЙЧАН ССР ЕЛМЛӘР АҚАДЕМИЈАСЫНЫҢ МӘРҮЗӘЛӘРИ
ДОКЛАДЫ АКАДЕМИИ НАУК АЗЕРБАЙДЖАНСКОЙ ССР

ТОМ XXII

№ 2

1966

ХИМИЯ

Г. Х. ЭФЕНДИЕВ, Э. И. ШИК

О МЕХАНИЗМЕ ОБРАЗОВАНИЯ РАДИЕВОГО ЭМАНИРУЮЩЕГО КОЛЛЕКТОРА

Как известно, в районе циркуляции радионовых вод наблюдается нарушение уран-радиевого равновесия в сторону накопления радия. Это связано с вторичными геохимическими процессами, в результате которых находящийся в воде радий отлагается на поверхности пород, по которым циркулирует вода. Такие процессы приводят к обогащению пород радием, иногда с образованием коллекторов, снабжающих воды радионом. Еще в 1934—1935 гг., когда были обнаружены высокорадионовые воды Истису, было высказано предположение, что генезис их связан с эманирующим коллектором радия [3]. Впоследствии в ходе детального изучения радиоактивности этих вод среди магматических пород, по которым они циркулируют, был обнаружен подобный коллектор. Порода эта оказалась трахидацитом, обогащенным радием на целый порядок в сравнении с его кларком в земной коре и обладающим коэффициентом эманирования — 100%, т. е. выделяющим в окружающую среду все количество образующегося радона. Содержание радия в этом образце $22,7 \cdot 10^{-10}$ %. Радий-урановое отношение для него оказалось равным $115 \cdot 10^{-7}$ против равновесного — $3,5 \cdot 10^{-7}$. Следовательно, образование коллектора радия произошло за счет отложения последнего из вод благодаря высокой сорбционной способности трахидацита, что доказано специально проведенными исследованиями по адсорбции метиленовой сини и радиев из водных растворов в динамических условиях.

Для опытов был взят образец трахидацита с низким содержанием радиев — $0,6 \cdot 10^{-10}$ %. Для сравнения изучались также сорбционные свойства специально синтезированного сорбента — "активной" двуокиси марганца [4]. Результаты этих опытов приведены в таблице.

Активная поверхность трахидацита по метиленовой сини оказалась значительной — $19 \text{ m}^2/\text{g}$, хотя и уступала таковой одного из наиболее сильных сорбентов — "активной" двуокиси марганца ($37,2 \text{ m}^2/\text{g}$).

В качестве радиеводержащего раствора была использована богатая этим элементом нефтяная вода. Опыты по адсорбции радиев трахидацитом из этих вод (таблица) показали, что сорбция действительно имеет место и что при пропускании через колонку с трахидацитом около 900 л воды он сорбирует часть радиев из нее, в результате чего

Определение сорбционных свойств трахидацита по извлечению радия из нефтяной воды в динамических условиях

Объект исследования	Вес, г	Общее количество пропущенной через колонку воды, л	I этап		
			Содержание радия в воде, $\text{г/л} \cdot 10^{-10}$		% извлечения радия в пробе
			Исходная вода	После прохождения колонки с трахидацитом	
Трахидацит	1248	123,5	2,71	2,73	0,0

Общее количество пропущенной через колонку воды, л	II этап			III этап			Содержание радия в трахидаците (после пропускания воды) 10^{-10} г	
	Содержание радия в воде, $\text{г/л} \cdot 10^{-10}$		% извлечения радия в пробе	Содержание радия 10 в воде, $\text{г/л} \cdot 10^{-10}$		% извлечения радия в пробе		
	Исходная вода	После прохождения колонки с трахидацитом		Исходная вода	После прохождения колонки с трахидацитом			
752	2,76	2,48	10	888,5	2,60	1,34	48,5 17,7	

обогащается до $17,7 \cdot 10^{-10} \text{ Ra}$, т. е. почти в 30 раз. При этом предел насыщения не был достигнут. Следует отметить, что среди изученных пород участка циркуляции высокорадоновых вод были обнаружены образцы гранодиорита с содержанием урана в $\text{п.} \cdot 10^{-3} \%$, т. е. повышенным на целый порядок в сравнении с его кларком в кислых породах. Эти образцы залегают на 3—8 м глубже трахидацитового коллектора. В связи с этим представляется очевидным, что образование последнего связано с наличием гранодиорита с повышенным содержанием урана.

Таким образом, механизм образования радиевого коллектора можно представить как процесс выщелачивания радия водами из урансодержащих пород с последующей его сорбцией по пути движения природным сорбентом — трахидацитом.

В пользу изложенного говорит и низкое, не соответствующее радиоактивному равновесию с ураном содержание радия в этих образцах гранодиорита ($\frac{\text{Ra}}{\text{U}} = 1,3 \cdot 10^{-7}$).

Выводы

1. Выявлены сорбционные свойства трахидацита, поверхность которого составляет по метиленовой сини $19 \text{ м}^2/\text{г}$. Трахидацит поглощает радий из водного раствора, обогащаясь им в 30 раз.

2. На основании данных о содержаниях радия и урана и радиоурановом равновесии в породах, а также данных о коэффициенте эманирования радиевого коллектора и сорбционных свойствах трахидацита приводится толкование образования эманирующего коллектора радия, основного фактора формирования высокорадоновых вод в Истису.

ЛИТЕРАТУРА

1. Эфендиев Г. Х., Шик Э. И., Рябчук П. П. Радиологическое исследование вод Истису. Труды Ин-та химии АН Азерб. ССР, т. XII, 1954.
2. Шик Э. И. Уран в водах и породах Истису. Труды Ин-та химии АН Азерб. ССР, т. XIX, 1961.
3. Эфендиев Г. Х. Минеральные воды Истису. Труды АзФАН, XXVI, 1936.
4. Алексеевский Е. В. Активная двойник марганца; Л., ОНТИ, Химлит, 1937.

Институт неорг. и физической химии

Поступило 9. IV 1965

Г. Х. Эфендиев, Е. И. Шик

Радиум емаллашма коллекторунун эмэләкәлмә механизминә даир

ХУЛАСӘ

Мәгәләдә трахидацит сүхурларының сулу мәһлүллардан радиуму адсорбсија етмәк маһијәти өјрәнилмишидир (бу сүхурун сәтни метилин көйүнө көрә $19 \text{ м}^2/\text{г}$ -дүр).

Мүәјжән едилимишидир ки, бу сүхур радиуму су мәһлүлларындан адсорбсија едәрәк, онунда тәхминен 30 дәфәлә гәдәр зәнкүләшир.

Радиум вә уранын сүхурларындакы мигдарына, онларын арасында мөвчүд олан радиоактив мувазинато, һәмчинин радиум коллекторуны емаллашма эмсалына, трахидацитин адсорбсијаетмә габилијәтинә эслекланараг, Истису йүксәк радиумлу суларын эмэләкәлмә мәйбәләринин эслас факторларындан биринчи мүлаһизеси верилмишидир.

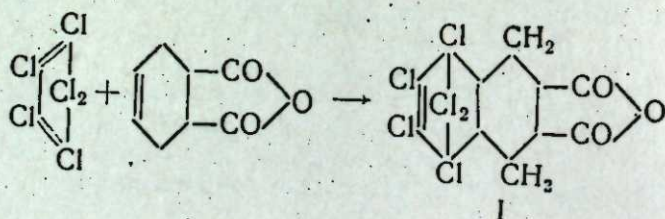
М. М. ГУСЕЙНОВ, М. С. САЛАХОВ, Т. Г. КЯЗИМОВА

ДИЕНОВАЯ КОНДЕНСАЦИЯ ГЕКСАХЛОРЦИКЛОПЕНТАДИЕНА С АНГИДРИДОМ ЦИС- Δ^4 -ЦИКЛОГЕКСЕН-1, 2-ДИКАРБОНОВОЙ КИСЛОТЫ

(Представлено академиком АН Азербайджанской ССР М. Ф. Нагиевым)

Среди многочисленных диенофилов, реагирующих с гексахлорциклоопентадиеном, по Дильсу-Альдеру, обращают на себя внимание цикленовые углеводороды. Установлено, что гексахлорциклоопентадиен способен вступать в диеновую конденсацию даже с такими малоактивными циклическими углеводородами как Δ^1 -гексен, Δ^1 -октен, Δ^1 -октадецин, циклогексен, 4-метилциклогексен, циклононен, циклодецин и др. [1-8].

Значительный интерес представляет изучение реакции диеновой конденсации между ангидридом цис- Δ^4 -циклогексен-1,2-дикарбоновой кислоты и гексахлорциклоопентадиеном с целью получения ангидрида цис-1, 2, 3, 4, 11, 11-гексахлортрицикло-(2, 4, 1, 0)-ундекен-2-дикарбоновой-7, 8-кислоты по схеме:



Подобные аддукты гексахлорциклоопентадиена проявляют высокие инсектицидно-fungицидные свойства и могут являться мономерами для синтеза термостабильных полимерных материалов. С другой стороны, изучение этой реакции преобретает большое теоретическое значение с точки зрения стереоспецифичности ее течения.

Ранее нами сообщалось о получении указанного аддукта [9]. Было установлено, что синтезированный нами аддукт является белым кристаллическим продуктом, имеющим Т. пл. = 273° (из четыреххлористого углерода) и 276°C (из бензола), хорошо растворимый в ацетоне, плохо в спирте, эфире, бензоле, четыреххлористом углероде.

Далее в литературе появилось сообщение, что этот аддукт синтезировался также американскими учеными [10] и получил название

2, 3-дикарбоксий-5, 8-эндометилен-5, 6, 7, 8, 9, 9-гексахлор-1, 2, 3, 4, 4a, 5, 8, 8a-октагидронафтalinовый ангидрид, для которого приводится Т. пл. = 278°C из дигромэтана.

В данной работе приводятся результаты изучения влияния различных параметров (температуры, молярного соотношения реагирующих компонентов, продолжительности) на протекание диеновой конденсации гексахлорциклоопентадиена с ангидридом цис- Δ^4 -циклогексен-1, 2-дикарбоновой кислоты.

ЭКСПЕРИМЕНТАЛЬНАЯ ЧАСТЬ

1. Получение ангидрида цис-1, 2, 3, 4, 11, 11-гексахлортрицикло-(2, 4, 1, 0)-ундекен-2-дикарбоновой-7, 8-кислоты [1].

В ампулу с барботером для азота загружались ангидрид цис- Δ^4 -циклогексен-1, 2-дикарбоновой кислоты (Т. пл. 102—104°C) и гексахлорциклоопентадиен ($D_4^{20} = 1,7119$, $D_D^{20} = 1,5652$) в рассчитанных количествах. Смесь нагревалась при заданной температуре в течение необходимого времени в атмосфере азота. По истечении реакции содержимое ампулы переносилось на фильтр Шотта для отделения образовавшихся кристаллов от избытка гексахлорциклоопентадиена и исходного ангидрида и промывалось четыреххлористым углеродом (или бензолом) для удаления гексахлорциклоопентадиена.

Отфильтрованные кристаллы аддукта (I) сушились до постоянного веса при температуре 120—150°C и анализировались.

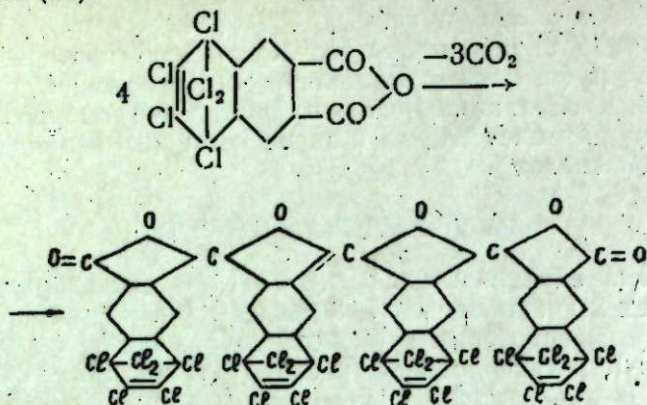
Фильтрат, содержащий непрореагировавший гексахлорциклоопентадиен, цис- Δ^4 -циклогексен-1, 2-дикарбоновый ангидрид и частично полученный аддукт после отгонки четыреххлористого углерода (или бензола) подвергался паровой разгонке. При этом отгонялся гексахлорциклоопентадиен, а ангидрид цис- Δ^4 -циклогексен-1, 2-дикарбоновой кислоты превращался в соответствующую кислоту, растворимую в горячей воде. После паровой разгонки водная часть отделялась от остатка на дне колбы и выпаривалась для учета не вошедшего в реакцию начального ангидрида.

Остаток темно-коричневого цвета после сушки растворялся в гентане. При этом часть его растворялась, а нерастворившаяся часть отделялась фильтрацией. Кристаллы на фильтре промывались бензолом и сушились до постоянного веса при температуре 120—150°C, Т. пл. = 218°C (II). Гентановый экстракт светло-коричневого цвета выпаривался на водяной бане, после чего получался твердый остаток (III) коричневого цвета с Т. пл. = 45—50°C.

Анализ (II) на кислотное число показал наличие двух карбоксильных групп в данном соединении, а результаты элементарного анализа соответствовали элементарному анализу цис-1, 2, 3, 4, 11, 11-гексахлортрицикло-(2-4-1-0)-ундекен-2-дикарбоновой-7, 8-кислоты (IV). Кислота (II) была также выделена после паровой разгонки реакционной смеси, полученной нагреванием чистого (I) в среде гексахлорциклоопентадиена при температуре 150°C в течение 12 ч в атмосфере азота. Нагревание (I) аддукта в условиях паровой разгонки приводит к получению только кислоты (IV), что однозначно говорит об образовании (II) в процессе реакции. Таким образом можно полагать, что (II) является транс-стереоизомером (IV), установление конфигурации которого представляет самостоятельный интерес.

Анализ остатка (III) показал, что его молекулярный вес колеблется в пределах 800—1580, а содержание хлора от 52,9 до 54,2%; это позволяет предположить, что (III) является продуктом реакции поликон-

денсации 2-4 молекул (I), сопровождающейся выделением молекул CO_2 по схеме (11):



Изучение диеновой конденсации гексахлорцикlopентадиена с ангидридом цис- Δ^4 -циклогексен-1, 2-дикарбоновой кислоты было проведено в температурном интервале 130–170°C, молярном соотношении гексахлорцикlopентадиена к ангидриду цис- Δ^4 -циклогексен-1, 2-дикарбоновой кислоты от 1:1 до 4:1 и продолжительности реакции от 1 до 15 ч.

Результаты характерных опытов по влиянию температуры на диеновую конденсацию гексахлорцикlopентадиена с ангидридом цис- Δ^4 -циклогексен-1, 2-дикарбоновой кислоты приводятся в таблице, где даны материальный баланс опытов, условия, выхода полученных аддуктов и их физико-химическая характеристика.

Постоянные параметры процесса: цис- Δ^4 -циклогексен-1, 2-дикарбоновый ангидрид—10 г, гексахлорцикlopентадиен—36 г, молярное соотношение $\text{C}_5\text{Cl}_8:\text{C}_8\text{H}_8\text{O}_3 = 2:1$, продолжительность—12 ч

№ опыта			
	24	21	23
Характеристика			
Температура, °С	130	150	170
Получено, % вес.			
Продукты конденсации			
Цис- Δ^4 -циклогексен-1, 2-дикарбоновая кислота	34,8	60,6	60,2
Гексахлорцикlopентадиен	9,4	—	—
Потери	55,4	38,5	38,7
Состав продуктов конденсации, %	0,4	0,9	1,1
Аддукт (I)	96,2	88,9	80,1
Темп. пл., °С	275	276	274
Аддукт (II)*	3,8	8,6	8,7
Темп. пл., °С	217	218	217
Остаток	—	2,5	11,2
Выход продуктов конденсации на взятый цис- Δ^4 -циклогексен-1, 2-дикарбоновый ангидрид, %	57,1	99,6	98,9
Теоретический выход аддуктов, %	100	97,1	87,8

Примечание:

Аддукт (I)— Вычислено: Cl—50,12%
Найдено: Cl—49,81—51,63%
Аддукт (II)— Вычислено: Cl—48,08%
Найдено: Cl—47,84—48,45%

* Выхода даются в пересчете на ангидрид.

Из данных таблицы видно, что с изменением температуры от 130 до 170°C возрастает общий выход аддуктов, максимальное значение которых (99,6%) соответствует температуре 150°C. Следует отметить, что с увеличением температуры в указанном интервале выход аддукта (II) возрастает от 3,8 до 8,7%, а остатка от (при 150°C) 2,5 до 11,2%, сопровождающегося нарастанием молекулярного веса от 800 до 1580.

2. Получение цис-1, 2, 3, 4, 11, 11-гексахлортрицикло-(2, 4, 1, 0)-ундекен-2-дикарбоновой-7, 8-кислоты (IV).

Указанная кислота получалась присоединением элементов воды к (I), диеновой конденсацией цис- Δ^4 -циклогексен-1, 2-дикарбоновой кислоты с гексахлорцикlopентадиеном по вышеуказанной методике, а также омылением бариевой соли синтезированного аддукта серной кислотой, полученного действием гидроокиси бария на водный раствор ангидрида при кипячении.

Температура плавления полученной кислоты из воды (265°C).

Выводы

1. Впервые проведена диеновая конденсация гексахлорцикlopентадиена с ангидридом цис- Δ^4 -циклогексен-1, 2-дикарбоновой кислоты с получением ангидрида цис-1, 2, 3, 4, 11, 11-гексахлортрицикло-(2, 4, 1, 0)-ундекен-2-дикарбоновой-7, 8-кислоты и разработаны условия получения соответствующей кислоты.

2. Установлено, что получение 1, 2, 3, 4, 11, 11-гексахлортрицикло-(2, 4, 1, 0)-ундекен-2-дикарбоновой-7, 8-кислоты сопровождается образованием в небольшом количестве транс-стереоизомера кислоты (IV) указанного аддукта,

3. На основании получения высокомолекулярного остатка высказана возможность поликонденсации синтезированного аддукта с образованием димера, тримера, тетрамера и др., сопровождающейся выделением двуокиси углерода.

ЛИТЕРАТУРА

- Пат. США 271424, РЖХим., 1956, № 13, 354.
- Newcomer J., McBee E., J. Amer. chem. Soc. 71, 946, 1949.
- Berger C., Becher O. Z. Naturforsch. 96, 684, 1954.
- Ziegler K., Frotzheim H.-Kühnig, Lieb. Ann. 589, 157, 1954.
- Riemenschneider K., Gräblitz B. E., Monatsh. 91, 22, 1960.
- Ziegler K., Sauer H., Bruns L., Frotzheim-H.-Kühnig, Schneider J. Ann. 589, 122, 145, 156, 1954.
- Пат. США 2868778, C. A. 131, 12138, 1960.
- Беликов А. Н. А., Вольфсон Л. Г., Кузнецова К. В., Мельников Н. Н., Платов А. Ф. ЖХХ, 29, 3589, 1959.
- Автор, свид. Решение № 924940/23—4, 1964.
- Roberts, C. W., Haigh D. H. and Rathacker R. J., J. Applied Pol. Science, т. 8, № 1, 363—383, 1964.
- Roberts E., Chem. Reviews. № 4, т. 57, 41, 1957.

ИИХП

Поступило 9. VII 1965

М. М. Ысыев, М. С. Салаев, Т. Г. Казымова

Сиклопентадиенин цис- Δ^4 -циклоhexен-1, 2-дикарбон туршусунун анидриди илэ диен конденслэшмэси

ХУЛАСЭ

Мэгалэдэ гексахлорцикlopентадиенин цис- Δ^4 -циклоhexен-1, 2-дикарбон туршусунун анидриди илэ диен конденслэшмэси реаксијасынын (температурун 130—170°C-дэ, гексахлорцикlopентадиенин анид-

риде олан молјар нисбетинин 1:1—4:1 вә реаксија мүддәтинин 1—15 saat интервалында дәжишилмәси шәрәтиндә) тәдгиги шәрһ олунмушдур.

Мүэjjән олунмушдур ки, диеин диеофилә (2:1 молјар нисбетин-дә) олан гарышынын 12 saat мүддәттиндә, 150°C-дә гыздырылмасы нәтичәсіндә 97,1% (нәзәри чыхымла) мұвағиғ аддукт алымыш вә көстәрілмишdir ки, алдан реаксија мәһсулу 88,9% 1, 2, 3, 4, 11, 11-нексахлортрицикло-(2, 4, 1, 0)-ундесен-2-дикарбон-7, 8-туршусунун аннидриди, 8,6% hәмин туршунун 218°C-дә әриjән транс-стереозоме-ри вә 2,5% 45—50°C-дә әриjән полимер күтләдән ибартдир.

ТЕРМОДИНАМИКА

А. Б. ЦАТУРЯНЦ, М. З. РАЧИНСКИЙ

К ВОПРОСУ О ПРИЧИНАХ ОПРЕСНЕНИЯ ПЛАСТОВЫХ ВОД
ГАЗОКОНДЕНСАТНЫХ МЕСТОРОЖДЕНИЙ

(Представлено академиком АН Азәрбайджанской ССР Ш. Ф. Мехтиевым)

При изучении пластовых вод газоконденсатных залежей обращает на себя внимание факт значительного опреснения вод, полученных в пределах контуров газоносности, по сравнению с водами, характеризующими закономерные зоны тех же залежей* [1, 2, 14, 15]. По газоконденсатным месторождениям Азербайджана отношение минерализации вод закономерных зон к минерализации вод, полученных совместно с газом и конденсатом („промежуточные“ пропластковые воды), составляет 1,2—1,5 (табл. 1) при примерно одинаковых в среднем соотношениях между отдельными компонентами солевого состава вод в обеих частях залежей, указывающих на то, что воды закономерных и продуктивных зон во всех рассматриваемых случаях с точки зрения своего генезиса единны.

Таблица 1

Площадь	Свита, горизонт	<u>Σа+к законтурн. обл.</u>	
		<u>Σа+к газоконден. зон</u>	
Карадаг Зыря	VII	1,2—1,25	
	КС	1,3—1,4	
	ПК	1,2—1,3	
Локбатан Калмас	ПК	1,4—1,5	
	I	1,2—1,35	
	III	1,2—1,4	

Имея в виду изложенное, естественно считать наличие менее концентрированных вод в пределах продуктивных зон газоносных пластов следствием опреснения (разбавления) вод, оставшихся после формирования залежи в газонасыщенной части пласта, пресными водами, так или иначе попавшими в газовые зоны.

Приуроченность наблюдалемого факта исключительно к залежам описываемого типа, наряду с отсутствием даже косвенных указаний

* с учетом пресной воды, содержащейся обычно в пластовом газе.

о возможности инфильтрации поверхностных агентов, дает основание считать, что причины отмеченного явления кроются в специфике самих газоконденсатных скоплений и в особенностях фазового поведения флюида при миграции и формировании указанных залежей.

Согласно современным представлениям, формирование залежей нефти, газа и конденсата происходит в результате миграции углеводородов в состоянии однофазного парогазового раствора [4, 5, 7, 8, 12, 13].

Нам представляется, что одной из возможных причин опреснения вод газоконденсатных залежей является водяной пар, присутствовавший всегда в исходной углеводородной смеси и конденсировавшийся в результате изменения окружающих термодинамических условий во время ее перемещения от мест генерации до ловушек.

Ниже этот вопрос рассматривается более подробно, при этом делается попытка выяснить преимущественное влияние температуры и давления на содержание паров воды в парогазовой смеси.

Известно, что при низких давлениях упругость паров жидкости или пропорциональная ей величина (содержание паров в газовой фазе) является практически функцией температуры. Следовательно, содержание паров вещества над жидкостью в этом случае можно определить по кривой упругости паров этого вещества в чистом виде. Абстрагируясь пока от влияния давления и энергетического взаимодействия между молекулами газа и воды на содержание паров жидкости в газовой фазе, получим следующее выражение для определения удельного содержания (kg воды на 1 m^3 газа) воды в газе (g_t):

$$\frac{G_o}{V_r} = 0,803 \cdot \frac{P_o z_r}{(P - P_o) z_n}, \quad (1)$$

где G_o — содержание паров воды, kg ;

V_r — количество газа, m^3 ;

P_o — упругость паров воды, atm ;

P — общее давление системы, atm ;

z_r, z_n — коэффициенты сжимаемости газа и паров воды. Иными словами, считается пока, что содержание водяных паров в газе зависит только от температуры, т. е. определяется упругостью паров воды в чистом виде.

В то же время известно, что количество водяных паров в газе в общем случае в соответствии с правилом фаз является функцией температуры и давления. При повышенных давлениях содержание воды в газе, как это следует из экспериментальных данных, зависит в значительной степени и от давления [3, 17].

Понятно, что разность между общим содержанием влаги в газе (g_{ob}) и количеством ее в функции температуры (g_t) есть количество воды в газовой фазе, обусловленное давлением (Δg_p), т. е.: $\Delta g_p = g_{ob} - g_t$.

турь при постоянном давлении. Из табл. 2 следует, что с ростом температуры доля водяных паров в общем влагосодержании газовой фазы, обусловленная только давлением $(\frac{\Delta g_p}{g_{ob}})$, уменьшается, т. е. повышение температуры ослабляет влияние внешнего давления на упругость паров жидкости. Качественно это соответствует выражению (2).

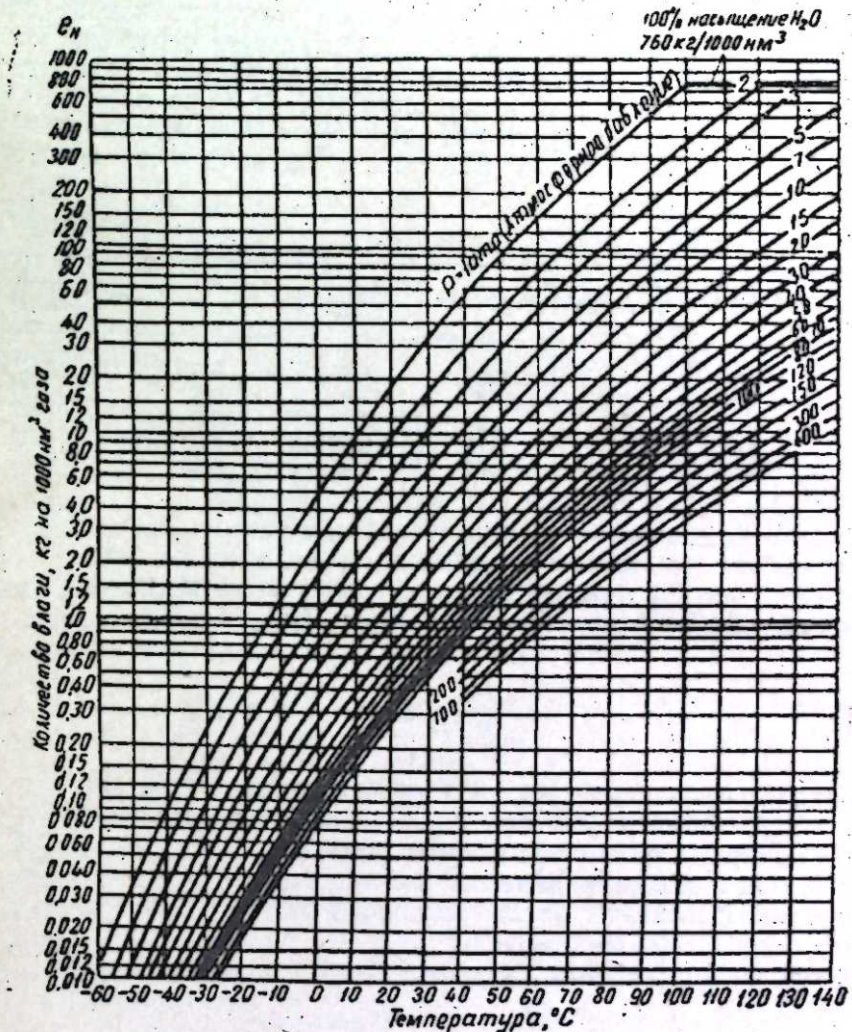


Рис.

Таблица 3

P, atm	$t, ^\circ C$	$g_{ob}, g/\text{m}^3$	$g_t, g/\text{m}^3$	$\Delta g_p, g/\text{m}^3$	$\frac{\Delta g_p}{g_{ob}}, \%$
700	148	12	6,63	5,37	45
400	148	16	9,55	6,45	41
300	148	19	11,60	7,4	39
200	148	25	16,80	8,20	33
100	148	43	32,60	10,4	23,5

В табл. 3 показано изменение содержания водяных паров в газе в зависимости от давления при постоянной температуре. Из данных

таблицы видно, что доля водяных паров, обусловленная давлением ($\Delta g_p/g_{ob}$), возрастает с ростом последнего, несмотря на обратный характер изменения как общего влагосодержания (g_{ob}), так и части его, обусловленной только давлением (Δg_p). С качественной стороны это вытекает из того же выражения (2), связывающего упругость паров жидкости и внешнее давление.

Увеличение содержания жидкости в газовой фазе от давления связано с двумя эффектами — с повышением упругости паров жидкости от внешнего давления (эффект Пойнтинга) и с растворимостью жидкостей в сжатых газах (результат энергетического взаимодействия между молекулами газа и жидкости) [9, 10]. Оба эффекта, имея различную физическую сущность, действуют в одном направлении, повышая содержание паров жидкости в единице геометрического объема газовой фазы.

Таблица 4

$P, \text{ atm}$	$t, ^\circ\text{C}$	$g_{ob}, \text{ г/н.м}^3$	$g_t, \text{ г/н.м}^3$	$\Delta g_p, \text{ г/н.м}^3$	$\Delta g_{\text{Пойнтинг}}, \text{ г/н.м}^3$	$\Delta g_{\text{растворения}}, \text{ г/н.м}^3$
700	148	12	6,63	5,37	3,4	1,97
400	93	3,3	1,9	1,4	0,5	0,9
300	73	1,7	1,0	0,7	0,2	0,5
200	59	1,3	0,72	0,59	0,09	0,15
100	45	1,1	0,67	0,45	0,05	0,4

Попытаемся оценить в количественном отношении раздельное влияние обоих указанных эффектов на содержание воды в газе. Ориентировочно это можно сделать с помощью аналитического выражения, эффекта Пойнтинга (табл. 4, графа 7):

$$\frac{P'_0}{P} = e^{\frac{V_P}{RT}}, \quad (2)$$

где P'_0 — упругость паров воды в функции температуры, atm ;

P'_0 — упругость паров воды в функции давления и температуры, atm ;

V — молярный объем воды, $\text{см}^3/\text{г-моль}$;

P — общее давление системы, atm ;

R — универсальная газовая постоянная;

T — температура системы, $^\circ\text{K}$.

Так как по определению, данному выше

$$\Delta g_p = \Delta g_{\text{Пойнтинг}} + \Delta g_{\text{растворения}},$$

а $\Delta g_p = g_{ob} - g_t$, то будем иметь

$$\Delta g_{\text{растворения}} = g_{ob} - g_t - \Delta g_{\text{Пойнтинг}}$$

В графе 8 табл. 4 показано содержание влаги в газе, обусловленное эффектом растворения воды в газе, а в графике 6 — суммарное влияние давления на влагосодержание природного газа.

Таблицы 2 и 3 построены в предположении постоянства, в одном случае, температуры, в другом, — давления. При миграции же смеси углеводородов и воды происходит одновременное уменьшение давления и температуры. Для частного случая, характеризующегося условиями табл. 4 (графы 2, 3), определим с помощью последней количество воды, выпадающей из смеси в процессе миграции.

Если принять, что зона преобразования исходной органики приурочена к Южно-Каспийской депрессии [6, 11], где глубины залегания базисных горизонтов продуктивной толщи составляют в среднем 6000—8000 м, а пути миграции охватывают интервалы глубин 7000—1000 м, то при помощи известных графиков (см. рис.) можно, пользуясь заданными значениями давления и температуры, рассчитанной по средней величине геотермической ступени, количественно оценить содержание влаги в мигрирующей углеводородной смеси, на каждом этапе ее движения (табл. 4, графа 4). В нашем случае, за исходные данные примем $P=700 \text{ atm}$ и $T=145-150^\circ\text{C}$ при условии равенства геотермической ступени 56 м/град [16].

Из рисунка находим, что при данных P и T содержание воды в кубическом метре природного газа при стандартных условиях составляет около 12 г.

При снижении давления от 700 до 400 atm и температуры от 148 до 93°C общее количество выделившейся из смеси воды оказывается равным 8,7 г/н.м^3 . Если бы миграция сопровождалась изменением только давления при постоянной температуре (148°C), то, судя по рисунку и табл. 3, влагосодержание газа возросло бы от 12,0 до 16,0 г/н.м^3 . С другой стороны, если бы этот процесс сопровождался изменением температуры от 148 до 93°C при постоянном давлении 700 atm (табл. 2), то влагосодержание газа уменьшилось бы с 12,0 до 3,0 г/н.м^3 , т. е. на 9,0 г/н.м^3 , что несколько больше, чем при одновременном изменении и T и $P=8,7 \text{ г/н.м}^3$ (табл. 4). Это означает, что рассматриваемый предел изменения давления входит в область нормального испарения и конденсации для системы газ—вода, в которой, как известно, уменьшение давления вызывает увеличение влагосодержания газа. В общем случае однако, как и любая другая газожидкостная система, система газ—вода должна иметь и ретроградную область, характеризующуюся ростом влагосодержания с повышением давления.

Давление максимальной конденсации воды в системе газ—вода, в отличие от углеводородных систем, будет очень большим, во всяком случае, судя по рисунку, более 700 atm . Таким образом, при принятых условиях миграции выделение указанных выше значительных количеств пресной воды из мигрирующей газовой фазы происходит исключительно за счет нормальной конденсации, вызванной снижением температуры. Давление в этих пределах действует в обратном направлении, вызывая некоторое увеличение влагосодержания газа, т. е. уменьшая несколько количество выделяющейся при миграции влаги, по сравнению с количеством ее, которое могло бы выделиться из смеси при снижении только температуры.

ЛИТЕРАТУРА

- Ахундов А. Р., Рачинский М. З. Изв. АН Азерб. ССР, № 2, 1963.
- Ахундов А. Р., Рачинский М. З. Вопросы разработки газоконденсатных и нефтяных месторождений. Труды ин-та разработки нефтяных и газовых месторождений АН Азерб. ССР, 1964. 3. Амикс Дж., Басс Д., Уайтинг Р. Физика нефтяного пласта. Гостоптехиздат, 1962. 4. Бурштар М. С., Машков И. В. Условия формирования и закономерности размещения залежей нефти и газа. Гостоптехиздат, 1963. 5. Горин В. А. ДАН СССР, т. 122, 1958, № 4. 6. Горин В. А. АНХ, № 2—3, 1946. 7. Давали М. Ф. Возможные факторы и процессы первичной миграции нефти. Труды ВНИГРИ, вып. 192, 1959. 8. Дурмишьян А. Г. АНХ, № 10, 1959. Карапетянц М. Х. Химическая термодинамика. Госхимиздат, 1953. 10. Кричевский И. Р. Фазовые равновесия при высоких давлениях. Госхимиздат, 1956. 11. Мелик-Пашаев В. С. Геология морских нефтяных месторождений Апшеронского архипелага. Гостоптехиздат, 1959. 12. Соколова М. Н., Капельюшников М. А., Закс С. А. ДАН СССР, т. 108, 1956, № 4. 13. Султан-

нов А. Д., Горин В. А. Продуктивная толща западного борта Южно-Каспийской впадины. Азернефт, 1963. 14. Султанов Б. И., Корхова Е. Ф. „Нефть и газ“, 1961, № 4, 15. Султанов Б. И., ДАН Азерб. ССР № 12, 1961. 16. Цатурианц А. Б., Гаджиева Т. А. „Геология нефти и газа“, № 7, 1960. 17. Mc. Cartney E. I., Boyd W. L. and Reid L. S. The water vapor content of essentially nitrogenfree natural gas saturated at various conditions of temperature and pressure. AIME, 1950, p. 189.

Институт проблем глубинных нефтегазовых месторождений

Поступило 5. II 1965

А. Б. Сатурянс, М. З. Рачински

Газ-конденсат јатагларынын лај суларынын ширинләшмәсинин сәбәбләри мәсәләсүнә даир

ХУЛАСЭ

Азәрбајчан газ-конденсат јатагларынын лај суларыны өјрәнәркән мүәјҗән едилмишdir ки, бу јатагларын газлы һиссәсүндән алышан суларын минераллашмасы һәмин јатагларын контурархасы зона суларына нисбәтән 1,2—1,5 дәфә аздыр.

Белә бир фикир ирәли сүрүлүр ки, газ-конденсат јатаглары суларынын ширинләшмәсинин сәбәби илкин карбонидрокен гарышыны тәркибиндә олан вә миграсија просесиндә, дәшишмиш термодинамик шәрант нәтичәсүндә ондан конденсә олунан су бухарларыдыр.

Апарылмыш һесабатлар көстәрмишdir ки, температурун дүшмәси нәтичәсүндә гарышыгдан айрылан су бухарлары тәэзиг вә температурун ejni заманда дүшмәси нәтичәсүндә айрылан нәмлијин тәгребән јарысыны тәшкىл едир.

АЗӘРБАЙЧАН ССР ЕЛМЛӘР АКАДЕМИЯСЫНЫН МӘРҮЗӘЛӘРИ
ДОКЛАДЫ АКАДЕМИИ НАУК АЗЕРБАЙДЖАНСКОЙ ССР

ТОМ XXII

№ 2

1966

ГЕОЛОГИЯ

М. М. АЛИЕВ, Р. А. АЛИЕВ, Н. И. ФИЛИНА

СПОРОВО-ПЫЛЬЦЕВЫЕ КОМПЛЕКСЫ
И ПАЛЕОКЛИМАТИЧЕСКИЕ УСЛОВИЯ СЕНОМАНА
И МААСТРИХТА ЮГО-ВОСТОКА БОЛЬШОГО КАВКАЗА

Спорово-пыльцевые комплексы верхнего мела юго-востока Большого Кавказа, несмотря на проведенные детальные исследования всего разреза, были обнаружены лишь в отложениях сеномана в трех пунктах, близко расположенных друг от друга; на г. Дибрар, у сел. Зарат-Хейбери по реке Пирсагат и реке Тудар, а маастрихта—по р. Карабай у сел. Будуг.

Хотя эти спорово-пыльцевые комплексы найдены в небольшом количестве (за исключением комплекса из отложений по р. Тудар), они дают весьма ценные материалы для суждения о палеоклиматических условиях, существовавших в это время на исследованной нами территории.

Сеноманские отложения г. Дибрар представлены чередованием темно-оливково-серых, зеленовато-серых жирных оскольчатых глин с редкими прослоями желтовато-серых рыхлых известковистых песчаников. В нижней части толщи глины песчанистые, известковистые, в верхней—неизвестковистые. Мощность сеномана в разрезе достигает 300 м.

Сеноманский возраст этих отложений устанавливается по собранным здесь и определенным комплексам фораминифер: *Globigerina infraretacea* Glaessn., *G. globigerinellinoides* Subb., *Gümbelitria senotana* (Keller), *Schackoina senotana* (Schacko), *Rotalipora appenninica* (Renz) и др. (опред. Т. М. Забелиной).

Указанные виды, в основном характерны для сеномана. В глинах этих отложений в небольшом количестве образцов удалось выделить комплекс пыльцы и спор, который по своему общему составу сходен с сеноманскими комплексами других исследованных областей: Центральных Каракумов (З. В. Мархасева, 1962 г.), Приаралья (Н. И. Фокина, 1963 г.), Фараб (Л. О. Тарасова, 1963 г.) и т. д. В данном комплексе споры мхов и папоротникообразных доминируют (63,8—72%) над пыльцой голосемянных и покрытосемянных растений. Из споровых в свою очередь первое место занимает сем. *Gleicheniaceae* (до 35%) с видами: *Gleichenia circinidites* Bolch., *G. delicata* Bolch., *G. glauca* Tipb., *G. laeta* Bolch., *G. stellata* Bolch.

В большом количестве также встречаются споры представителей сем. *Schizaeaceae* (до 20%), из которых определены следующие роды и виды: *Lygodium*, *Anemia* (*A. imperfecta* Bolch., *A. macrorhiza* (Mark.) Bolch.), *Pelletieria*, *Schizaea* (*S. certa* Bolch., *S. evidens* Bolch., *S. laevigataeformis* Chl. n.).

В небольших количествах отмечены споры *Alsophila* и ряда других *Cyatheaceae*, а также мезозойского рода *Coniopteris* (сближаемого с *Dicksoniaceae*). Из мохобразных следует указать на присутствие спор *Sphagnum*, а из других сосудистых — на споры (р. *Lycopodium*).

Кроме вышеперечисленных, здесь встречено большое количество спор, относимых к таким характерным форм-родам как *Chomotriletes redundus* Bolch. (до 5%), *Leiotriletes* (до 32%) и *Trachytriletes*. Из р. *Leiotriletes* определены следующие виды: *L. selectus* Bolch., *L. subtilis* Bolch.

Среди пыльцы голосемянных преобладает пыльца сем. *Cupressaceae-Taxodiaceae*, гораздо меньше пыльцы сосновых (*Pinaceae*) и ногоплодниковых (*Podocarpaceae*). Много пыльцы форм-рода *Classopollis* (до 16%), сближаемого с араукариевыми. Встречаются единичные пыльцевые зерна гинкговых и кейтониевых. Крайне мало встречено пыльцы покрытосемянных растений (1%). Она представлена форм-родом *Tricolporopollenites* Pf1.

У сел. Зарат-Хейбери в глинисто-известняковой толще мощностью 45 м с характерной сеноманской фауной *Inoceramus pictus* Sow. был обнаружен спорово-пыльцевой комплекс, очень близкий по своему составу к описанному выше. Здесь были определены следующие формы: *Gleichenia delicata* Bolch., *G. laeta* Bolch., *G. stellata* Bolch., *Schizaea kulandyensis* Bolch., *Anemia chetaensis* K.-M., *A. pseudotripartita* Bolch., *Pelletieria minutaestriata* (Bolch.) Bolch., *Chomotriletes redundus* Bolch., *Sphagnum glabellum* Verb. *Lycopodium* sp., *Osmunda granulata* (Mal.) Bolch., *Ginkgo* sp. *Cupressaceae*, *Classopollis*, *Podozamites* sp., *Tricolporopollenites* Pf1.

С. Б. Куваевой в верховьях р. Тудар в сеноманских отложениях был найден богатый комплекс спор и пыльцы. Выделенный здесь комплекс в основном сходен с составом спор и пыльцы предыдущих разрезов. Он отличается также значительным преобладанием спор мхов и папоротникообразных над пыльцой голосемянных и покрытосемянных. Основная роль среди споровых, как и в комплексе из отложений г. Дибар, принадлежит спорам семейств *Gleicheniaceae* и *Schizaeaceae*. Споры сем. *Gleicheniaceae* отнесены к 9 видам: *Gleichenia stellata* Bolch., *G. delicata* Bolch., *G. imbonata* Bolch., *G. laeta* Bolch. и другие. Споры сем. *Schizaeaceae* представлены 5 родами: *Klikisporites*, *Lygodium* (4 вида), *Anemia* (6 видов), *Peltieria* (3 вида) и *Schizaea*. Кроме указанных здесь отмечены споры представителей семейств *Ophioglossaceae*, *Cyatheaceae*, *Polypodiaceae*, *Selaginellaceae*, а также родов *Sphagnum* и *Equisetum*.

Наряду с перечисленными присутствуют споры, определенные по искусственной системе: *Stenozonotriletes divulgatus* Chl. n., *S. radiatus* Chl. n., *S. exuperans* Chl. n., *Cingulatisporites euskirchensoides* Delc. et Sprum.

Пыльца принадлежит сем. *Cupressaceae-Taxodiaceae* и родам *Sciadopitys*, *Chamaecyparis* и *Classopollis*.

Пыльца хвойных сем. *Pinaceae* и *Podocarpaceae* встречается в малом количестве. В довольно значительном количестве обнаружена пыльца покрытосемянных, представленных форм-родами *Tricolporopollenites* и *Tricolporopollenites*. Таким образом, из приведенного видно, что спорово-пыльцевые комплексы сеномана отличаются преоблада-

нием в основном типично мезозойской флоры, а пыльца покрытосемянных занимает еще подчиненное положение.

Иную картину мы видим при изучении спорово-пыльцевых комплексов из маастрихтских отложений, где, наоборот, основная роль принадлежит покрытосемянным растениям. Мощные отложения маастрихта (525 м) в Будугском разрезе представлены в основном чередованием серых, темно-серых, зеленовато-серых, часто песчанистых и известковистых глин, а также в нижней и верхней частях толщи частых прослоев сероватых, серовато-белых, белесоватых мергелей и редко мелко-и среднезернистых, сильно известковистых, слабо сцепментированных желтоватых песчаников. Возраст их устанавливается богатым комплексом фораминифер: *Ammodiscus incertus* (Orb.), *Heterostromella convergens* Keller, *Spiroplectammina paelonga* Reuss, *Tritaxia tricarinata* Reuss, *Gaudryina pyramidata* Cushman, *Buliminina reussi* Motrow, *Marssonella oxycona* Reuss, *Valvularineria allomorphinoides* Reuss, *V. laevis* Brotz., *Gyroidina turgida* (Hag.), *G. obliquaseptata* Mjatl., *Globorotalites michelinianus* Orb., *Eponides frankei* Brotz., *Anomalina clementiana* (Orb.), *A. umbilicatula* Mjatl., *Rotundina marginata* Reuss, *R. ordinaria* Subb., *Globigerina cretacea* (Orb.), *Globigerinella aspera* (Ehrenb.), *Globotruncana linneiana* (Orb.), *G. rosetta* Carsey, *G. arca* (Cushman.), *G. contusa* (Cushman.), *G. conica* (White), *G. lapparenti* Brotz., *Buliminella obtusa* Orb., *Pseudouvigerina cretacea* Cushman., *Gumbelina elegans* (Rzehak), *G. striata* (Ehrenb.), *G. globulosa* (Ehrenb.), *G. excopatis* Cushman., *Pseudotextularia varians* Rzehak, *Planoglobulina acervulinoides* (Egger), *Ventilarella eggeri* Cushman.

Многие из этих видов являются характерными формами для маастрихта: *Eponides frankei* Brotz., *Planoglobulina acervulinoides* (Egger), *Pseudotextularia varians* Rzehak и др. (определения Т. М. Забелиной).

Отсюда же определен комплекс остракод: *Cytherella ovata* (Roemer), *C. leopolitana* Reuss, *Krithe simplex* (Jones et Hinde), *K. paralella* (Reuss), *K. pseudosimplex* Z. Kuzn., *Xestoleberis triangularis* Mandelst., *Cythereis cf. ornatissima* Reuss, *Sigillum gejtapense* Z. Kuzn., *Bairidia prisca* Gou, *Argilloecia brevis-dorsuale* Z. Kuzn., *Segmina longa* Gou, *S. semicostata* Gou, *Eocytheropteron bicostatum* Gou (определения Гоу Юнь-сянь). Состав пыльцы и спор, выделенный из этих отложений, довольно беден, однако он говорит о маастрихтском возрасте.

Здесь, в противоположность сеноманским комплексам, отмечается явное преобладание пыльцы покрытосемянных растений (64—90%), а споры сосудистых растений и пыльца голосемянных занимают подчиненное положение.

Среди пыльцевых зерен покрытосемянных наиболее многочисленны зерна форм-родов из стеммы *Normapolitis* Pf1., *Nudopollis* Pf1., *Trudopollis* Pf1., *Oculopollis* Pf1., *Basopollis* Pf1.

Из рода *Trudopollis* определены виды *T. nonperfectum* Pf1., *T. retigressus* Neyl. et Krieg., *T. hemiperfectus* Pf1.; из рода *Nudopollis* — *N. minutus* Zakl., *N. terminalis* Pf1.; из рода *Oculopollis* — *O. praedicatus* Weyl. et Krieg. Из-за плохой сохранности зерна рода *Basopollis* вид определить не удалось.

Единично встречаются пыльцевые зерна таких формальных родов и видов как *Extratriporopollenites argatus* Mart., *Triatriopollenites* Pf1., *Tricolporopollenites* Pf1. и *Tricolporopollenites* Pf1.

Среди пыльцы, которая с некоторой долей вероятности может быть отнесена к родам естественной системы, следует указать на пыльцевые зерна родов *Platycaria* и *Corylus*. Пыльцы голосемянных растений в описываемом комплексе мало. Это в основном пыльца родов *Pinus* и *Picea*, "молодого облика" (с хорошо дифференцированными воздушными мешками). Из других хвойных определена пыльца рода *Araucaria* и форм-рода *Classopollis* Pfl.

Споры, занимающие здесь подчиненное положение, принадлежат папоротникам из семейств *Schizaeaceae* (р. *Anemia*, *Lygodium*), *Gleicheniaceae* (р. *Gleichenia*), *Matoniaceae* (р. *Matonia*). Встречаются единичные споры мхов (*Sphagnum*), плаунов (*Lycopodium*), плаунков (*Selaginella*).

Сопоставляя спорово-пыльцевые комплексы сеномана и маастрихта, мы видим значительное различие между ними. В сеноманском комплексе основная роль принадлежала споровым растениям. Папоротники семейств *Gleicheniaceae* и *Schizaeaceae*, имевшие максимальное развитие в альбе (С. Б. Куваева, М. М. Алиев, Р. А. Алиев, 1964), продолжают господствовать в сеноманской флоре. В то же время в составе флоры сохранились такие роды, как *Alsophyla*, *Cyathea* и другие представители *Cyatheaceae*, *Coniopteris*, господствовавшие в юрское время. Но споры этих родов встречаются в комплексе спорадически.

Состав хвойных в сеномане по сравнению с альбом резких изменений не претерпевает. Зато появляется совершенно новая группа растений—покрытосемянные, которых в сеномане еще мало, но в поздневерхнемеловое время они приобретают господствующее положение. Характер растительности сеноманского времени свидетельствует о теплых и влажных климатических условиях. На обширных равнинах, под пологом хвойных лесов, существовали благоприятные условия для пышного развития влаголюбивых папоротников (в том числе древовидных); возвышенные участки рельефа были покрыты более ксерофильными группировками, состоящими из хвойных араукарьевого рода (*Classopollis*), немногочисленных папоротников и покрытосемянных.

Из маастрихта Будугского разреза был выделен следующий спорово-пыльцевой комплекс:

споры—*Sphagnum* sp., *Anemia* sp., *Lygodium* sp., *L. subsimplex* Bolch., *Matonia parva* Botsch., *Filicales* ind., *Leiotriletes* sp., *Gleichenia* sp., *G. angulata* Naum., *Dicksonia* sp., *Selaginella rotundiformis* K.—M., *Lycopodium* sp., *Trachytriletes ancoraeformis* Bolch., *Hemitelia* sp., *Cibotium* sp., *Cyathea* sp.

пыльца—*Araucaris* sp., *Pinus* sp., *Platycaria* sp., *Corylus* sp., *Nudopollis* sp., *N. terminalis* Pfl., *N. minutus* Zakl., *Oculopollis prae-dicatus* Weyl. et Krieg., *Extratriporopollenites* sp., *E. argatus* Mart., *Tricolpollenites* sp., *Triatriopollenites* sp., *Angiospermae* ind., *Trudopollis* sp., *T. nonperfectus* Pfl., *T. retigressus* Weyl. et Krieg., *T. hemiperfectus* Pfl., *Classopollis* Pfl., *Anacolosidites* sp., *Picea* sp., *Basopollis* sp.

В маастрихтском комплексе господствует пыльца покрытосемянных, представленная большим числом форм-родов. Преобладание пыльцы *Oculopollis*, *Trudopollis*, *Basopollis*, *Extratriporopollenites* и др., по своему строению напоминающей пыльцу *Myrtaceae*, *Myricaceae*, являющихся ксерофильными субтропическими растениями, указывает на то, что доминирующие типы растительности имели ксерофильный облик. К маастрихтскому времени, т. е. к концу мелового периода,

климат становится сравнительно более засушливым (Е. Д. Заклинская, 1963); возможно, наблюдалось чередование засушливых и влажных периодов. Но наряду с этим существовали растительные группировки, в состав которых входили папоротники, современные родичи которых произрастают в условиях теплого и влажного климата. Таким образом, в маастрихтское время на территории суши был, видимо, субтропический засушливый климат.

Резюмируя вышеизложенное, можно сказать, что сеноманская флора, развивавшаяся в условиях теплого и влажного климата, была близка к флоре мезозоя, а маастрихтская, существовавшая в условиях субтропического засушливого климата—к флоре кайнозоя.

ЛИТЕРАТУРА

1. Заклинская Е. Д. Пыльца покрытосемянных и ее значение для обоснования стратиграфии верхнего мела и палеогена. Труды ГИН, вып. 74. М., 1963.
2. Куваева С. Б., Алиев М. М., Алиев Р. А. Нижнемеловые спорово-пыльцевые комплексы юго-восточного Кавказа и их стратиграфическое значение. Биостратиграфия и палеогеография мезо-кайнозоя нефтегазоносных областей юго-востока СССР. М., 1964.
3. Мархасев З. Б. Спорово-пыльцевые комплексы верхнемеловых отложений Центральных Карабумов. Изв. АН Туркм. ССР, серия физико-техн., хим. и геол. наук, № 5, 1962.
4. Тарасова Л. О. Спорово-пыльцевые комплексы из меловых отложений района Фараб (Восточная Туркмения). Труды ВНИГНИ, XXXVII, 1963.
5. Фокина Н. И. Спорово-пыльцевые комплексы сеномана южного Приаралья. Труды ВНИГНИ, XXXVII, 1963.

Институт геологии

Поступило 1. XII. 1965

М. М. Элиев, Р. Э. Элиев, Н. И. Филин

Бөјүк Гафгазын чәнуб-шәрг һиссәсінин сеноман вә маастрихт спор тозчуглары вә палеонтология шәрайти

ХУЛАСЭ

Чәнуб-шәрги Бөјүк Гафгазын тәбашир чөкүнүләри сәчијәви спор-тозчуг комплексинә маликлар. Бу комплексин зәңкін олмасына баһмајараг, тәгдим едилән саңәдә мөвчуд олан палеонтология шәрайти нағында мұланиязә сөјләмәк үчүн гијметли материаллар верир.

Мәгаләдә Дибрар дағы, Пирсаат вә Тудар ҹайларынын Сеноман чөкүнүләринин вә Гарачај Маастрихт чөкүнүләринин спор-тозчуг комплексләринин тәсвири верилир.

Сеноман вә маастрихттин спор-тозчуг комплексинин мұғајисәси онларын арасында бөյүк фәргин олдуғуны гејд етмәjә имкан верир.

Сеноман комплексиндә әсас ролу спор биткіләри ојнајыр. Айде-шәклиләр Албда максимум инициафа малик олуб, Сеноман флорасында да һөкм сүрмәjә башламышлар. Енни заманда флора тәркибиндә Жура вахтында һөкм сүрән бир сыра чинсләр дә галмышдыр. Сеноманда чохлу мигдарда өртүлүтохумлулар мейдана ҹыхыр. Сеноман дөврүнүн биткі аләминин характеристикалық жағында олмасыны көстәрир. Бу да Мезозој флорасына жаҳын иди. Маастрихт комплексиндә өртүлүтохумлуларын тозчуглары һөкм сүрүр. Бу заман иғлим хејли гуру олур. Күман едилер ки, гуру вә рүтубәтли дөврләрин нөвәләшмәсі гејд олунурмуш. Маастрихт комплекси Каинозој флорасына жаҳын иди.

ГЕОЛОГИЯ

В. З. СИМХАЕВ

**ГИДРОГЕОЛОГИЧЕСКИЕ УСЛОВИЯ НЕФТЕНОСНОСТИ
НИЖНЕМЕЛОВЫХ ОТЛОЖЕНИЙ СЕВЕРНОГО ДАГЕСТАНА**

(Представлено академиком АН Азербайджанской ССР Ш. Ф. Мехтиевым)

При достаточной гидрогеологической изученности Восточного Предкавказья мезозойские отложения Северодагестанской равнины остаются еще не освещенными с энергетических позиций. За последние годы на востоке Прикумской зоны были открыты нефтеносные структуры, имеющие промышленное значение. К ним относятся месторождения: Русский хутор, Южно-Сухокумск, Сухокумск. Сейчас продолжаются поиски новых нефтесодержащих объектов на более погруженной части Прикумской зоны в пределах Северного Дагестана.

До настоящего времени еще никем не давалась гидродинамическая оценка мезозойских отложений рассматриваемых структур. Имеющееся небольшое количество замеров пластовых давлений на начальную дату эксплуатации продуктивных объектов позволило нам выявить некоторые закономерности распределения давлений как по площадям нефтеносных структур, так и по их вертикальному разрезу.

Исследование гидродинамических особенностей мезозойского комплекса отложений проводилось по нижнему мелу.

Следует отметить, что каждый нефтеносный район имеет свою энергетическую характеристику. Причем, на энергетические потенциалы флюида оказывает влияние целый ряд параметров, например, проницаемость коллектора, плотность пород, наличие или отсутствие гидравлической связи пласта, в котором находится флюид, со смежными объектами, газонасыщенность, степень гидрогеологической закрытости и др. И только с учетом всех этих факторов можно дать правильную гидродинамическую характеристику рассматриваемых структур.

По VIII пласту нижнемеловых отложений мы располагаем тремя замерами начальных пластовых давлений. Два из них проводились в скважинах месторождения Русский хутор, а один на Сухокумской площади. Давление, замеренное в скв. № 12 составило 349 атм, а в скв. № 14 оно равно 323 атм. Несмотря на то, что скв. № 14 вскрыла пласт на большей глубине, чем скв. № 12, давление в ней намного меньше (почти равно гидростатическому), чем в скв. № 12. Это явление, с одной стороны, можно объяснить тем, что скв. № 12 рас-

положена в пределах нефтеносной структуры и подавала около $30000 \text{ м}^3/\text{сек}$ газа, т. е. здесь, конечно, определенную роль сыграла газонасыщенность. С другой стороны, отсутствие избыточного давления в скв. № 14 объясняется расположением ее за контуром нефтеносности. Такая закономерность наблюдается на многих месторождениях мира. Однако в направлении к востоку, к Сухокумской структуре, давление снова начинает расти. В скв. № 13 площади Сухокумск давление равно 355 атм. Здесь, как и в скв. № 42 площади Русский хутор, избыточное давление обязано газовому режиму. На южносуходокумской структуре пластовые давления не замерялись. Как видно из изложенного по VIII пласту рассматриваемых поднятий, давление в целом увеличивается от месторождения Русский хутор к Сухокумску.

Величины начальных пластовых давлений IX пл. определялись на всех трех площадях. На месторождении Русский хутор давление замеряли в скв. № 2, где оно составляет 342 атм, в скв. № 7—344, в скв. № 1 оно равно 351,8 атм (см. таблицу). Скважина № 1 располагается в повышенной части структуры (на своде) и подает 50—60 тыс. $\text{м}^3/\text{сек}$ газа. Можно сделать вывод о том, что давление в направлении к контуру нефтеносности уменьшается. Избыточные давления скважин, расположенных на своде структуры, выше, чем приконтурных скважин.

Таблица пластовых давлений нижнемеловых отложений месторождений Северного Дагестана

Скв. Пл.	Русский хутор						Сухокумск		Южно-Сухокумск										
	1	2	7	12	6	14	13	1	5	11	14	16	6	4	7	10	2	.9	12
VIII	—	—	—	349	—	323	355	—	—	—	—	—	—	—	—	—	—	—	—
IX	351,8	342	344	—	—	—	—	360,4	—	356	—	—	354	355	347	354	—	—	354
X	—	—	—	354	—	—	—	—	—	—	—	—	354	355	347	354	—	—	—
XI	—	—	—	—	—	—	—	—	—	—	—	—	—	—	—	—	—	—	—
XII	—	—	—	—	—	—	—	—	—	—	—	—	358	—	370	362	—	—	—
XIII ₁	—	—	—	—	—	—	—	—	—	—	—	—	—	—	—	—	—	—	—

На Южносуходокумском поднятии давление в IX пласте увеличивается. Это подтверждается данными скв. № 14. Здесь начальное пластовое давление равно 356 атм.

Самые высокие пластовые давления по IX пласту были получены в скв. № 1 Сухокумского поднятия. Давление в этой скважине составило 360,4 атм. Как видно энергетический потенциал IX пласта увеличивается к Сухокумску.

Гидродинамическое исследование X пласта проводилось на площадях Русский хутор и Южно-Сухокумск. В основном давления замерялись в скважинах, расположенных на Южносуходокумском поднятии. Анализ имеющихся замеров пластовых давлений показал, что давления, замеренные как на площади Русский хутор, так и в Южносуходокумске равны 354 атм. Из всех замеров отличаются только два: в скв. № 9 пластовое давление равно 367 атм, а в скв. № 7 оно составляет 347 атм.

Несмотря на то, что скв. № 6, 4, 7 и 10 расположены в водоносной части структуры, по ним все равно наблюдаются избыточные давления. Нами это явление объясняется плохими коллекторскими свойствами данного пласта, его весьма большой фациальной изменчиво-

стью и плохой проницаемостью. Проницаемость пласта не превышает 6 мд. Очевидно, степень литификации пород при прочих равных условиях не столько оказывается на наличии избыточного давления как весьма плохая проницаемость коллектора.

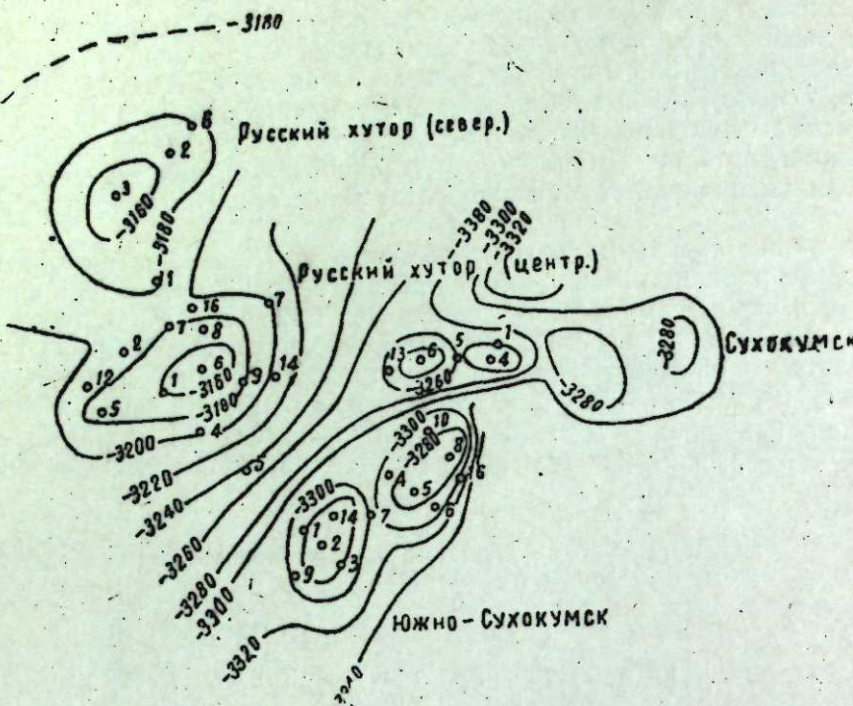


Рис. 1. Структурная карта по кровле X пласта нижнего мела.

XI пласт не подвергался гидродинамическому исследованию. XII пласт испытывался только на Южно Сухокумском поднятии.

Причем, гидродинамические исследования проводились на юго-западном куполе. Мы располагаем тремя замерами по трем скважинам: 2, 9 и 7. Самый большой замер пластового давления в XII пласте был получен в скв. № 2, расположенной на своде юго-западного купола. Скважина помимо жидкости подавала 13000 м³/сек газа. Следовательно, газонасыщенность сыграла определенную роль в повышенном значении пластового давления. Давление в скв. № 2 равно 370 атм, а в скв. № 9 пластовое давление составляет 362 атм. Надо отметить, что скв. № 9 за контуром нефтеносности. Наличие избыточного пластового давления на юго-западном куполе объясняется нами тем, что залежь здесь запечатанная. Дальше, за контуром нефтеносности, в седловине между двумя куполами, давление, замеренное в скв. № 7, равно 358 атм.

Такое значение пластового давления связано с весьма плохой проницаемостью пласта в этой зоне. Как показали исследования, прони-

циаемость XII пласта к северо-востоку сильно уменьшается за счет увеличения глинистого материала. Помимо этого залежь здесь фациально экранирована.

По XIII пласту нижнемеловых отложений отсутствуют замеры пластовых давлений. Здесь исследования не проводились, так как скважины подавали воду с пленкой нефти, вследствие чего они былиозвращены на верхние объекты.

Исходя из вышеизложенного можно понять, что движение вод происходит с юго-востока на северо-запад и что энергетический потенциал флюида увеличивается вниз по разрезу (см. рис. 1, 2).

Институт геологии Госгеокома
СССР (г. Махачкала)

Поступило 14. IV 1965

В. З. Симхаев

Шимали Дағыстанын ашағы тәбашир чөкүнүләринин нефтлилийинин һидрокеология шәранти

ХУЛАСӘ

Мәгаләдә Шимали Дағыстанын нефт-газ структурларынын һидродинамик өјрәнилмәсій мәсәләләринә бағылыры.

Тәдгигат көстәрик ки, флуидләрин енеркетик потенциалы коллекторун қеоложи, вә физики параметрләриндән асылыдыр. Артыг тәзҗигин яраимасына тә'сир көстәрән бир сырға факторлардан башга флуидин газла дојмасы әсас рол ојнајыр. Бә'зи налларда исә қеостатик тәзҗиг, лајын вә флуидин еластиклиji вә башга амилләр дә бөյүк әһәмијәтә малиkdir.

Мүәјжән едилмишdir ки, структурун тағ һиссәсіндә газ шапкасы олдугда, артыг тәзҗиг контурдақындан соҳдур вә экспиңә.

Илк лај тәзҗигләринин анализи көстәрик ки, Јералты суларын һәрәкәти чәнуб—чәнуб-шәргдән шимал—шимал-гәрб истигамәтindәдир.

Флуидин енеркетик потенциалы кәсилиш үзрә ашағы артыр.

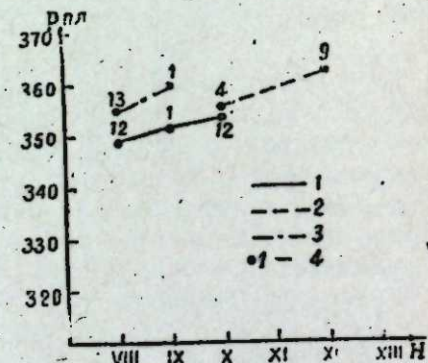


Рис. 2 Изменение пластового давления по разрезу:
1—Русский хутор; 2—Южно-Сухокумск; 3—Сухокумск; 4—номер скважины

ГЕОЛОГИЯ

Ж. Н. ТЕР-КАРАПЕТЯНЦ

О НЕЙТРАЛЬНОМ ИЛИ ГЕЛИОТЕРМИЧЕСКОМ СЛОЕ
АПШЕРОНСКОГО ПОЛУОСТРОВА

(Представлено академиком АН Азербайджанской ССР [М. В. Абрамовичем])

Знание температуры и глубины расположения нейтрального слоя необходимо для подсчета средней величины геотермической ступени всего интервала глубин.

Со времен Д. В. Голубятникова исследователи, как правило, при подсчете средней геотермической ступени всего интервала глубин для Апшеронского полуострова ошибочно пользовались среднегодовой температурой воздуха, считая ее за температуру нейтрального слоя (14°C).

По аналогии с другими районами со сходными климатическими условиями [5] глубина нейтрального слоя принимается равной 10 м. Та же глубина гелиотермического слоя теоретическим путем получена в работе [3].

С целью экспериментального определения истинной глубины нейтрального слоя, его температуры и характера изменений температуры с глубиной в пределах зоны годовых колебаний нами были произведены поинтервальные замеры температур в ряде долгопротяжающих (несколько лет) скважин Апшеронского п-ва.

Кроме того, нами обработан температурный материал управления Гидрометеорологической службы Азерб. ССР по станциям Апшеронского п-ва за период 1959—1962 гг.

Произведенная нами обработка данных замеров температур гидрометстанции Маштаги показывает, что максимальная глубина суточных колебаний температуры достигает 80 см.

Амплитуда годовых колебаний температуры больше, чем амплитуда суточных колебаний. Поэтому ясно, что и зона годовых колебаний температуры будет глубже зоны суточных колебаний.

Из представленной таблицы, полученной в результате обработки данных температур гидрометстанций видно, что среднегодовая температура с глубиной имеет тенденцию к уменьшению. При этом среднегодовая температура в Баку за один и тот же период больше, чем в Маштагах.

По начальным датам каждого месяца за период 1959—1962 гг. по станциям Баку и Маштаги нами были построены кривые от глубины 0,8—3,2 м.

При рассмотрении этих кривых видно, что в разрезе года в начальные месяцы (январь—март) температурные кривые имеют или прямую, или выпуклую форму относительно оси глубин. Начиная с апреля, выпуклая форма температурных кривых переходит в вогнутую, сохраняя ее до августа—сентября с последовательным увеличением значений температур. После этого периода кривые выпрямляются и, приобретая затем вновь выпуклую форму, перемещаются в направлении наименьших зимних температур.

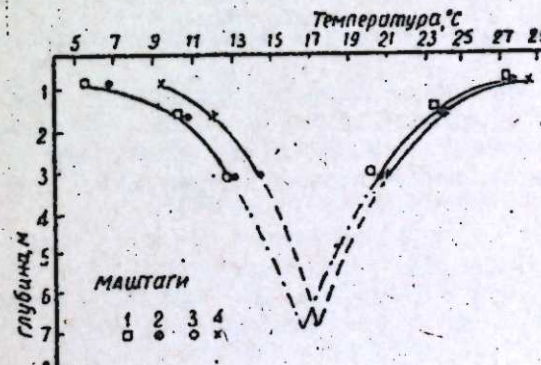
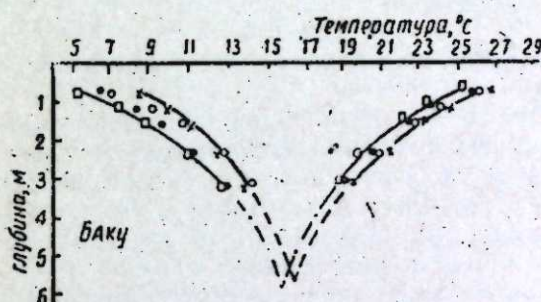
Глубина, м	0,8	1,2	1,6	2,4	3,2
Год					

Маштаги

1959	15,4	15,5	15,5	15,2	15,8
1960	16,3	16,2	16,1	—	16
1961	16,7	16,8	16,8	16,7	16,7
1962	—	16,8	—	16,7	16,6

Баку

1960	17,5	—	16,9	—	16,7
1961	—	—	17,6	—	17,6
1962	—	—	17,8	—	17,6



1, 2, 3, 4—температура в 1959—1962 гг.

температура в Баку меньше, чем в Маштагах и начало нейтрального слоя в Баку будет располагаться несколько выше, чем в Маштагах.

С целью ориентировочного определения местоположения начала глубины нейтрального слоя, нами на рисунке представлены макси-

мумы температур за период 1959—1962 гг. Из приведенных кривых видно, что изменения температур с глубиной в сериях кривых по годам имеют коническую форму, суживающуюся с глубиной. Такое сближение температурных кривых произойдет до начала глубины нейтрального слоя, где все кривые сольются в одну, неизменную в годовом разрезе.

Из кривых видно, что для одних и тех же глубин амплитуды колебаний температур в Баку меньше, чем в Маштагах и начало нейтрального слоя в Баку будет располагаться несколько выше, чем в Маштагах.

мальные и минимальные температуры от глубины 0,8 до 3,2 м по гидрометстанциям Баку и Маштаги за период 1959—1962 гг.

Максимальные и минимальные значения температур для каждой глубины определяют амплитуды колебаний. Учитывая это, а также то, что амплитуда колебаний температуры уменьшается с глубиной до начала нейтрального слоя, где она становится практически равной нулю, экстраполяция всех максимумов и минимумов температур (соответственно правая и левая ветви фиг.) до их взаимного пересечения должна дать нам начало и температуру нейтрального слоя.

Из рисунка видно, что по данным гидрометслужбы сезонные колебания температур почвы прекращаются на глубине 6—7 м, т. е. начало глубины нейтрального слоя для Баку составляет 6 м, для Маштагов—7 м.

Кроме того, из рисунка следует, что температура нейтрального слоя за период 1959—1962 гг. колебалась от 15,5 до 16,5°C для Маштагов и от 16,5 до 17,5°C для Баку. Исходя из этого, в среднем температуру нейтрального слоя следует считать 16,5°C.

Представленные в таблице среднегодовые температуры показывают, что их среднеарифметическое значение на глубине 3,2 м за период 1959—1962 гг. по Маштагам и Баку составляло 16,7°C. Если же учесть, что с глубиной, согласно таблице, отмечается тенденция к уменьшению среднегодовых температур, то температура нейтрального слоя 16,5°C на глубине 7 м приобретает еще большую реальность.

Для выяснения характера изменения температур с глубиной в поверхностном слое (нейтральный слой и выше него) нами в 1962—1964 гг. в долгопротяжных скважинах Апшеронского п-ва по месторождениям Бузовны (скв. 119), Раманы (скв. 833), Зыря (скв. 15) были непосредственно произведены тщательные поинтервальные замеры температур.

Замеры показывают, что глубже 7 м отсутствует изменение температуры с глубиной, а это указывает глубину расположения нейтрального слоя. Данная величина весьма близка к экстраполированным температурным данным гидрометстанции Баку и идентична с Маштагами.

Поинтервальные замеры температур показывают, что от 7 до 14—15 м температура остается практически неизменной.

С глубины 14—15 м отмечается незначительное нарастание температур.

Таким образом, интервал глубин 7—14—15 м отвечает мощности зоны нейтрального слоя.

Следует отметить, что сопоставление значений температур, измеренных "вытяжными" [4] термометрами гидрометслужбы со значениями температур, полученных нами в скважинах, показывает при одной и той же дате замера повышенное значение температур в последних.

Кроме того, замеры температур, произведенные по ряду скважин Апшеронского п-ва в разные периоды года, показывают отсутствие совпадения температур в нейтральном слое (скв. 119, 833; 15), а также значительное колебание температуры в гелиотермической зоне от 16 (скв. 15) до 21°C (замер IX—63 в скв. 119).

Подобное явление мы связываем с теплопроводностью столба жидкости в скважине в результате сезонных колебаний температур. В этом отношении характерно, что замеры температур, произведенные в зимний период в скв. 15 показали температуру в нейтральном слое 16°C, более близко совпадающую со средней температурой нейтрального слоя (16,5°C), определенной экстраполяцией максимумов и минимумов температур (рисунок).

Влияние теплопроводности колонны и заполняющей ее жидкости сказывается на определении глубины расположения начала нейтрального слоя. В зависимости от времени (сезонности) производства поинтервальных температурных замеров изменяется глубина расположения начала нейтрального слоя.

Глубина расположения начала нейтрального слоя в сентябре—октябре будет достигать наибольшего значения, что подтверждается нашими замерами.

Таким образом, из изложенного следует, что при температурных замерах в скважинах, ввиду теплопроводности колонны и заполняющей ее жидкости, температура и глубина залегания начала нейтрального слоя не постоянны.

Основываясь на том, что температура нейтрального слоя в среднем составляет 16,5°C, а также учитывая, что среднегодовая температура воздуха на Апшеронском п-ве варьирует в пределах 13,5—14,5°C [2], надо признать, что температура нейтрального слоя на Апшеронском п-ве превышает среднегодовую температуру воздуха на 2—3°C.

Это является следствием того, что атмосфера поглощает лишь малую долю поступающей в нее солнечной энергии (1/4 часть) [1] и солнечными лучами нагревается незначительно. Большая часть (3/4) энергии солнечной радиации [1] проходит свободно до земной поверхности и нагревает ее, а нагретая поверхность почвы затем передает часть этого тепла воздуху, т. е. тем самым земная поверхность является источником, нагревающим атмосферу, особенно ее нижние слои.

Выводы

1. Среднегодовая температура нейтрального слоя для Апшеронского п-ва составляет 16,5°C и превышает среднегодовую температуру воздуха на 2—3°C. 2. Мощность зоны нейтрального слоя составляет примерно 8—9 м с глубины 6—7 м [до глубины 14—15 м].

ЛИТЕРАТУРА

1. Будыко М. И. Тепловой баланс земной поверхности. Гидрометеониздат. Л., 1956. 2. Климатологический справочник СССР, вып 15 по Азерб. ССР и Дагестанской автономной ССР. Баку, 1949. 3. Копелинович С. К. Термический режим почв Азерб. ССР. Дисс. работа. 1953, Баку, Фонд Гидрометслужбы. 4. Костин С. И. Основы метеорологии и климатологии. Изд. III. М., 1955. 5. Мехтиев Ш. Ф. Геотермические наблюдения максимальным термометром. АНХ, №2—3. 1946.

Институт проблем глубинных нефтегазов их месторождений.

Поступило 7 VII 1964

Ж. Н. Тер-Карапетянс

Апшерон јарымадасынын нејтрал гатын һаггында

ХУЛАСЭ

Азәрбајҹан ССР һидрометеорологи Хидмәт Йадарәсийин температур һаггында вердији мә’лumatы ишләмәк әсасында тапылмышлыр Бакыда нејтрал гатын башланғычы 6 м дәринлийндә, Маштагада 7 м дәринлийндә јерләшир. Нејтрал гатын орта иллик температуру 16,5°C тәшкил едир вә Апшерон јарымадасында һаванын орта иллик температурундан 2—3°C артыг олур.

Узун мүддәт дајамыш гујуларда температурин мүәјјән/интерваллардан өлчүлмәси көстәрир ки, температурин гијмәти мајенин истилеккечи рәмә габилијјәтиндән асылыдыр. Мүәјјән интерваллардан температур өлчмәләринин 6—7 м дәринликтән 14—15 м дәринлијә гәдер сабит олмасы нејтрал гатын 8—9 м галыныға малик олдуғуну көстәрир.

СТРАТИГРАФИЯ

Р. А. ХАЛАФОВА

НОВЫЕ ВИДЫ ИНОЦЕРАМОВ ИЗ СЕНОНСКИХ ОТЛОЖЕНИЙ
ДАГЕСТАНА

(Представлено академиком АН Азербайджанской ССР А. А. Ализаде)

Отложения сенонского возраста в Дагестане, наряду с общеизвестными видами, содержат большое количество новых иноцерамов. Ряд из них был описан С. А. Добровым, М. М. Павловой и другими авторами.

В настоящей статье приводится описание 3 новых видов иноцерамов, найденных в плотных серых, белесовато-серых известняках верхнекампанийского возраста и желтовато-серых пелитоморфных известняках сантон, выходящих на поверхность в Северном и Горном Дагестане.

Inoceramus costaeetus * Chalaphova sp. nov.

Таблица, рис. 1.

Голотип. АЗИНЕФТЕХИМ, № 17/1, Даг. АССР, р-з Герга.

Верхний кампан.

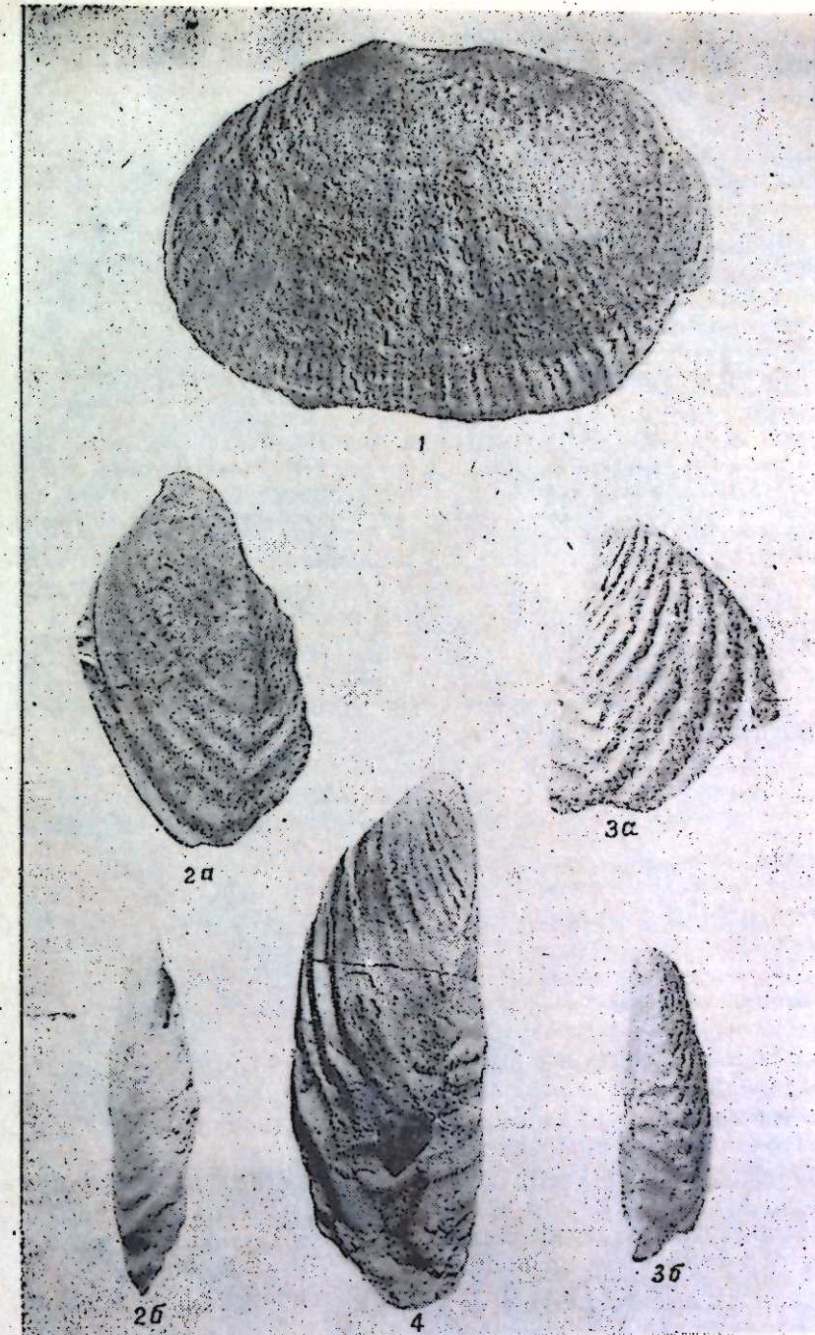
Описание. Раковина округло-овальной формы, вытянутая в заднебрюшном и слабее в переднебрюшном направлениях, за счет чего длина ее значительно превышает высоту.

Почти плоская, равносторчатая, слабонеравносторонняя.

Передний край дугообразный, плавно переходит в непровисающий брюшной край, вблизи макушки слабовогнутый, за счет чего последний рельефно выделяется на раковине. Задний край уплощенный, округлый. В передней и брюшной частях раковина образует четкий цоколь, который к заднему и середине переднего края совершенно сглаживается. Смычной край прямой длинный, плавно переходит в задний край. В задней части раковины имеется узкое, нерезко ограниченное треугольное крыло. Менее развитое крыло наблюдается в передней части.

Поверхность створки несет на себе 2 серии скульптуры. Вблизи макушки она покрыта невысокими, часто расположеннымми гребневы-

* *Costaeetus* ребристый.



Табло

Рис. 1. *Inoceramus costaeetus* R. Chalaphova sp. nov. Голотип. Несколько уменьшен. Даг. АССР, р-з Герга. Верхний кампан.

Рис. 2. *Inoceramus eldamensis* R. Chalaphova sp. nov. Голотир. Р-з Эльдама, сантон.

2 а—внешний вид левой створки; 2 б — то же со стороны заднего края.

Рис. 3. *Inoceramus eldamensis* R. Chalaphova sp. nov. 3 а—правая створка, оттуда же; 3 б — вид со стороны заднего края.

Рис. 4. *Inoceramus subeldamensis* R. Chalaphova sp. nov. Голотип. Р-з Эльдама, сантон, левая створка.

ми обводками, которые к брюшному краю расширяются, становятся менее рельефными и "забиваются" радиальными ребрами. Радиальная скульптура более хорошо развита в брюшной части раковины и представлена часто расположеными резкими гребнями. Иногда между ними заметны более широкие нерельефные ободки. К переднему и заднему краям некоторые радиальные ребра резко выклиниваются, другие взаимно сливаются и выполаживаются. Цоколь несет на себе следы тонкой радиальной штриховатости. Концентрическая скульптура сильно сглаженная, переходит на крыло и при пересечении с радиальной образует резкие бугорки. Макушка маленькая, слабо загнувшая, нависающая над узкой неразвитой ареей.

Передне-замочный угол 130°.

Размеры, мм: длина 90–115 (1,00), высота 60–70 (0,6–0,65), толщина 11–15 (0,1–0,13).

Сравнение. Описываемый вид наиболее близок к *Inoceramus zittelyi* Kos. [2] по скульптуре створки. Отличается тем, что имеет более вытянутую раковину.

Несколько похож на описываемый вид *In. alaeformis* Zek. [3] по вытянутости раковины и наличию радиальной скульптуры. Отличия заключаются в том, что раковина у описываемого вида вытянута в двух направлениях и радиальная, более рельефная скульптура преобладает над концентрической. С *In. buguntaensis* Dobr. [1] описываемый вид имеет сходную форму раковины, вытянутую в 2-х направлениях, уплощение ее в передней и задней частях и аналогичную концентрическую скульптуру примакушечной части створки.

Местонахождение и возраст. Разрез Герга, из слоев совместно с *Inoceramus alaeformis* Zek., *Hauericeras fayoli* Gross., *Ornithaster alaepliensis* (Lamb.), указывающими на их верхнекампанийский возраст.

Материал. 10 целых раковин

Inoceramus eldamensis * Ghalaphova sp. nov.

Таблица, рис. 2 а, б, 3 а, б

Голотип. АЗИНЕФТЕХИМ, № 15/1, Даг. АССР, р-з Эльдама, Сантон.

Описание. Раковина уплощенная, вытянутая в задне-брюшном направлении, причем угол между наибольшей вытянутостью створки и замковым краем около 10°. Правая створка более широкая и имеет некоторые морфологические отличия.

Передний край прямой, у правой створки иногда слабоокруглый, небольшой, довольно плавно переходит в сильно вытянутый в заднем направлении брюшной край. Смычной край небольшой. Крыло узкое, длинное, ограниченное от створки килевидным поднятием, у правой створки менее выраженным. Переход к брюшному краю постепенный.

Поверхность скульптирована резкими асимметричными гребнями с осями, сильно смещенными в задне-брюшном направлении. В брюшной части раковины они выражены более значительно, причем несколько гребней у самого брюшного края имеют заднебрюшные склоны почти перпендикулярные, а спинные склоны почти параллельные плану створки, от чего эта часть раковины имеет ступенчатый облик. К макушке они несколько выполаживаются и сближаются. Иногда вблизи переднего края некоторые гребни выклиниваются. Вся скульптура у переднего края резко обрывается и на последний не переходит. От

* *Eldamensis* назван по нахождению в р-не сел. Эльдама.

макушки через всю поверхность створки прослеживается ясный киль, несколько смещенный к заднему краю, вблизи которого наблюдается четкая радиальная бороздка. Наличие этих элементов радиальной скульптуры сильно изменяет облик концентрических гребней. В этой части они дважды, иногда трижды, преломляются. Угол между килем и смычным краем с ростом раковины возрастает от 0 до 25–35°, при пересечении с ним гребни резко загибаются к макушке, переходят на крыло и вблизи смычного края обрываются. Кроме того, раковина несет на себе еще одну, реже несколько, радиальных бороздок, идущих почти параллельно переднему краю.

Макушка терминальная сильно загнутая небольшая, нависающая над хорошо развитой треугольной ареей.

Передне-замочный угол 85–90°.

Размеры, мм: длина 58–62 (1,00), высота 33–35 (0,55–0,6), толщина 9–10 (0,15).

Сравнение. Наиболее близок к описываемому виду *Inoceramus azerbaydjanensis* Aliev [1], который отличается более извилистым брюшным краем, менее загнутой макушкой и более широким крылом.

По наличию задней радиальной борозды описываемый вид приближается к *In. lesginensis* Pavl. [1], отличаясь от последнего формой раковины и иным строением концентрических гребней.

Месторождение и возраст. Разрезы Эльдама, Верхний Джегужай, Сулак, отложения сантонского возраста, найдены совместно с *Inoceramus cardiformis* Sow., *In. lesginensis* Pavl. и др.

*Inoceramus subeldamensis** Chalaphova sp. nov.

Таблица, рис. 4.

Голотип. АЗИНЕФТЕХИМ, № 15/2, Даг. АССР, р-з Эльдама. Сантон.

Описание. Раковина сильно вытянута в заднем направлении, так что длина в 2 раза превышает высоту, слабовыпуклая, почти равносторчатая, резко неравносторонняя. Брюшная часть раковины нарастает к более выпуклой спинной под нерезким углом и ясно отчленяется от последней. Передний край небольшой, составляет сглаженный тупой угол с брюшным. Задний край прямой, длинный. Крыло удлиненное, нечеткое, отчленяется от створки радиальным ребром, выполаживающимся к брюшному краю.

Поверхность створки скульптирована в спинной части невысокими узкими гребнями, сильно выполаживающимися вблизи макушки. К переднебрюшной части гребни становятся более рельефными и раковина здесь имеет ступенчатый облик. Брюшная часть раковины несет на себе невысокие ободки, быстро выклинивающиеся к переднему краю. Последний никакой скульптуры не имеет.

Кроме концентрической скульптуры, раковина несет на себе 1 радиальное ребро и 2 радиальные бороздки.

Макушка небольшая загнутая терминальная, нависающая над широкой ареей.

Передне-замочный угол около 90°.

Размеры, мм: длина 86–100 (1,00), высота 34–46 (0,4), толщина 17–20 (0,2).

* *Subeldamensis* назван по сходству с *Inoceramus eldamensis* sp. nov.

Сравнение. От вышеописанного *Inoceramus eldamensis* sp. nov. данный вид отличается большей удлиненностью створки, отсутствием резкого киля, несколько отличным расположением радиальных бороздок.

Местонахождение и возраст. Сантонские отложения Северного Дагестана.

Материал. 5 раковин.

ЛИТЕРАТУРА

1. Атлас верхнемеловой фауны Северного Кавказа и Крыма. Труды ВНИИГАЗ, М., 1959.
2. Коюбинский. С. П. Иноцерами крейдових відкладів Волине—Подільської плити (на укр. яз.). Киев, 1958.
3. Zekeli Z. Das Genus *Inoceramus* und seine Verbreitung in der Gosaugebilden der östlichen Alpen. Berlin, 1852.
4. Zittel K. Die bivalven der Gosaugebilde in den Nordöstlichen Alpen. Denkschr. mathem.—naturwiss. classe., Bd. XXIV, 1864—1866.

ЛЗИНХ

Поступило 6. VI 1964

Р. Э. Хэлэфова

ДАҒЫСТАНЫН СЕНОН ЧЕКҮНТҮЛЭРИНДӘН ИНОСЕРАМЛАРЫН БӘ'ЗИ ЈЕНИ НӨВЛӘРИ

ХҮЛАСӘ

Мәгаләдә Дагыстан МССР-ин Герга кәсилишинин Кампан чекүнтуләриндән тапылан иносерамларын бир жени нөвүнүн—*Inoceramus costaecus* R. Chalaphova sp. nov. вә Елдама, Жухары Чангутај, Сулак кәсилишләринин Сантон чекүнтуләриндән ики жени нөвүн—*Inoceramus eldamensis* R. Chalaphova sp. nov. вә *In. subeldamensis* R. Chalaphova sp. nov. тәсвири верилмишdir. Һәмин чекүнтуләрин яши ичәрисиндә тапылан зәнкин фаунаја әсасән тә'жин едилмишdir.

АЗӘРБАЙЧАН ССР ЕЛМЛӘР АКАДЕМИЯСЫНЫН МӘРУЗӘЛӘРИ
ДОКЛАДЫ АКАДЕМИИ НАУК АЗЕРБАЙДЖАНСКОЙ ССР

ТОМ XXII

№ 2

1966

ПОЧВОВЕДЕНИЕ

А. П. ГЕРАЙЗАДЕ

О ЗАВИСИМОСТИ ПРИРОСТА РАСТИТЕЛЬНОЙ МАССЫ ОТ ПОЧВЕННО-КЛИМАТИЧЕСКИХ УСЛОВИЙ

(Представлено академиком АН Азербайджанской ССР В. Р. Волобуевым)

Вопросы фотосинтеза давно привлекают внимание многих ученых разных направлений. Наибольшее значение в расшифровке факторов фотосинтеза имеют биология, химия и физика. Фотосинтез является как бы стыком трех этих наук. Необходимо выяснить связь между природными условиями и фотосинтезом.

В последнее время в качестве руководящего принципа экологических исследований выдвигается энергетическая трактовка трофических взаимоотношений компонентов экосистемы. Эти представления нашли применение в конкретных экологических работах зарубежных и советских авторов. На их основе высказаны общие положения, касающиеся условий максимальной эффективности использования энергии экосистемой и максимальной производительности ее, а также сделаны первые попытки применения представлений кибернетики к природным экосистемам.

Иванов одним из первых [5] определил связь между фотосинтезом и урожаем

$$M+m=fPT-aP_1T_1 \quad (1)$$

где: M —сухой вес всего растения за учитываемый период без учета азота и золы;

m —вес отпавших за это время частей;

f —интенсивность фотосинтеза;

P —рабочая поверхность или масса;

T —рабочее время;

a —интенсивность дыхания;

P_1 —дышащая масса;

T_1 —время дыхания.

Величину fPT Л. А. Иванов определяет как продуктивность фотосинтеза и считает, что она является главной, определяющей размеры урожая.

Как видно из формулы (1), для того, чтобы увеличить урожай, необходимо довести листовую площадь до оптимального значения.

За последние годы в биологии особенный интерес приобретает «энергетическое представление» процессов. В этом направлении работают ученые зарубежных стран, а также и Советского Союза.

Для определения общего запаса лесного насаждения, измеряемого, объемом его наземной части к единице площади „ V “ Г. Ф. Хильми [6] используя теорию размерностей, теоретически вывел формулу

$$V = A - (A - V_0) L^{-B(1-t)} \quad (2)$$

$$A = \frac{\lambda}{\beta}; \quad B = C \cdot \frac{\beta}{\gamma},$$

где: λ —световой поток (количество осредненной по времени физиологической радиации прямой и рассеянной, падающей в единицу времени на единицу площади);

β —количество энергии, необходимое для поддержания жизнедеятельности единицы запаса насаждения;

γ —количество энергии, необходимое для увеличения запаса насаждения на единицу;

t_0 —в возрасте насаждения, когда кроны достаточно сомкнуты;

C —безразмерная постоянная;

V_0 —общий запас при возрасте насаждения равном t_0 ;

t —в возрасте насаждения в отчитывающийся период.

Эта формула позволяет по состоянию насаждения в начале периода полного поглощения физиологической радиации предвидеть, каким будет запас насаждения в дальнейшем. Однако в настоящее время практически этой формулой пользоваться невозможно, так как конкретных значений параметров A и B эта теория не дает.

Для определения энергии, накопившейся в массе биоценоза, в полупустынных и степных зонах, В. Р. Волобуев [4] предложил формулу, эмпирически выведенную путем сопоставления годичного прироста растительной массы в разных климатических условиях:

$$V = RL - \frac{49 R^{0.61}}{P} \left(1 - t - \gamma \frac{R^{2.67}}{P} \right), \quad (3)$$

где: R —радиационный баланс;

P —количество осадков (без стока);

γ —коэффициент, различный для разных зон;

t —биологическая активность;

e —основание натуральных логарифмов=2,73

Представляло большой интерес проверить репрезентативность формулы (3). Для этой цели были использованы гидроклиматические данные и данные по биомассам, найденные С. Алиевым в итоге исследований на восьми стационарах, расположенных в разных зонах Азербайджана [1, 2]. На основании данных, по динамике растительных и водных запасов строились графики (см. рис. 1 и 3). Затем из этих графиков методом, предложенным В. Р. Волобуевым [3], аналитически строились графики прироста и расхода растительной массы и ход запаса влаги по месяцам (см. рис. 2 и 4), а также, используя данные об осадках, находилось количество испаряющейся влаги (рис. 4).

Энергия фотосинтеза находилась из расчета, что на 1 г продукта фотосинтеза расходуется 3750 кал. А энергия, израсходованная на испарение, находилась из скрытой теплоты испарения, равной при 20°C 580 кал/г.

В табл. 1 приведены значения энергии, накопившейся в растительном биоценозе, вычисленные по формуле (3) и найденные из расчетов по экспериментальным данным.

Анализ данных таблицы показывает хорошее согласие между значениями V , вычисленными по формуле (3) и найденными из результатов экспериментальных данных.

Относительная погрешность V вычисленная по формуле от экспериментально найденной составляет для всех случаев в среднем $\pm 14\%$. Только в двух случаях отклонение составляет более $\pm 20\%$, что объясняется невысокой точностью экспериментальных данных, а также различными природными случайностями.)

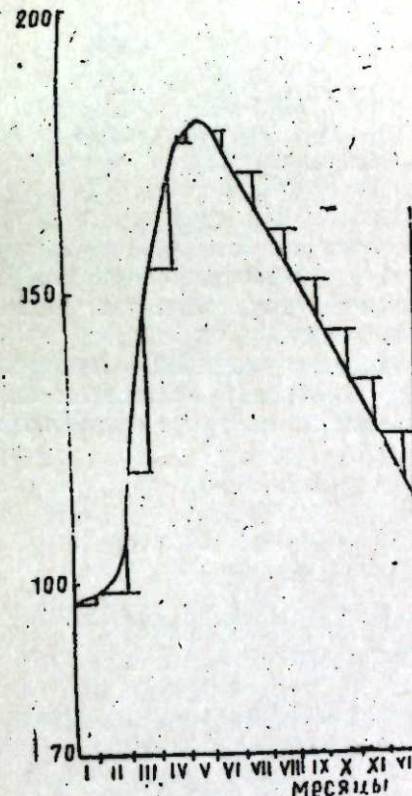


Рис. 1. Динамика накопления и разложения растительной массы

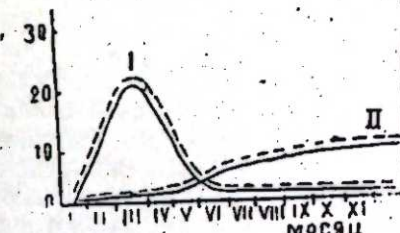


Рис. 2 Кривые прироста и разложения растительной массы:
I—кривая прироста растительной массы, согласно кривой на рис. 1. (пунктиром показан общий вероятный прирост растительной массы с учетом разложения ее); II—кривая разложения растительной массы, согласно кривой на рис. 1 (пунктиром показан общий вероятный ход разложения растительной массы с учетом хода ее накопления)

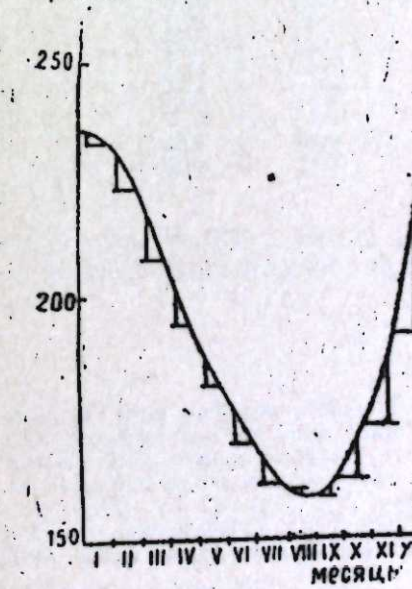


Рис. 3. Динамика запасов влаги в почве

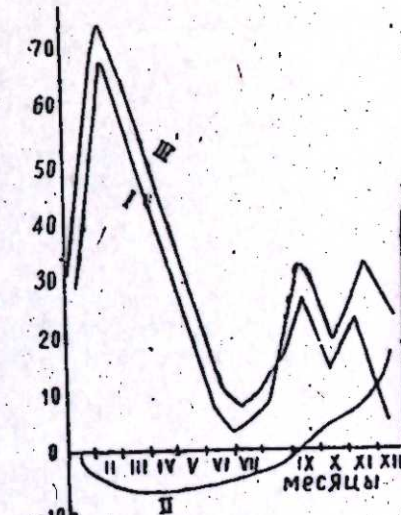


Рис. 4. Кривые водных запасов:
I—кривая атмосферных осадков; II—кривая запасов влаги в почве; III—кривая суммарного расхода влаги на испарение и транспирацию.

Таблица 1

Стационари.	(Вычисл.)	(Экспер.)	Относит. погрешн.
Кедабек	0,515	0,618	+16
Шемаха (Сагиан)	0,286	0,347	+17
Геокчай	0,352	0,408	+12
Аштерон	0,328	0,300	-9
Шемаха (Матраса)	0,320	0,255	-25
Сальяны (Али-Байрамлы)	0,329	0,326	-0,9
Вост. Ширван	0,284	0,307	+8
Ахсу	0,305	0,480	+26

Ценность формулы (3) также и в том, что по ней можно вычислить оптимальное значение осадков (P) для данной термозоны, обеспечивающее наивысшую биологическую продуктивность, тем самым определить и необходимую оросительную норму.

Располагая экспериментальными данными о годичном приросте растительной массы можно по формуле (3) вычислить t и затем найти полноту использования рационального баланса по ранее предложенной В. Р. Волобуевым [3] формуле:

$$a \equiv e^{-\frac{1}{mk}}$$

В табл. 2 приведены значения a , вычисленные по формуле (4) и найденные из экспериментальных данных.

Таблица 2

Стационарн.	<i>a</i> (Вычисл.)	<i>a</i> (Экспер.)
Кедабек	0,68	0,64
Шемаха (Сагиан)	0,46	0,71
Геокчай	0,46	0,57
Апшерон	0,14	0,32
Шемаха (Матраса)	0,46	0,61
Сальяны (Али-Байрамлы)	0,14	0,27
Вост. Ширван	0,23	0,38
Ахсу	0,37	0,55

Все это дает основание полагать, что формула (3) отражает существенные зависимости фотосинтетической продуктивности растительных сообществ от условий среды.

ЛИТЕРАТУРА

1. Алиев С.А. Содержание и динамика органического вещества почв Азербайджана. Азернешр, 1960. 2. Алиев С.А. Органическое вещество и плодородие почв Азербайджана. Азернешр, 1964. 3. Волобуев В.Р. Экология почв. Изд. АН Азерб. ССР, 1963. 4. Волобуев В.Р. О закономерностях энергетики почвообразования. Докл. к VIII международному конгрессу почвоведов, 1964. 5. Иванов Л.А. Фотосинтез и урожай. Сб. работ по физиологии растений пам. К. А. Тимирязева. Изд. АН СССР, 1941. 6. Хильми Г.Ф. Теоретическая биогеофизика леса. Изд. АН СССР, 1957.

А. П. Кәрајзада

**Битки күтләсінин торпаг-иглем шәрәиттіндән асылы
олараг артма асылылығына даир**

ХҮЛАСЭ

Сон заманлар биолокија елминдә фотосинтез процессләринин изалында “енержи тәсәррүфаты” мүәјжән әһәмијәт кәсб едир. Бу процессләри тәдгиг едәркән Л. А. Иванов илк дәфә олараг фотосинтез иләмәһе сулдарлыг арасында асылылығы (1) көстәрмишdir. Даһа соңralар һөлеми нәзәри олараг мешә биткиләринин јерүстү һиссәсинин валинд саһәjә көрә үмуми битки еһтијатыны тә'жин етмәк үчүн дүстур (2) вермишdir. Лакин дүстурда верилән *A* вә *B* қәмијәтләrinи нәзәри олараг тә'жин етмәк һәләлик мүмкүн олмадыбына көрә дүстурдан истифадә етмәк чәтинлик төрәдир.

Дана сонралар сәһра вә йарымсәһра зоналарын биосенозунун үмуми күтләсіндә топланмыш енержиниң тәјін етмәк үчүн В. Р. Волобуев хүсуси (3) дүстүр вермишдир. Бу дүстүр мұхтәлиф иглім шәраттіндә битки күтләсінин иллік артымының мұғајисәләндірілмәсі нәтижесіндә әлдә едилмишдир. Верилмиш дүстүрун доғрулуғында вә һәгигетә нә гәдәр уйған олдуғын жохламағ тәддигатымызын әсас мәсәләсі кими гарышда дурурду. Она көрә Азәрбајҹаның мұхтәлиф зоналарында Јерләшмиш сәkkiz стационарлы һидроклиматоложи вә биокүтләви рәгемләриндән истифадә едәрәк тәддигат иши апарылмышдыр. Бириңи чәдвәлдә битки биосенозунда топланмыш енержинин формулдан истифадә едәрәк тапылмыш кәмијјәтләринин тәчрүбәви үсулла тәјін едилмиш кәмијјәтләрлә мұғајисәси верилмишдир.

Чәдвәлдә көстәрилән рәгәмләр мүгајисә едиңдикдә айдын олур ки, дүстур илә несабланмыш *V* кәмијәти илә тәчрубыи үсулла несабланмыш кәмијәтләр арасында йаҳшы уйғунашма вардыр. Тәдгигатымыз көстәрир ки, верилмиш дүстур мүэjjән шәраитдә фотосинтез процессиндән асылы олараг битки групларының артымыны дүзкүн экспертизир.

АГРОХИМИЯ

Д. РАСУЛОВ

ПОТРЕБЛЕНИЕ ПИТАТЕЛЬНЫХ ЭЛЕМЕНТОВ
КАРТОФЕЛЕМ ПО ФАЗАМ РАЗВИТИЯ

(Представлено академиком АН Азербайджанской ССР Г. А. Алиевым)

Большое значение в подъеме урожая картофеля и повышении его качества имеет изучение условий питания картофеля в различные периоды его развития.

Выявление потребности растений картофеля в питательных элементах в различные периоды его развития дает возможность построить систему питания и удовлетворить потребность растений в питательных веществах, таким образом добиться высшей продуктивности.

К. А. Тимирязев [2] указывал, что для обеспечения урожая нужно „прежде всего, конечно, знакомство с потребностями растений и умение их удовлетворить, а затем уже—изыскание наиболее выгодных условий разрешения этой задачи при помощи средств, имеющихся под рукой.“

Как известно, картофель потребляет значительно больше питательных элементов из почвы, чем, например, все зерновые, многолетние и однолетние травы, но обычно меньше, чем сахарная и кормовая свекла.

Большая отзывчивость картофеля к элементам питания связана со слаборазвитой корневой системой и большой его продуктивностью.

Потребление питательных элементов картофелем нами изучалось в вегетационных и полевых опытах путем листовой диагностики.

Динамика потребления питательных элементов картофельным растением проводилась в предгорной зоне на горном выщелоченном черноземе и в горной зоне на горно-луговой—черноземовидной почве Дагестанской АССР. Из рисунка видно, что потребление питательных элементов из почвы картофелем начинается в самом начале его вегетации.

Установлено, что потребление картофелем азота происходит в период появления всходов, причем в это время азота потребляется больше, чем фосфора, но меньше, чем калия.

Аналогичная закономерность в изучаемых почвах обнаружена и в полевых условиях.

Следует отметить, что на горном черноземе в период всходов азот более активно усваивается растением картофеля, чем в горно-луговой черноземовидной почве.

В фазе бутонизации картофеля усвоение азота в обоих типах почв постепенно увеличивается.

В горно-луговой черноземовидной почве процесс усвоения азота протекает более оптимально, чем на горном выщелоченном черноземе и достигает наивысшего содержания его, тогда как в горном черноземе еще продолжается интенсивное потребление азота.

В фазе цветения картофеля усвоение азота в горном черноземе увеличивается и достигает наибольшего количества, тогда как в горно-луговой черноземовидной почве количество азота уменьшается по сравнению с фазой бутонизации картофеля.

Характерно, содержание азота в листьях и черешках в конце вегетации на обоих типах почв резко снижается, что, по-видимому, связано с отмиранием ботвы и частичным перемещением его из ботвы в клубни.

Известно, что при недостатке фосфора растения развиваются медленнее, листья приобретают тусклый зеленый оттенок, созревание картофеля в этом случае сильно задерживается, урожай снижается, образуются менее крупные клубни.

Рисунок показывает, что потребление фосфора картофелем из почвы начинается в период прорастания, причем усвоение фосфора происходит более интенсивно на горном выщелоченном черноземе, чем в горно-луговой черноземовидной почве.

Следует отметить, что по всем фазам развития картофеля на обоих типах почв фосфор содержится в листьях растения, меньше других основных питательных элементов, однако играет в формировании урожая важную роль. При этом фосфор весьма энергично потребляется молодыми листьями картофеля.

Максимум потребления фосфора растением картофеля наступает значительно раньше, чем максимум потребляемого количества азота и калия.

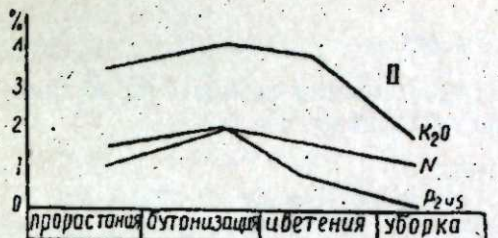
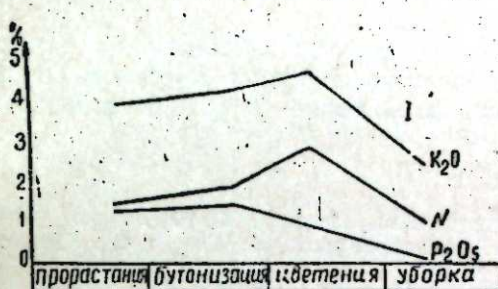
Калию придаёт существенная роль, как отмечает А. В. Петербургский [1], картофель является типичным „калийным“ растением, потребляющим очень много калия.

Потребление калия картофелем на изучаемых почвах по всем фазам развития значительно превышает, потребляемое количество азота и фосфора.

Причем, 23—25% от общей суммы калия, потребляемые картофелем, усваиваются в начале вегетации, а от 32 до 37% в фазе бутонизации.

Следует отметить, что содержание калия в растениях картофеля превышает суммарное содержание других основных питательных элементов на весь период вегетации.

На основании изложенного, можно сделать следующее заключение:



Потребление азота, фосфора и калия картофелем по фазам развития.

I—горный чернозем; II—горно-луговая черноземовидная почва.

1. Наиболее высокие требования картофель к азоту на горном выщелоченном черноземе предъявляет в период массового цветения, тогда как в горно-луговой черноземовидной почве в фазе бутонизации.

2. Максимальное потребление фосфора растением картофеля в изучаемых почвах падает на фазу бутонизации.

3. Наиболее интенсивное питание картофеля калием на горном выщелоченном черноземе следует считать во время массового цветения, а в горно-луговой черноземовидной почве — в фазе бутонизации.

ЛИТЕРАТУРА

1. Петербургский А. В. Питание и жизнь растений. М., 1956.
2. Тимирязев К. А. Земледелие и физиология растений. Соч., т. III, Сельхозгиз, 1937.

Институт почвоведения и агрохимии

Поступило 16. XII 1964

Ч. Рэсулов

Картоф. биткисинин инкишиф фазасындан асылы олараг гида маддэлэринэ тэлэби

ХУЛАСЭ

Биткинина ярлаг васитэсилэ торпагдан гида маддэлэринэ олан тэлэби Дағыстай МССР-ийн дағтэйн зонасынын дағлыг јујулмуш гараторпаглары вэ дағлыг зонанын дағ-чэмэн гаратэхэр торпагларында апарылмыш тэчрубэдэ өјренилмишиди.

Тэдгигат нэтичэснидэ мүэгжэн олуумушдур ки, картоф биткисинин азота вэ калиума олан эн чох тэлэби дағлыг јујулмуш гараторпагларында күтлэви чичэклэнэ фазасында, дағлыг чэмэн гаратэхэр торпагларда исэ гөнчэлэнэ фазасында олмушдур.

Биткинина фосфора олан максимум тэлэби нээр ики торпаг типинде гөнчэлэнэ фазасына душмушдур.

ФИЗИОЛОГИЯ

А. И. КАРАЕВ и Э. М. ХАНУКАЕВ

ВЛИЯНИЕ НЕКОТОРЫХ ПРЕПАРАТОВ ПОРТУЛАКА ОГОРОДНОГО (*PORTULACA OLERACEA L.*) НА ТОЛЕРАНТНОСТЬ ОРГАНИЗМА К УГЛЕВОДАМ

В последние годы мы совместно с сотрудниками кафедры технологии лекарственных форм и галеновых препаратов Азгосмединститута изучили влияние некоторых препаратов растительного, минерального и нефтяного происхождения на толерантность организма к углеводам. В этих исследованиях среди растительных объектов был и портулак огородный (*Portulaca oleracea L.*). Было изучено действие 10%-ного водного настоя высущенных трав портулака огородного на ассимиляцию глюкозы у кроликов. Установлено, что портулак огородный повышает толерантность организма к углеводам [1].

В поисках препаратов более эффективного сахаропонижающего действия и существенно повышающих толерантность организма к углеводам, мы в настоящей работе изучили влияние различных препаратов свежих трав портулака огородного, произрастающего в Азербайджане. Примененный нами препарат портулака огородного изготовлен кафедрой технологии лекарственных форм и галеновых препаратов (зав.—проф. Р. К. Алиев) Азгосмединститута из свежих трав, собранных на ашхеронских огородах.

Опыты наши проводились на 10 кроликах (весом 2—2,5 кг), у которых после адаптации к лабораторным условиям и условиям эксперимента в течение нескольких дней определялась гликемическая кривая на сахарную нагрузку. В этих целях в утренние часы, натощак, после определения исходного уровня сахара в крови, взятой из краевой вены уха, подопытным животным вводился 30%-ный раствор глюкозы из расчета 3 г сухого вещества на 1 кг живого веса животных. Затем, в течение 3 ч через каждые 30 мин брались пробы крови для определения в них содержания сахара. Полученные данные приведены в таблице. Из этих данных выводились проценты и составлялись кривые сахарной нагрузки.

Исходные кривые сахарной нагрузки без портулака представлены на рисунке сплошной линией. Затем спустя несколько дней, этим же животным в том же порядке давалась сахарная нагрузка в стабилизированном соке свежих трав портулака огородного. Полученные данные в мг % приведены в таблице. Из этих данных составлены (в %) кривые сахарной нагрузки, изображенные на рисунке пунктиром.

Колебания содержания сахара в крови у кроликов при сахарной нагрузке
без портулака и с портулаком

№ кро- лика	Сахарная нагрузка	Количество сахара в крови, мг						
		до сахарной нагрузки,	после сахарной нагрузки, через (мин)					
			30	60	90	120	150	180
2	Без портулака	119	245	209	186	156	145	131
	С портулаком	110	195	170	148	132	111	99
3	Без портулака	110	230	204	164	145	134	127
	С портулаком	113	188	161	132	125	110	97
4	Без портулака	99	211	197	168	148	132	120
	С портулаком	104	181	100	132	118	106	88
5	Без портулака	115	238	211	175	146	134	125
	С портулаком	111	191	171	152	129	108	95
6	Без портулака	115	228	190	172	141	129	113
	С портулаком	108	188	161	141	125	104	92
7	Без портулака	120	248	218	188	162	142	132
	С портулаком	118	198	164	150	130	102	86
8	Без портулака	114	238	216	188	164	146	124
	С портулаком	115	186	160	130	112	102	92
9	Без портулака	135	262	227	202	190	178	164
	С портулаком	138	212	188	160	142	112	98
10	Без портулака	130	258	238	212	194	172	160
	С портулаком	142	208	184	160	142	120	96
11	Без портулака	162	288	262	238	208	194	182
	С портулаком	156	242	226	204	184	162	123
Контрольные опыты								
12	Без спирта	115	243	211	188	163	145	129
	Со спиртом	113	228	199	179	157	136	124
13	Без спирта	136	264	232	209	193	176	152
	Со спиртом	132	245	184	197	182	166	143

Приведенный материал показывает, что портулак огородный заметно изменяет усвоение глюкозы организмом нормальных кроликов. Это видно прежде всего из тех изменений, которые происходят под влиянием вытяжки свежих трав портулака в типологических и структурных особенностях гликемических кривых подопытных животных. Анализируя каждую кривую сахарной нагрузки без портулака и с портулаком легко установить, что эти изменения в равной мере относятся как к симпатико-адреналовой, так и к вагонисулярной фазе их. Не изменяется только время наступления максимального увеличения содержания сахара в крови. Иными словами, пики гликемических кривых во всех без исключения случаях совпадают во времени и обнаруживаются, как правило, при первом же определении, т. е. через 30 мин после перорального введения глюкозы. Понятно, что это определенным образом связано и с методикой наших исследований. При других более частых анализах возможно мы могли бы найти

определенное расхождение и здесь. Совпадение пиков сахарных кривых свидетельствует еще о том, что всасывание введенной сахарной нагрузки во всех случаях идет с одинаковой скоростью.

Водный настой свежих трав портулака огородного в основном вызывает следующие изменения в структурных и типологических особенностях кривых сахарных нагрузок у клинически здоровых кроликов. При сахарной нагрузке, изготовленной в водном настофе свежих трав портулака огородного, гликемическая кривая заметно низкая.

На 30-й мин после введения раствора глюкозы максимальное увеличение содержания сахара в крови без портулака составляет 200—210% от исходного, примерно в два раза больше нормы. В то время как с портулаком оно едва доходит до 170%, а иногда колеблется в пределах 145—150%. Это показывает, что при наличии портулака в нагрузке организм легко и быстро усваивает углеводы, очевидно мобилизуя все возможности, направленные к интенсификации гликогеногенеза. Здесь нет основания говорить о вмешательстве явления всасывания препарата из желудочно-кишечного тракта, так как максимальное увеличение содержания сахара в крови, как было отмечено выше, во всех без исключения случаях, совпадает во времени. В симпатикоадреналовой фазе сахарных кривых, кроме этого, ничего не удается отметить.

Особенно заметно изменяется вагонисулярная фаза. При нагрузке без портулака у наших животных к третьему часу содержание сахара в крови всегда остается на 10% выше исходного уровня, за исключением кролика № 7. При нагрузке с портулаком исходный уровень

сахара в крови наступает к 150 мин, т. е. на 30 мин раньше и, продолжая дальше падать, к 3 часу дает довольно выраженную гипогликемию. На основании этого мы с определенной достоверностью можем предположить, что в этих условиях увеличивается инсулинообразовательная функция поджелудочной железы. Кроме прочих причин, здесь, возможно, имеет место стимуляция лангергансовых островков химическим составом портулака. Установленное нами ранее [2] адреналиноподобное действие портулака, очевидно, активизирует панкреатическую железу, усиливая выработку инсулина. В двух опытах (№№ 12 и 13) мы ставили контроль со спиртом, так как сок из свежих трав портулака стабилизировался 70° спиртом 10:100. Соответствующее количество спирта было добавлено к сахарной нагрузке у кроликов № 12 и 13. Наличие спирта дало незначительное улучшение освоения глюкозы.

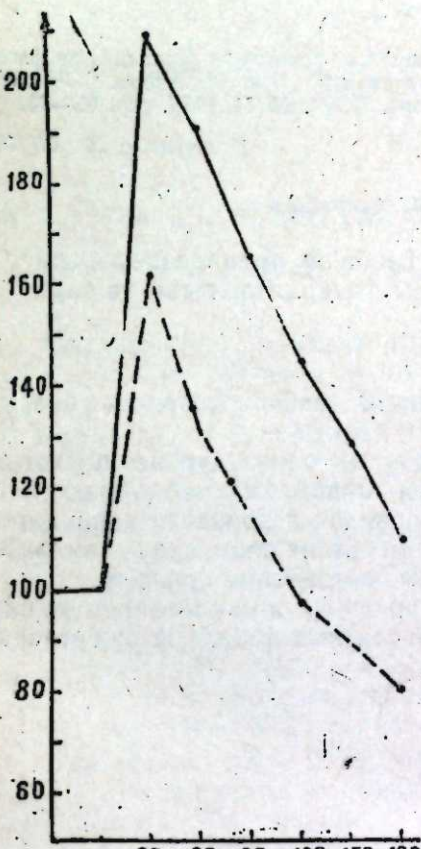


Рис.

Выводы

1. Водный настой свежих трав портулака огородного, произрастающего в Азербайджане, повышает толерантность организма к углеводам.
2. Под влиянием водного настоя свежих трав портулака огородного, произрастающего в Азербайджане, усиливается инсулинообразование и улучшается гликогеногенез.

ЛИТЕРАТУРА

1. Карапов А. И. и др. Влияние препаратов некоторых растений из флоры Азербайджана на толерантность организма к углеводам. Изв. АН Азерб. ССР*, № 9, 1955.
2. Карапов А. И. и др. Изв. АН Азерб. ССР*, № 11, 1955, стр. 65—73.

Сектор физиологии

А. И. Гараев, Е. М. Ханукаев

Пэрпәтөүүнүн (*Portulaca oleracea L.*) бә'зи препаратларынын организмин сулукарбонларга гарышы толерантлығына тә'сири

ХҮЛСЭ

Тәчрүбәләр чәкиси 2—2,5 кг олан 10 довшан үзәриндә апарылышыдыр.

Апарылан тәдгигатлар нәтичесиндә айдын олмушдур ки, пэрпәтөүү нормал довшан организмин шәкәри мәнимсәмә габилиїттиниң вә хүсусен вагоинулар фазасының нәзәрә чарлачаг дәрәчәдә дәјишидир.

1. Азәрбајчанда јетишән пэрпәтөүү биткисинин сулу дәмләмәсі организмин сулукарбонларга гарышы толерантлығыны артырыр.

2. Јетишмиш пэрпәтөүү биткисинин сулу дәмләмәсінин тә'сири нәтичесиндә гликокенокија вә инсилин јарания фазалары сүр'этләнир.

Поступило 20. XII 1965.

АЗӘРБАЙЧАН ССР ЕЛМЛӘР АКАДЕМИЯСЫНЫН МӘРҮЗӘЛӘРИ

ДОКЛАДЫ АКАДЕМИИ НАУК АЗЕРБАЙДЖАНСКОЙ ССР

ТОМ XXII

№ 2

1966

ФИЛОСОФИЯ

А. К. РЗАЕВ

М. КАЗЕМ-БЕК И АМЕРИКАНСКОЕ ФИЛОСОФСКОЕ ОБЩЕСТВО

(Представлено академиком АН Азербайджанской ССР А. С. Сұмбат-Заде)

Как известно, выдающийся азербайджанский ученый, один из основоположников русского востоковедения Мирза Казем-Бек был членом многих русских и иностранных научных учреждений и обществ. В частности, он был избран действительным членом Британского Королевского Азиатского общества в Лондоне (1829), членом-корреспондентом Российской Академии наук (1835), членом Копенгагенского Королевского общества северных антиквариев (1843), действительным членом Казанского общества любителей отечественной словесности (1847), членом-корреспондентом С. Петербургского археологического-нуумизматического общества (1848), почетным членом Казанского Университета (1849), действительным членом Российского географического общества (1850); ординарным членом Азиатского общества в Париже (1850), членом-корреспондентом Азиатского общества ориенталистов в Бостоне (1851) и др.

Как теперь стало известно, М. Казем-Бек был избран также членом Американского философского общества. Данное общество было организовано выдающимся американским ученым Бенджамином Франклином. Это первое ученое общество Америки долгое время рассматривалось как Американская Академия наук.

Начиная с 1773 г. по настоящее время членами указанного общества были избраны 35 русских и советских ученых. Среди избранных имена С. Н. Никитина — русского геолога и палеонтолога (1886), Ф. Н. Чернышева — крупного русского геолога и палеонтолога, академика (1897), А. П. Карпинского — крупнейшего ученого, выдающегося представителя русской географической школы, первого избранного Президента Российской Академии наук (1897). В. В. Марковникова — выдающегося русского химика, ученика А. М. Бутлерова (1901), Д. Менделеева — выдающегося химика (1906), И. Павлова — великого физиолога (1932) и др.

Впервые общество, изменив своим традициям, 17 января 1862 г. избрало своим членом представителей гуманитарных наук в лице М. Казем-Бека и ординарного академика Петербургской Академии наук в области санскритского языка Отто Бетлинга. Об этом нам стало известно из статьи Е. Двойченко-Марковой под заглавием „Американ-

ское философское общество и ранние русско-американские отношения", опубликованной в "Ученых записках Американского философского общества" (декабрь, 1950 г., т. 94, № 6). Эти материалы любезно нам представлены правнуком Мирзы Казем-Бека — А. Л. Казем-Беком, за что мы ему сердечно благодарны.

Как указывает Е. Двойченко-Маркова, ее исследование основано на изучении неопубликованных материалов, содержащихся в архивах Американского философского общества. Документы эти относятся к переписке Общества с Россией и в большей своей части состоят из писем, полученных Обществом от Российской Академии наук и других русских ученых обществ, а также от отдельных видных русских ученых и научных деятелей.

М. Казем-Бек с благодарностью принял весть о своем избрании. Ответное письмо М. Казем-Бек направил 3/15 марта 1862 г. на имя секретаря Американского философского общества Дж. П. Лесли Эскуайера. Ниже, мы приводим полный текст письма М. Казем-Бека в Американское философское общество.

"Я имел честь получить Ваше любезное письмо, датированное 17 января, в котором Вы уведомляете меня, что Американское философское общество соблаговолило оказать мне честь избранием меня в тот же день членом своей высокой корпорации. Прославленное имя этого первоначального Американского учреждения вынуждает меня трепетать, что я никогда не буду в состоянии оправдать доверие, оказанное мне этим признанием; но, я приложу все свои силы, чтобы быть достойным в меру возможности звания, которым я имею честь быть облеченым.

Прошу Вас принять мою самую сердечную благодарность за Ваше любезное письмо и засвидетельствовать мою глубокую признательность перед достопочтенным Советом Общества за оказанное мне внимание".¹

Поступило 30. X 1965

А. Г. Раев

М. Казембәј вә Америка фәлсәфә өмүмійети

ХУЛАСӘ

Мәшһүр Азәрбајчан алими, рус шәргшүнаслығының баниләриндән бири Мирзә Казембәј бир соң рус вә харичи елми идарә вә өмүмійетләри үзүү олмушдур. Бу өмүмійетләрин ичәрисинде Русијадан башга Инкүлтәрә, Франса, Алмания, Данимарка вә Америка (Бостон) шәргшүнаслыг өмүмійетләрини көстәрмәк олар. "Америка фәлсәфә өмүмійетинин елми хәбәрләри"ндән мә'лум олур ки, М. Казембәј 1862-чи ил җанварын 17-дә, јухарыда адлары чәкилән өмүмійетләрлә јанаши, ejni заманда Америка фәлсәфә өмүмійетинин дә үзүү сечилмишdir. М. Казембәј нуманитар елмләрин бу өмүмійетә үзүү сечилмиш илк нұмајәндәсидir. Көркәмли рус алимләри С. Н. Никитин, Ф. Н. Чернышев, А. П. Карпински, В. В. Марковников, А. М. Бутлеров, Д. Менделеев, И. Павлов вә башгәлары да мұхтәлиф вахтларда һәмин өмүмійетин үзүү сечилмишләр.

Мәгәләниң сонунда М. Казембәјин Америка фәлсәфә өмүмійетине көндәрди мәктубун мәтни верилмишdir.

¹ Eufrosiya Dvoichenko—Markov. The American philosophical Society and earlyrusso-American relations, proceedings of the american philosophical Society, contents of Volume 94. Number 6. P. 609.

Т. Т. ВӘЛИЈЕВ

XX ӘСРИН ӘВВӘЛЛӘРИНДӘ НАХЧЫВАН ГӘЗАСЫ ИПӘК СӘНАЈЕСИНИН ВӘЗИЈЛӘТИ ВӘ ИСТЕҢСАЛЫН ХАРАКТЕРИНӘ ДАИР

(Азәрбајчан ССР ЕА академики Ә. С. Сүмбатзадә тәғдим етмишdir)

XX әсрин әввәлләриндә Нахчыван гәзасы ипәк сәнајесинин тарихи индијә гәдәр тарихчи вә иғтисадчыларымыз тәрәфиндән һәлә дә өјрәнилмәмишdir. Азәрбајчан тарихинин бу дөврүнә аид олан ајры-ајры әсәрләрдә бу барәдә յалныз соң сәтни мә'лumat верилир. Бу нәгтеји-нәзәрдән көстәрилән сәнаје саһәсинин өјрәнилмәси вә еләчә дә истеңсалын харacterинин мүәјјән едилмәси бөյүк елми әһәмијәтә маликдир.

* * *

XIX әсрин 90-чы илләриндән башлајараг ипәкчилијин кениш յајылдығы Нахчыван гәзасында ипәксарыма вә ипәкбурма сәнајесинде чанланма мүшаһидә едилirdи. Бу дөврдә мүәссисәләrin дә сајы хејли артмышы. 1900-чү илдә Ордубадда 11 вә гәзанын кәндләриндә 10 ипәк е'мал едән мүәссисә вар иди.¹ 1901-чи илдә исә, 1900—1903-чү илләрин иғтисади бөһранынын тә'сирі нәтижәсindә, бир соң хырда мүәссисәнин бағланмасы илә әлагәдар олараг ипәк истеңсал едән мүәссисәләrin сајы азалмышды. Ипәк истеңсалыны фабрик типли вә нисбәтән ири мүәссисәләр давам етдириди. Һәмин илдә гәза үзрә 11 мүәссисә ишләјири.² Онлардан 7-си артыг фабрик типинде иди³. Галан 4-ү исә хырда әмтәе истеңсалы вә мануфактура категоријасына уйғун кәлириди. Бараманы е'мал етмәк үчүн фабрикләрдә 154, хырда мүәссисәләрдә исә 36 барамаачылан тијандан истифадә едилirdi. Ипәкбурма шө'бәси олан 3 фабрикдә 568 бурма иji варды.⁴

1901-чи илдә нағында бәhc едилән мүәссисәләрдә ишләјен 284 нәфәр фәhlәдән 243 нәфәри 7 фабрикдә вә 41 нәфәри исә хырда мүәссисәләрдә чәмләшмишdi.⁵ Фәhlәләрин 1/3 ниссәсindән чохуну гадын вә гызлар тәшкىл едирди.

¹ Бах: А. С. Сүмбатзаде. Промышленность Азербайджана в XIX в., Бакы, 1964, сәh. 437.

² ССРИ МДТА, фонд 22, сијаһы 2, иш 2928, вәр. 21—64.

³ Јенә орада.

⁴ ССРИ МДТА, фонд 22, сијаһы 2, иш 2928, вәр. 21—64.

⁵ Јенә орада.

Мәңсүл истеңсалы бөһранла әлагәдар хејли азалмышды. Бүтүн мүәсисәләр 109 мин манатлыг 461 пуд биринчи нөв вә 562 пуд иккичи нөв ипәк истеңсал етмишди.⁶ Элдә едилән ипәк мә'мұлатынын 81,3 фаязи бу харла ишләјен мүәссисәләрин пајына дүшүрдү. Демәли, фабрикләр мәңсүлүн $\frac{4}{5}$ -дән чохуну верирди.

1904-чү илдән башлајараг ипәк сәнајесинде аз да олса чанланма көзә чарпышты. Гәзгадакы 16 мүәссисәдән 8-и Ордубадда, 8-и исә гәзаның кәндләриндә јерләшириди.⁷ Бунлардан башга, техники тәмәли эл әмәјинә әсасланан 3 кустар мүәссисә вар иди.⁸ Ордубад ипәк истеңсалы мүәссисәләриндән жалныз 5-ндә бухар мүһәррикләри тәтбиг олунурду. 1904-чү илдә фәһләләрин сајы әvvәлки илләрдәкендән чүз'и олунурду. Көстәрилән мүәссисәләрдән 386 һәфәр фәһләсүрәтдә фәргләнириди. Көстәрилән мүәссисәләрдән 278 һәфәр, я'ни $\frac{2}{3}$ -дән чоху жалныз Ордубад ипәк истеңсалы дән⁹ 278 һәфәри, я'ни $\frac{2}{3}$ -дән чоху жалныз Ордубад ипәк истеңсалы

мүәссисәләриндә ишләјириди. Лакин мәңсүл истеңсалы хејли артмышты. Бүтүн мүәссисәләрдә 279 940 манатлыг ипәк мә'мұлаты әлдә едилмишди.¹⁰ Һәр бир мүәссисәнин орта иллик истеңсал мәбләги 17,5 мин маната бәрабәр иди.

1905-чи илдә дајанмыш бир сыра мүәссисә ишә салыныш вә јениләри тикилмишди. Гәза үзрә олан 23 мүәссисәдән 13-ү Ордубадда вә 10-у газаның башга јерләриндә иди.¹¹ Ордубадда 6 мүәссисәдә, Жухары Эјлис, Чанааб кәндләриндә вә Нахчыван шәһәриндәки фабрикләрдә дәзекаллар бухар гүввәси илә һәрәкәтә кәтирилириди.¹² Демәли, фабрикләриң сајы артарараг 9-а чатмышты. Онлар бүтүн мүәссисәләрин 39 фаязини тәшкүл етсөләр дә, истеңсалда һәлледичи рол ојнајырдылар. Мүәссисәләрдән 4-ү исә нисбәтән хырда олуб техники чәһәтдән фабрик тәләбләринә уйғын кәлмириди. Бу фабрикләрдә фәһләләрин сајы артыб 610 һәфәрә чатмышты¹³ ки, бу да 1904-чү илдәкендән 224 һәфәр чох иди. Тәкчә ону көстәрмәк кифајәтдир ки, 1905-чи илдә Нахчыванда 100-дән артыг фәһләсі олан бир фабрик ишә салынышды. Ипәк сәнајеси фәһләләринин 78 фаязи жалныз фабрикләрдә бирләшишмишди. Орта һесабла һәр фабрикә 53 һәфәр фәһлә дүшүрдү. Башга сезлә десәк, бүтүн фабрикләр, орта рәгемләре көрә, орта фабрик категоријасына аид едилә биләр. Фәһләләрин сајына көрә исә фабрикләрдән 1-и ири, 5-и орта вә 3-ү хырда иди. Тәкчә Нахчывандакы бир ири фабрикдә фабрик фәһләләринин 22,7 фаязи чәмләништи.

Нахчыван ипәк истеңсалында сонракы илләрдә дә ирәлиләјиш иәзәрә чарпышты. Мүәссисәләрин үмүмі сајының азалмасына бахмајараг, фабрикләр јухарыда гејд едиләндән артыг иди. Мәсәлән, 1908-чи илдә гәза үзрә олан 15 мүәссисәдән¹⁴ бухар тәтбиг едән 10 фабрикдә 290 ипәксарыма дәзканы варды.¹⁵ Ипәкбурма шө'бәси олан 4 фабрикдә 600 бурма иji варды.¹⁶ Фәһләләрин сајы һаггында там мә'лumat олмадығындан жалныз ону демәк олар ки, 7 фабрикдә 250 һәфәр фәһлә

⁶ ССРИ МДТА, фонд 22, сијаһы 2, иш 2928, вәр. 21—64.

⁷ Памятная книжка Эриванской губернии на 1906 г. Ереван, 1906, әлавә № 4.

⁸ "КСХ", Тифлис, 1904, № 259, сәh. 266.

⁹ Памятная книжка Эриванской губернии на 1906 г. Ереван, 1906, әлавә № 4.

¹⁰ "КСХ", Тифлис, 1904, № 259, сәh. 266; Памятная книжка Эриванской губернии на 1906 г. Ереван, 1906, әлавә № 4.

¹¹ Обзор Эриванской губернии за 1905 г. Ереван, 1906, әлавә № 4.

¹² Женә орада.

¹³ Адресная книга фабрично-заводской и ремесленной промышленности всей России, СПб, 1905, сәh. 65.

¹⁴ "Вестник финансов", СПб, 1908, № 4, сәh. 108.

¹⁵ Женә орада.

¹⁶ Женә орада.

ишләјириди.¹⁷ Оилардан 44,8 фаязи (104 һәфәр) азјашлы фәһләләрдән ибарәт иди. Сәркисов гардашларының фабрикнән ишләјен фәһләләрин сајы исә 100-дән жуҳары иди. Иллик истеңсал мәбләги һаггындақы мә'лumat даһа мараглыдыр. Мәсәлән, 1908-чи илдә 10 фабрикдә 800 пуд ә'ла нөвлү ипәк истеңсал олунмушду.¹⁸ Экәр дикәр мүәссисәләрдә элдә едилмиш биринчи нөв ипәжи вә бүтүн мүәссисәләрдә е'мал едилмиш башга нөв ипәк мә'мұлатыны да нәзәрә алсаг, шүбнәсиз ки, көстәрилән рәгәм даһа да артмыш олар.

Биринчи дүнија муһарибәси әрәфәсиндә (1912-чи илдә) мүәссисәләрин сајы 25-э чатырды.¹⁹ Бухарла ишләјен 11 фабрикдән 7-си Ордубадда, 1-и Нахчыванда, 1-и Чанаабда, 1-и Ашағы Эјлис вә 1-и исә Жуҳары Эјлис кәндләриндә јерләшириди. Онларын һамысы бухар газанлары вә мұхтәлиф системли бухар мүһәррикләри илә тәчhиз едилмишди. 14 мүәссисәдә истеңсал бүтүнлүкә вә ja да гисмән эл әмәјинә әсасланырыды вә онлар сәнаје капитализминин илк инкишаф пилләсингдә идиләр.

1912-чи илдә һәмин мүәссисәләрдәки фәһләләрин сајы хејли артмышты. 531 һәфәрдән²⁰ 350 һәфәрә гәдәри жалныз Ордубад ипәк истеңсалы мүәссисәләриндә чалышырыды. Көрүндүjү кими, фәһләләрин сајы әvvәлки илләрдән фәргләнириди.

1912-чи ил мәңсүл истеңсалы чәһәтдән дә башга илләрдән фәргләнириди. 11 фабрикдән 9-нда 366 700 манатлыг 1400 пуд ә'ла кејфијәтли ипәк истеңсал едилмишди.²¹ Һәр бир фабрикин иллик истеңсал мәбләги орта несабла 40 мин манатдан жуҳары иди.

Беләликлә, жуҳарыда кәтирилмиш статистик мә'лumatdan айдын олурки, 1901-чи илдән е'тибарән Нахчыван гәзасының ипәкбурма вә ипәксарыма сәнајесиндә фабрикләр тәдричән үстүнлүк тәшкүл етмәjә башлајыр вә тәдгиг олунан дөврүн әvvәlinә нисбәтән 2,5 дәфәjә гәдәр артыр. Ейни һалы фәһләләрин сајында вә мәңсүл истеңсалында да көрүүрүк. Лакин ону да гејд етмәк лазымдыр ки, капиталист мануфактурасы типли мүәссисәләр гәзаның далда-бучагда олан кәндләриндә һәләлик галырыды. Бу чүр мүәссисәләр ипәк сәнајесиндә чох чүз'и јер тутурду, башга сезлә десәк фәһләләрин вә мәңсүл истеңсалынын лап аз бир һиссәси онларын пајына дүшүрдү. Демәли, әнатә едилән гыса тарихи бир дөврдә Нахчыван гәзасының ипәк сәнајесиндә машын тәтбиги нәтичәсингдә кустар вә јарымкустар мүәссисәләр, ләнк олса да, кет-кедә сыйхыштырылыб арадан чыхырылырыды.

Мараглы чәһәт бурасыдыр ки, бухар вә башга системли мүһәррикләри олан мүәссисәләрдә бүтүн фәһләләрин $\frac{4}{5}$ һиссәсингдән чоху тәмәркүзләшишмишди. Бу категоријадан олан мүәссисәләр мәңсүл истеңсалында да башчыл рол ојнајырдылар. Тәсадүfi дејилләр ки, истеңсалда "машын тәтбигини ән биринчи нәтичәси ондан ибарәтдир ки, машын... мәңсүл күтләсими артырыр"²² (курсив бизимдир—Т. В.). Бүтүн бунлара әсасен демәк олар ки, XX әсрин әvvәлләrinde Нахчыван гәзасының ипәксарыма вә ипәкбурма сәнајесиндә машыныلى сәнаје (фабрик) пилләси артыг тәсбит едилмишди.

Алынмышдыр: 22 X 1964

Тарих институту

¹⁷ Статистические сведения по обрабатывающей промышленности Российской империи за 1908 г., СПб, 1912, сәh. 53.

¹⁸ "Вестник финансов", СПб, 1908, № 4, сәh. 108.

¹⁹ ССРИ МДТА, фонд 398, сијаһы 72, иш 28068, вәр. 30.

²⁰ Обзор Эриванской губернии за 1912 г., Ереван, 1913, сәh. 41—43; Памятная книжка Эриванской губернии на 1912 г., Ереван, 1912, әлавә № 4.

²¹ Б а х: "Фабрично-заводская промышленность Европейской России в 1910—1912 гг.", Пг., 1914, I-II чәдәвәлләр.

²² К. Маркс. Капитал, I чилд, Бакы, 1949, сәh. 372.

О положении шелковой промышленности и характере производства в Нахичеванском уезде в начале XX века

РЕЗЮМЕ.

В дореволюционном Азербайджане одним из районов распространения шелковой промышленности являлся Нахичеванский уезд, особенно город Ордубад. В начале XX в. в шелковой промышленности этого уезда наблюдался значительный прогресс. Постоянно увеличивалось число заведений фабричного типа. Эти фабрики занимали основное место в промышленном производстве. Так, например, если в 1900 г. в Нахичеванском уезде насчитывалось всего 4 заведения, применявших паровые двигатели, то в 1912 г. их число достигало уже 11, т. е. увеличилось в 2,5 раза.

На этих фабриках работала основная масса рабочих уезда. Преобладающая часть продукции, производимой шелковой промышленностью уезда, падала на долю фабрик. Интересно то, что заведения типа капиталистических мануфактур еще оставались в захолустных местах. Однако подобные заведения занимали в производстве совсем незначительное место, т. е. на их долю приходилось минимальное число рабочих и производимой продукции.

Таким образом, в начале XX в. шелкомотальная и шелокрутильная промышленность Нахичеванского уезда находилась на последней стадии развития промышленного капитализма, что подтверждается приводимыми в статье статистическими данными.

МУНДЭРИЧАТ**Нэээри физика**

J. M. Сеидов, M. B. Эмиров. Антиферромагнетләрий нэээрий-
жасын даир 3

Ријазијјат

C. J. Jagubov. Банах фәзасында гејри-сабит дәјишмә областына малик олак дәјишик оператордан асылы јүксәк тәртиб диференциал тәилекләр учун Коши мәсәләсинин һәлли 6

Физика

H. B. Abdullaev, J. N. Нәсиров, T. K. Османов. SnTe бир-ләшмәсийдә ғалязын Si, Ge-вә Pb илә эвэз едилемәсинин онун электрик вә истилек хассасләрина тә'сир 11

Техники физика

K. M. Чалдан. Дүзбучаглы ен кәсикли һагыйлә магнит саһә қаркили-
жинин вә чөрәjan сыхлығының несабланмасы 14

Истилеккечирмә

M. J. Бәширов. Бө'зи икигат вә үчгат маје гарышыларының истилекке-
чирмә эмсалының концентрасија вә температурдан асылы одраг тәдгиги 20

Кимја

H. X. Эфәнидјев, E. I. Шик. Радиум е'маллашма коллекторунун эм-
ләкәлмә механизминә даир 25

M. M. Һүсейнов, M. C. Саланов, T. G. Казымова. Сиклопента-
дисин сис-Д⁴ сиклоексан-1,2-дикарбон туршусунун аннидриди илә дисен кон-
денсләшмәсі 28

Термодинамика

A. B. Сатурјанс, M. Z. Рачински. Газ-конденсат җатагларының лај-
суларының ширинләшмәсинин сәбәбләри мәсәләсина даир 33

Кеолокија

M. M. Элијев, R. Э. Элијев, H. И. Филина. Бөјүк Гафазын чә-
нуб-шәрг һиссәсинин сеноман вә маастрихт спор тозчуглары вә палеонглим шә-
рапити 39

B. З. Симхаев. Шимали Дағыстаның ашағы тәбашир чөкүнтуләринин
исфлиијинин һидрокеология шәрапити 44

Ж. Н. Тер-Карапетјанс. Абшерон ярымадасының нејтрал гаты
наггыза 48

Стратиграфија

R. Э. Хәләфова. Дағыстаның Сенон чөкүнтуләриндән иносерамларын
бә'зи яни нөвләри 52

Торпагшұнаслығ

A. P. Кәрајзадә. Битки күтләсінин торпаг-иглим шәрәнтингән асылы
олараг артма асылылығына даир 57

Агрокимја

Ч. Рәсулов. Картоф биткисинин инкишаф фазасында асылы олараг ги-
да маддәләрина тәләби 62

Физиологија

A. И. Гарајев, E. M. Ханукајев. Пәрпәтөүүп (*Portulaca oleracea L.*) бә'зи препараттарының организмниң сулукарбонлара гарыш толерант-
лығының тә'сирі 65

Фәлсәфә

A. Г. Рзајев, M. Қазембәј вә Америка фәлсәфә өзөннөттө 69

Тарих

T. T. Вәлијев. XX әсрин әввәлләриндә Нахчыван гәзасы ипек сәнајеси-
ниң вәзијјәти вә истеңсалын характеристики даир 71

СОДЕРЖАНИЕ

Теоретическая физика	
Ю. М. Сейдов, М. Е. Эмиров. К теории антиферромагнетизма	3
Математика	
С. Я. Якубов. Разрешимость задачи Коши для дифференциальных уравнений высших порядков в банаховом пространстве с переменными операторами, имеющими непостоянную область определения	6
Физика	
Г. Б. Абдуллаев, Я. Н. Насиров, Т. Г. Османов. Влияние частичного замещения олова на Si, Ge и Pb на электрические и тепловые свойства SnTe.	11
Техническая физика	
К. М. Чальян. Расчет распределения напряженности магнитного поля и плотности тока в токопроводе прямоугольного сечения	14
Теплопроводность	
М. Я. Баширов. Экспериментальные исследования теплопроводности двойных и тройных жидких смесей в зависимости от концентрации и температуры	20
Химия	
Г. Х. Эфендиев, Э. И. Шик. О механизме образования радиево-эмалирующего коллектора.	25
М. М. Гусейнов, М. С. Салахов, Т. Г. Кязимова. Дисперсия конденсации гексахлорцикlopентадиена с ангидридом цис-Д ⁴ -циклогексен-1, 2-дикарбоновой кислоты	28
Термодинамика	
А. Б. Цатурянц, М. З. Рачинский. К вопросу о причинах опреснения пластовых вод газоконденсатных месторождений	33
Геология	
М. М. Алиев, Р. А. Алиев, Н. И. Филина. Спорово-пыльцевые комплексы и палеоклиматические условия сеномана и маастрихта юго-востока Большого Кавказа	39
В. З. Симхазев. Гидрологические условия нефтеносности нижнемеловых отложений Северного Дагестана	44
Ж. Н. Тер-Каррапетянц. О нейтральном или гелиотермическом слое Апшеронского полуострова.	48
Стратиграфия	
Р. А. Халафова. Новые виды иноцерамов из сенонских отложений. Дагестана	52
Почвоведение	
А. П. Герайзаде. О зависимости прироста растительной массы от почвенно-климатических условий	57
Агрономия	
Д. Расулов. Потребление питательных элементов картофелем по фазам развития	62
Физиология	
А. И. Карабея и Э. М. Ханукаев. Влияние некоторых препаратов портулака огородного (<i>Portulaca oleracea L.</i>) на толерантность организма к углеводам	65
Философия	
А. К. Раев. М. Казем-бек и американское философское общество.	69
История	
Т. Т. Велисед. О положении шелковой промышленности и характере производства в Нахичеванском уезде в начале XX века	71

Подписано к печати 19/V 1966 г. Формат бумаги 70×108^{1/16}. Бум. лист. 2,38.
Печ. лист. 6,51. Уч.-изд. лист. 6,0. ФГ 05113. Заказ 43. Тираж 820. Цена 40 коп.

Типография «Наука» Комитета по печати при Совете Министров
Азербайджанской ССР, Баку, Рабочий проспект, 96.